

**UNIVERSIDADE FEDERAL DA PARAÍBA  
CENTRO DE CIÊNCIAS E TECNOLOGIA  
CAMPUS II  
MESTRADO EM ENGENHARIA DE MINAS**

**IMPLEMENTAÇÃO ELASTOPLÁSTICA DO CRITÉRIO DE RUPTURA DE  
HOEK-BROWN PARA MACIÇO ROCHOSO**

**DISSERTAÇÃO SUBMETIDA À BANCA EXAMINADORA PARA OBTENÇÃO  
DO TÍTULO DE MESTRE EM ENGENHARIA DE MINAS**

**POR: MARCONI EDSON DE ALCÂNTARA  
ORIENTADO POR: PROF. AARÃO DE ANDRADE LIMA**

**CAMPINA GRANDE - 1997**

**Marconi Edson de Alcântara**

**Implementação elastoplástica do critério de ruptura de Hoek-Brown para maciço  
rochoso.**

Dissertação apresentada ao curso de Mestrado  
em Engenharia de Minas da Universidade  
Federal da Paraíba - UFPB, como requisito  
parcial à obtenção do título de Mestre em  
Engenharia de Minas.

Área de concentração: Lavra de Minas

Orientador: Prof. Dr. Aarão de Andrade Lima.

Campina Grande

1997



A347i Alcântara, Marconi Edson de.  
Implementação elastoplástica do critério de ruptura de Hoek-Brown para maciço rochoso / Marconi Edson de Alcântara. - Campina Grande, 1997.  
132 f.

Dissertação (Mestrado em Engenharia de Minas) - Universidade Federal da Paraíba, Centro de Ciências e Tecnologia, 1997.  
"Orientação : Prof. Dr. Aarão de Andrade Lima".  
Referências.

1. Minas e Recursos Minerais. 2. Mineralogia. 3. Dissertação - Engenharia de Minas. I. Lima, Aarão de Andrade. II. Universidade Federal da Paraíba - Campina Grande (PB). III. Título

CDU 622.01(043)



Universidade Federal da Paraíba  
Centro de Ciências e Tecnologia - Campus II  
Coordenação de Pós-Graduação em Engenharia de Minas

PARECER FINAL DO JULGAMENTO DA DISSERTAÇÃO DE MESTRADO DO  
ALUNO  
MARACONI EDSON DE ALCÂNTARA

TÍTULO: **"Implantação Elastoplástica do Critério de Ruptura de Hoek-Brown para  
Maciço Rochoso"**

COMISSÃO EXAMINADORA:

DR. AARÃO DE ANDRADE LIMA

DR. JOSÉ LINS ROLIM FILHO

DR. NATANAEL VICTOR DE OLIVEIRA

ASSINATURA:

*Jacenir de Andrade Lima*  
*J. L. R. P. J.*  
*Natanael Victor de Oliveira*

CAMPINA GRANDE, 26 DE SETEMBRO DE 1997

## **AGRADECIMENTOS**

Agradeço à CAPES (Coordenação de aperfeiçoamento de pessoal de nível superior), à Universidade Federal da Paraíba, aos organismos que, sabiamente, lutam pela manutenção e crescimento da educação, ciência e tecnologia, atributos capazes de resolver a esmagadora maioria dos nossos problemas, em especial ao Mestrado em Engenharia de Minas e seu corpo administrativo, por ter me proporcionado a oportunidade de experimentar meus instintos científicos.

Sinceros agradecimentos reservo aos distintos colegas de curso, pela convivência participativa e fraterna durante este trabalho.

Agradeço de forma especial ao meu orientador e amigo Dr. Aarão de Andrade Lima por sua sutileza, sagacidade e conhecimento sobre o assunto abordado, sem o qual seria impossível este trabalho.

Gostaria ainda de externar meus sinceros agradecimentos à banca examinadora pelas críticas e sugestões as quais muito contribuíram para enriquecimento deste trabalho.

Por fim, agradeço de forma carinhosamente especial a minha família.

## RESUMO

Esta pesquisa é desenvolvida no contexto da mecânica de rocha no que se refere ao dimensionamento e análise de estabilidade de escavações em rocha, através de métodos numéricos.

É implementado o critério de ruptura de Hoek-Brown em regime elastoplástico para análise da estabilidade de escavações em maciços rochosos, codificado através do método dos elementos finitos no programa de OWEN & HINTON, em linguagem FORTRAN.

É analisada a correlação entre os critérios de ruptura de Hoek-Brown e Mohr-Coulomb confirmando-se, através de exemplos, a implementação do critério de Hoek-Brown tangente realizada por Andrade Lima [3], na qual correlacionam-se os parâmetros de resistência  $c$ ,  $\phi$ ,  $\sigma_c$ , e  $\beta$  do critério de Mohr-Coulomb com os parâmetros  $s$ ,  $m$  e  $\sigma_c$  do critério de Hoek-Brown.

Utilizando-se sistemas de classificação de maciço rochoso ou curvas de efeito escala, analisa-se a possibilidade de se inferir as propriedades de resistência para maciços rochosos a partir das propriedades de amostras de laboratório (rocha intacta).

Para o critério de Hoek-Brown, determina-se a correlação entre os parâmetros  $m$  e  $s$  referentes ao plano ( $\sigma_1$ ,  $\sigma_3$ ) com os parâmetros  $A$  e  $B$  referentes ao plano ( $\tau$ ,  $\sigma$ ).

A implementação do critério de Hoek-Brown é validada através de exemplos, tendo-se obtido resultados coerentes com a implementação tangente.

É desenvolvida a codificação de um programa para desenhar as superfícies de escoamento dos critérios de ruptura de Mohr-Coulomb e Hoek-Brown em três dimensões, através do programa de computador Matlab.

## **ABSTRACT**

This research is developed in the context of rock mechanics regarding to design of excavations in rock by mean of numerical method.

Hoek-Brown failure criterion for analysis of stability in rock masses excavations is implemented in elastoplastic system by means of OWEN & HINTON finite elements program coded in FORTRAN language.

The correlation between Mohr-Coulomb and Hoek-Brown failure criteria are analyzed, confirming the Andrade Lima [3] implementation using tangents to Hoek-Brown envelopes, where the relationship between  $c$ ,  $\phi$ ,  $\sigma_c$ , and  $\beta$  resistance parameters of Mohr-Coulomb criterion with  $s$ ,  $m$ , and  $\sigma_c$  from Hoek-Brown criterion are established.

It has also been analyzed the possibility of estimating rock masses resistance properties from laboratory properties of intact rock, by means of rock masses classifications systems or scale effects curves.

The correlation between parameters  $m$  and  $s$  in  $(\sigma_1, \sigma_3)$  plane with  $A$  and  $B$  in  $(\tau, \sigma)$  plane from Hoek-Brown criterion is analyzed.

The implementation of Hoek-Brown criterion in elastoplastic system is validated by means of sample problems. The results have showed very close agreement with the tangent approach.

It is developed a code for plotting a three dimensions yielding surfaces of Mohr-Coulomb and Hoek-Brown by mean of Matlab software.

## SUMÁRIO

<b>AGRADECIMENTOS</b>	i
<b>RESUMO</b>	ii
<b>ABSTRACT</b>	iii
<b>SUMÁRIO</b>	iv
<b>LISTA DE SÍMBOLOS</b>	vii
<b>LISTA DE FIGURAS</b>	x
<b>LISTA DE TABELAS</b>	xii
<b>1. INTRODUÇÃO</b>	1
<b>1.1 Apresentação</b>	1
<b>1.2 Tema proposto</b>	1
<b>1.3 Motivação</b>	2
<b>1.4 Metodologia</b>	2
<b>2. CRITÉRIO DE RUPTURA DE HOEK-BROWN</b>	4
<b>2.1 Introdução</b>	4
<b>2.2 Conceito de Maciço Rochoso</b>	4
<b>2.2.1 Correlação Entre as Resistências da Rocha Intacta e do Maciço Rochoso</b>	5
<b>2.2.2 Características Mecânicas dos Maciços Rochosos</b>	7
<b>2.2.3 Resistência em Regime Triaxial de Tensões</b>	8
<b>2.2.4 Classificação de Maciço Rochoso</b>	9
<b>2.2.5 Classificação de Maciço Rochoso através do Sistema RMR</b>	12
<b>2.2.6 Classificação de Maciço Rochoso Através do Sistema Q</b>	14
<b>2.3 Correlação entre os sistemas RMR e Q</b>	18

<b>2.4 Critério de Mohr-Coulomb</b>	<b>19</b>
2.4.1 Envoltória do Critério de Mohr-Coulomb no plano ( $\tau$ , $\sigma$ )	19
2.4.2 Envoltória do Critério de Mohr-Coulomb no plano ( $\sigma_1$ , $\sigma_3$ )	20
<b>2.5 Critério de Hoek-Brown</b>	<b>22</b>
<b>2.6 Correlação Entre os Critérios de Mohr-Coulomb e Hoek-Brown</b>	<b>26</b>
<b>2.7 Fator de Segurança</b>	<b>30</b>
<b>3. PROBLEMAS ELASTOPLÁSTICO EM DUAS DIMENSÕES</b>	<b>31</b>
<b>3.1 Introdução</b>	<b>31</b>
<b>3.2 Teoria Matemática da Elastoplasticidade</b>	<b>31</b>
3.2.1 Relação entre Tensão e Deformação para Materiais sob Condições Elásticas	32
3.2.2 Critério de Escoamento	33
3.2.3 Regra de Fluxo (Princípio da Normalidade)	36
3.2.4 Relação Tensão-Deformação Total	37
<b>3.3 Critério de Escoamento Para Aplicações Numéricas</b>	<b>41</b>
3.3.1 Determinação do Vetor de Fluxo {a}	43
3.3.2 Critérios de Escoamento em Função dos Invariante de Tensão	45
<b>3.4 Implementação do Critério de Mohr-Coulomb em Computador</b>	<b>46</b>
<b>3.5 Implementação do Critério de Hoek-Brown em Computador</b>	<b>51</b>
<b>4. VALIDAÇÃO DA IMPLEMENTAÇÃO</b>	<b>55</b>
<b>4.1. Introdução</b>	<b>55</b>
<b>4.2 Problemas sobre Pilares Longos</b>	<b>56</b>
4.2.1 Pilar 1 Incremento de carga 1 (3,0 MPa)	59
4.2.2 Pilar 1 Incremento de carga 3 (5,0 MPa)	61
4.2.3 Pilar 2 Incremento de carga 1 (12,0 MPa)	63
4.2.4 Pilar 2 Incremento de carga 2 (15,0 MPa)	65
<b>4.3 Problema do Túnel em Rocha Elastoplástica</b>	<b>67</b>
4.3.1 Túnel 1 Carregamento 1	69
4.3.2 Túnel 1 Carregamento 2	71
4.3.3 Comparação entre Soluções Elásticas e Elastoplástica.	73
<b>4.4 Análise dos Resultados</b>	<b>76</b>
<b>5. CONCLUSÕES</b>	<b>77</b>

## **REFERÊNCIAS BIBLIOGRÁFICAS**

**78**

<b>ANEXO I</b> - plotagem das superfícies de escoamento dos critérios de ruptura de mohr-coulomb e hoek-brown, no espaço de tensões principais.	<b>83</b>
<b>ANEXO III</b> - instruções para preparação dos dados de entrada do programa de elementos finitos.	<b>93</b>
<b>ANEXO III</b> - codificação do programa de owen & hinton em linguagem fortran com as respectivas alterações referentes a implementação do critério de hoek-brown em regime elastoplástico.	<b>99</b>

## LISTA DE SÍMBOLOS

- {a} - Vetor fluxo na teoria da elastoplasticidade;
- c - Coesão de uma rocha;
- c' - Coesão aparente ou instantânea do critério de Hoek-Brown;
- $c_M$  - Coesão do maciço rochoso com confinamento zero, ou seja para  $\sigma_3 = 0$ ;
- $c_{ijkl}$  - Tensor de constantes elásticas em notação indicial;
- $f_s$  - Fator de segurança em um ponto baseado em análise de tensões;
- $\dot{k}$  - Parâmetro *work hardening*;
- m - Parâmetro de aumento de resistência com o confinamento no critério de Hoek-Brown;
- $m_i$  - Valor de m para rocha intacta, determinado em teste triaxial;
- s - Parâmetro relacionado à resistência do maciço rochoso no critério de Hoek-Brown;
- z - Profundidade de uma camada de rocha;
- A - Parâmetro de resistência no critério de Hoek-Brown no plano ( $\tau$ ,  $\sigma$ );
- $A_t$  - Área de influência de um pilar;
- $A_p$  - Área do pilar;
- B - Fator exponencial no critério de Hoek-Brown no plano ( $\tau$ ,  $\sigma$ );
- $C_i$ ,  $i = 1,2,3$  - Constantes escalares para implementação dos vários critérios de escoamento em computador;
- D - Tamanho da aresta de uma amostra de rocha em forma de cubo;
- $D_c$  - Tamanho da aresta de um espécime de rocha em forma de cubo ou diâmetro de uma amostra cilíndrica, em escala de laboratório;
- $D_M$  - Tamanho de uma amostra cuja resistência à compressão é igual à do maciço rochoso;
- [D] - Matriz simétrica de constantes elásticas;
- E - Módulo de elasticidade;
- $E_T$  - Inclinação da curva tensão-deformação para material com comportamento elastoplástico;
- ESR - Índice de suporte de escavação;
- $H_p$  - Altura de um pilar;
- $H'$  - Inclinação da contribuição de deformação *hardening* à curva tensão-deformação depois de eliminada a contribuição de deformação elástica;
- $J_1$  - Primeiro invariante de tensões;

- $J_2$  - Segundo invariante das tensões desviatórias;  
 $J_3$  - Terceiro invariante das tensões desviatórias;  
 $J_a$  - Número de descontinuidades com alteração relativo ao índice Q;  
 $J_n$  - Número de famílias de descontinuidades relativo ao índice Q;  
 $J_r$  - Número de descontinuidades sem alteração relativo ao índice Q;  
 $J_w$  - Fator de redução das descontinuidades hidratadas relativo ao índice Q;  
 $L_p$  - Comprimento de um pilar retangular em mina subterrânea;  
 $Q$  - Índice de determinação da qualidade de maciço rochoso, segundo Barton;  
RMR - Parâmetro de qualidade do maciço rochoso para o sistema de classificação de Bieniawski;  
RQD - Razão entre o total de partes intactas com 100 mm ou mais de comprimento de testemunho recuperado em relação ao comprimento total do furo para testemunho de 50 mm de diâmetro;  
 $S_p$  - Tensão média em um pilar baseada no método das áreas de influência;  
SRF - Fator de redução de tensão;  
 $W_o$  - Vão das galerias em lavra de depósitos tabulares;  
 $W_p$  - Largura do pilar, considerada como a sua menor dimensão em planta;  
 $\alpha$  - Fator exponencial para a relação tamanho versus resistência de uma amostra de rocha;  
 $\beta$  - Ângulo de inclinação da reta que representa o critério de Mohr-Coulomb no plano ( $\sigma_1, \sigma_3$ );  
 $\beta'$  - Ângulo de inclinação da reta tangente ao critério de Hoek-Brown no plano ( $\sigma_1, \sigma_3$ );  
 $\beta_M$  - Ângulo de inclinação da reta tangente ao critério de Hoek-Brown no plano ( $\sigma_1, \sigma_3$ ), para  $\sigma_3 = 0$ ;  
 $\delta_{ij}$  - Delta de Kronecker;  
 $\varepsilon_{ij}$  - Componentes de deformação em notação indicial;  
 $\varepsilon$  - Deformação longitudinal;  
 $\dot{\varepsilon}_p$  - Medida escalar da deformação plástica total ou efetiva;  
 $\{\varepsilon\}$  - Incremento de deformação;  
 $\dot{\{\varepsilon_e\}}$  - Incremento de deformação elástica;  
 $\dot{\{\varepsilon_p\}}$  - Incremento de deformação plástica;  
 $\phi$  - Ângulo de atrito interno de uma rocha;  
 $\phi'$  - Ângulo de atrito interno aparente ou instantâneo no critério de Hoek-Brown;  
 $\phi_M$  - Ângulo de atrito interno no critério de Hoek-Brown para  $\sigma_3 = 0$ ;

- $\gamma$  - Peso específico médio da rocha sobrejacente;
- $\lambda$  - Constante de proporcionalidade na teoria da elastoplasticidade;
- $\lambda$  e  $\mu$  - Constantes de Lamé;
- $\nu$  - Coeficiente de Poisson;
- $\sigma$  - Tensão normal no plano de quebra de uma partícula;
- $\sigma_1$  - Tensão principal máxima;
- $\sigma_2$  - Tensão principal intermediária;
- $\sigma_3$  - Tensão principal mínima;
- $\sigma_c$  - Resistência à compressão de um corpo de prova em escala de laboratório;
- $\sigma_{c'}$  - Resistência à compressão uniaxial aparente ou instantânea no critério de Hoek-Brown
- $\sigma_M$  - Resistência à compressão uniaxial do maciço rochoso, quando  $\sigma_3 = 0$ ;
- $\sigma_D$  - Resistência à compressão de uma amostra cúbica com aresta igual a D;
- $\sigma_h$  - Componente horizontal do campo de tensões virgens;
- $\sigma_t$  - Resistência à tração da rocha;
- $\sigma_v$  - Componente vertical do campo de tensões virgens;
- $\sigma_y$  - Tensão de escoamento;
- $\sigma_y^0$  - Resistência ao escoamento antes do início do fluxo plástico;
- $\sigma_{ij}$  - Componentes de tensão em notação indicial;
- $\sigma_i$  - Componentes desviatórios do tensor de tensões;
- $\{\sigma\}$  - Incremento de tensão;
- $\tau$  - Tensão de cisalhamento atuando no plano de quebra de uma partícula;

## LISTA DE FIGURAS

- Figura 2.1 Transição da rocha intacta ao maciço rochoso com o aumento do tamanho da amostra, efeito escala [6].
- Figura 2.2 Resistência à compressão uniaxial versus tamanho da amostra [3].
- Figura 2.3 Relação entre o valor RMR e o tempo de auto sustentação de uma escavação subterrânea sem suporte, segundo Bieniawski [15]
- Figura 2.4 Relação entre o índice Q e a razão do máximo vão livre para o índice de suporte de escavação ESR, segundo Barton [2].
- Figura 2.5 Critério de ruptura de Mohr-Coulomb no plano ( $\tau$  ,  $\sigma$ ) [3].
- Figura 2.6 Critério de ruptura de Mohr-Coulomb no plano ( $\sigma_1$  ,  $\sigma_3$ ) [3].
- Figura 2.7 Critério de ruptura de Hoek-Brown no plano ( $\sigma_1$  ,  $\sigma_3$ ) [3].
- Figura 2.8 Critério de ruptura de Hoek-Brown para taludes [3].
- Figura 2.9 Correlação entre os critérios de Mohr-Coulomb e Hoek-Brown no plano ( $\tau$  ,  $\sigma$ ) [3].
- Figura 2.10 Correlação entre os critérios de Mohr-Coulomb e Hoek-Brown no plano ( $\sigma_1$  ,  $\sigma_3$ ) [3].
- Figura 3.1 Comportamento uniaxial do material: (a) Modelo elástico e plástico não linear, (b) Plasticidade ideal, (c) Plasticidade *strain hardening* e (d) Plasticidade *strain softening*, modificado de [42].
- Figura 3.2 Modelo matemático representativo da superfície de escoamento para material com comportamento *strain hardening* [38].
- Figura 3.3 Superfície de escoamento e princípio da normalidade em espaço de tensão bidimensional [42].
- Figura 3.4 Definição do parâmetro *hardening*  $H'$  para curva tensão-deformação uniaxial [41].
- Figura 3.5 Superfície de escoamento do critério de Mohr-Coulomb no espaço de tensões principais.
- Figura 3.6 Envoltória do critério de Mohr-Coulomb no espaço das tensões principais.
- Figura 3.7 Superfície de escoamento do critério de Hoek-Brown no espaço de tensões principais.

**Figura 3.8** Envoltória do critério de Hoek-Brown no espaço das tensões principais.

**Figura 4.1** Corte, planta baixa e malha de elementos finitos dos pilares [51].

**Figura 4.2.** Distribuição das tensões máxima ( $\sigma_1$ ) e mínima ( $\sigma_3$ ) através do pilar 1.1.

**Figura 4.3.** Distribuição do fator de segurança através do pilar 1.1.

**Figura 4.4.** Distribuição das tensões máxima ( $\sigma_1$ ) e mínima ( $\sigma_3$ ) através do pilar 1.3.

**Figura 4.5.** Distribuição do fator de segurança através do pilar 1.3.

**Figura 4.6.** Distribuição das tensões máxima ( $\sigma_1$ ) e mínima ( $\sigma_3$ ) através do pilar 2.1.

**Figura 4.7.** Distribuição do fator de segurança através do pilar 2.1.

**Figura 4.8.** Distribuição das tensões máxima ( $\sigma_1$ ) e mínima ( $\sigma_3$ ) através do pilar 2.2.

**Figura 4.9.** Distribuição do fator de segurança através do pilar 2.2.

**Figura 4.10.** Geometria e malha de elementos finitos para o túnel [41].

**Figura 4.11.** Distribuição das tensões máxima ( $\sigma_1$ ) e mínima ( $\sigma_3$ ) ao redor do túnel 1.1.

**Figura 4.12.** Distribuição do fator de segurança ao redor do túnel 1.1.

**Figura 4.13.** Distribuição de tensões máxima ( $\sigma_1$ ) e mínima ( $\sigma_3$ ) ao redor do túnel 1.2.

**Figura 4.14.** Distribuição do fator de segurança ao redor do túnel 1.2.

**Figura 4.15.** Fator de segurança ao redor do túnel, obtido através do critério de ruptura de Hoek-Brown rigoroso em solução elástica.

**Figura 4.16** Fator de segurança ao redor do túnel, obtido através do critério em ruptura de Hoek-Brown rigoroso em solução elastoplástica.

**Figura A1.1.** Esquema genérico de uma seção transversal às superfícies de escoamento dos critérios de ruptura de Hoek-Brown e Mohr-Coulomb.

**Figura A1.2.** Representação geométrica do vértice da superfície de escoamento do critério de Mohr-Coulomb.

## **LISTA DE TABELAS**

**Tabela 2.1** Valor do RQD em função da qualidade da rocha [2].

**Tabela 2.2** Sistema RMR para classificação de maciço rochoso fraturado [1].

**Tabela 2.3** Índice de suporte de escavação ESR, segundo Barton [14].

**Tabela 2.4** Valores aproximados de  $m$  para diferentes tipos de rocha [33].

**Tabela 2.5** Valores de  $m$  e  $s$  para o critério de Hoek-Brown [10].

# 1. INTRODUÇÃO

## 1.1 Apresentação

A mecânica de rocha é atualmente uma poderosa ferramenta na resolução de problemas de engenharia envolvendo escavações subterrâneas e a céu aberto em formações rochosas.

A crescente complexidade dos projetos de mineração e o avanço a níveis cada vez mais profundos de exploração exigem técnicas cada vez mais precisas de dimensionamento. Neste aspecto, a mecânica de rocha tem experimentado um extraordinário desenvolvimento, apesar de ser um ramo relativamente novo da ciência aplicada, tendo se tornado uma disciplina da engenharia em meados da década de 1960.

As técnicas de computação numérica, entre as quais os métodos dos elementos finitos e dos elementos de fronteira, têm dado uma grande contribuição à solução de problemas de engenharia calcados na análise de tensões, substituindo completamente os modelos analíticos e físicos.

Além das técnicas numéricas, a classificação geomecânica dos maciços rochosos fornece os parâmetros necessários ao dimensionamento dos projetos de escavações em rocha.

Nesta pesquisa será dada uma contribuição nesta área de estudo, pela implementação em computador da análise de estabilidade de escavações usando o critério de ruptura de Hoek-Brown em regime elastoplástico, codificada através do método de elementos finitos.

## 1.2 Tema proposto

Esta pesquisa tem como objetivo a implementação em computador, no programa codificado através de elementos finitos pelos professores OWEN & HINTON, de um módulo para análise da estabilidade de escavações em rocha usando o critério de ruptura de Hoek-Brown em regime elastoplástico, de modo que esta análise seja executada de forma precisa.

Este estudo se faz necessário, tendo em vista que o critério de ruptura de Hoek-Brown é o mais usado atualmente em análise de estabilidade de escavações, porém tradicionalmente utilizado em regime elástico para cálculo de fator de segurança.

Como em escavações para extração de bens minerais é comum se encontrar o maciço rochoso em regime de pós-ruptura, é muito importante generalizar-mos o critério de Hoek-Brown para este regime. Além disso, este critério foi concebido através de base muito sólida, onde os autores usaram uma extensa base de dados experimentais sobre ruptura de rocha em estado triaxial de tensões, e detalhada análise estatística, o que o torna, atualmente, um critério utilizado mundialmente.

Além do programa citado usaremos um programa gerador de malhas que nos dará uma grande flexibilidade e segurança na geração dos elementos dos modelos, ou seja, os parâmetros referentes a geometria.

### **1.3 Motivação**

Ainda não atingimos um estágio de exploração plena dos métodos numéricos em projetos de explorações mineiras. A dificuldade consiste na interligação de parâmetros empíricos referentes à mecânica de rocha aos métodos de base teórica.

Como atualmente dispomos de recursos computacionais cada vez mais poderosos e técnicas de modelamento muito potentes a exemplo do método dos elementos finitos, se faz cada vez mais necessário esta junção, a fim de que resolva-se os complexos problemas relacionados à geomecânica no dimensionamento de escavações em maciços rochosos.

### **1.4 Metodologia**

Neste primeiro Capítulo discutimos, a princípio, de forma generalizada o presente trabalho de pesquisa, situando-o no contexto da área de estudo em que esta inserido, ou seja, o problema de dimensionamento de escavações em rocha no que se refere à estabilidade, utilizando o método dos elementos finitos.

No Capítulo 2 é abordado o tema maciço rochoso, desde sua definição até os sistemas de classificação, dando ênfase aos sistemas RMR de Bieniawski e ao Q de Barton. Também são abordados os critérios de ruptura de Mohr-Coulomb e Hoek-Brown, além da correlação entre ambos.

No Capítulo 3 é tratada a teoria matemática da elastoplasticidade e sua aplicação aos critérios de Mohr-Coulomb e Hoek-Brown, dando ênfase ao desenvolvimento matemático para implementação deste em computador, em regime elastoplástico através de codificação pelo método dos elementos finitos.

No Capítulo 4 é avaliada esta implementação comparando-a em seguida com a implementação do mesmo critério pelo método tangente, desenvolvido anteriormente por Andrade Lima no mesmo programa de Owen & Hinton, bem como comparando-o com o critério de Mohr-Coulomb em regime elastoplástico.

No Capítulo 5 apresentam-se as conclusões desta pesquisa.

## 2. CRITÉRIO DE RUPTURA DE HOEK-BROWN

### 2.1 *Introdução*

Os projetos de escavações para mineração em rocha são freqüentemente desenvolvidos levando-se em consideração o regime de pós ruptura do maciço rochoso, haja vista ser essa a condição de campo que possibilita a viabilidade econômica da mina. Sendo assim, desenvolveram-se os vários métodos de dimensionamento e análise empregados em mecânica de rochas.

De forma genérica podemos subdividi-los em [3]:

- métodos experimentais de laboratório;
- métodos experimentais aplicados *in situ*;
- métodos observacionais com instrumentação;
- métodos empíricos e
- métodos analíticos e numéricos.

Tendo em vista que o critério de ruptura de Hoek-Brown está compreendido no contexto de sistemas de classificações de maciço rochoso, será abordado a seguir o tópico sistemas de classificação de maciço rochoso, que está inserido entre os métodos empíricos, os quais unem experiência baseada em informações literárias com aproximações teóricas. Serão definidas também as propriedades mecânicas relevantes ao tema, terminologia e simbologia envolvidas nos problemas de engenharia relacionados às escavações para mineração.

### 2.2 *Conceito de Maciço Rochoso*

Do ponto de vista geológico um maciço rochoso é um sistema constituído de rocha, descontinuidades e água.

As rochas são divididas em três grandes grupos, a depender da sua formação, quais sejam: rochas sedimentares, metamórficas e ígneas. As rochas

sedimentares são constituídas da reunião de partículas detriticas e possivelmente cristais de outras rochas, em matriz de materiais como minerais argilosos, calcita, quartzo, etc. As metamórficas são resultantes da ação do calor, tensão ou fluidos quentes sobre outras rochas, sedimentares ou ígneas. E as rochas ígneas consistem da cristalização de minerais de origem magmática tais como: quartzo, piroxênios, ortoclásio, mica, etc.

Na natureza é muito raro encontrar-se massa de rocha com as propriedades mecânicas uniformes. Normalmente as condições dos maciços rochosos variam muito de local para local a ponto de haver variações significantes nas características do maciço em uma mesma obra. Portanto se faz necessário classificar-se os maciços rochosos em domínios, bem como partir-se do caso particular para o geral, ou seja, da rocha intacta (amostra de mão) ao maciço como um todo.

A estrutura mecânica da rocha apresenta várias aparências diferentes, dependendo da escala e detalhes em que é enfocada. As propriedades mecânicas da rocha dependem de todas as feições estruturais da mesma. Contudo aspectos individuais têm variados graus de importância em diferentes circunstâncias.

Muitas vezes é necessário atribuírem-se valores numéricos para as propriedades mecânicas da rocha, os quais são obtidos em testes de laboratório utilizando-se espécimes de rocha.

## 2.2.1 Correlação Entre as Resistências da Rocha Intacta e do Maciço Rochoso

A previsão da resistência do maciço rochoso a partir da resistência de amostras de laboratório (rocha intacta) constitui um dos tópicos de maior relevância na mecânica de rochas, sendo atualmente uma área intensamente pesquisada [4].

O fenômeno de diminuição da resistência da rocha com o aumento do volume da amostra, o chamado efeito escala [4], foi implicitamente considerado nas equações empíricas de dimensionamento de pilares de minas desenvolvidas

já a partir de 1939 [5]. A Figura 2.1 proporciona de forma simplificada uma visualização do efeito escala na resistência do maciço rochoso.

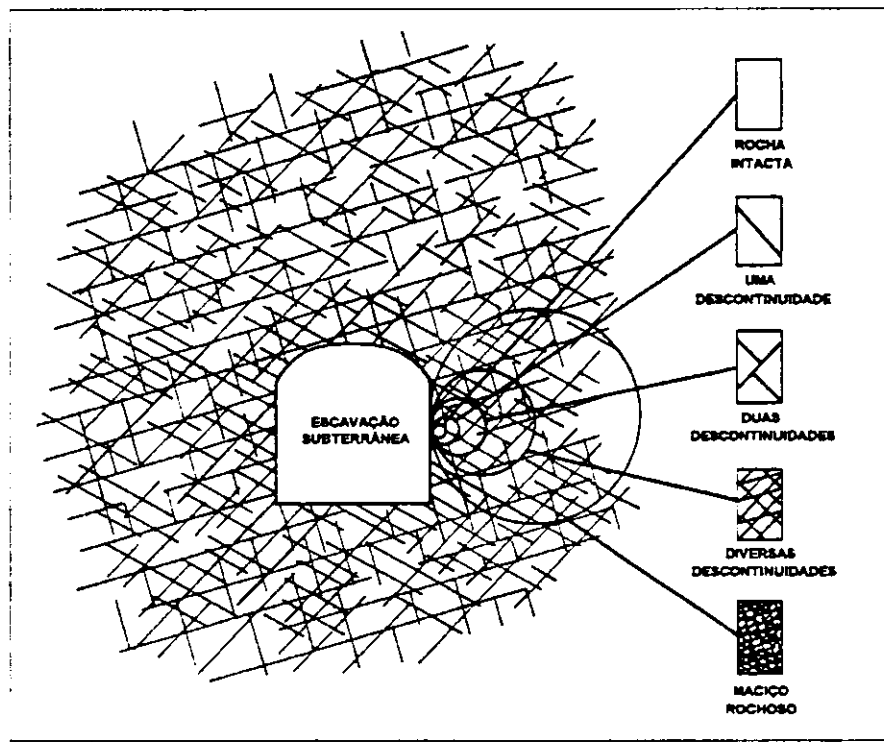


Figura 2.1 Transição da rocha intacta ao maciço rochoso com o aumento do tamanho da amostra, efeito escala [6].

Se considerarmos um espécimen em forma de um cubo cuja aresta tenha tamanho  $D$ , a resistência à compressão simples é dada pela seguinte equação [6]:

$$\sigma_D = \sigma_c \left( \frac{D_c}{D} \right)^\alpha, \quad D < D_M \quad (2.18)$$

ou

$$\sigma_D = \sigma_M, \quad D \geq D_M \quad (2.19)$$

onde  $\sigma_c$  é a resistência de uma amostra de laboratório (rocha intacta) em forma de cubo com a aresta medindo  $D_c$ ;  $D_M$  é o chamado tamanho crítico para um

maciço rochoso, além do qual a resistência à compressão de qualquer amostra é assumida constante com valor igual a  $\sigma_M$ , e  $\alpha$  é um parâmetro variável para diferentes tipos de rocha. Através da Figura 2.2 os conceitos destas variáveis podem ser melhor entendidos.

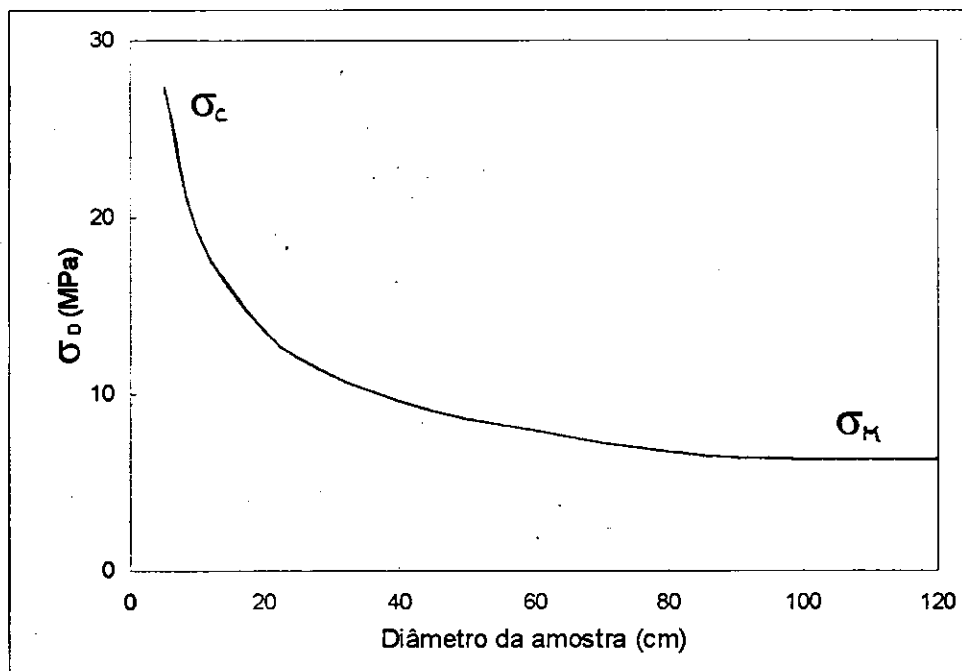


Figura 2.2 Resistência à compressão uniaxial versus tamanho da amostra [3].

Para rochas em geral, exceto carvão,  $D_c$  se refere ao diâmetro de corpos de provas cilíndricos medindo geralmente 5 cm. Para o carvão podem se considerar tipicamente  $\alpha = 0,5$  e  $D_M$  medindo entre 0,9 e 1,5 metros [7, 8], enquanto que para outras rochas  $\alpha$  tem valores menores que 0,5 [6, 4, 9].

### 2.2.2 Características Mecânicas dos Maciços Rochosos

Rochas metamórficas foliadas e rochas sedimentares laminadas, estratificadas ou acamadas têm propriedades físicas (mecânicas, hidráulicas e térmicas) que variam com a direção dessas feições, portanto são ditas anisotrópicas [11]. A anisotropia pode ser constituída de camadas ou acamamentos alternados de diferentes tipos de rocha podendo ser encontrada em formações vulcânicas; em formações sedimentares intactas laminadas,

estratificadas ou acamadas e em formações metamórficas foliada intacta. Pode ser encontrada em diferentes escalas, ou seja, desde amostra de mão até maciço rochoso. A anisotropia também está presente em rochas ígneas, ocorrendo por intermédio do mecanismo de formação das mesmas, ou seja, tanto do fluxo e diferenciação magmática, quanto proveniente de esforços tectônicos posteriores à formação das mesmas.

As rochas mencionadas acima foram classificadas por Barla [11, 12], como rochas anisotrópicas de classe B. Por outro lado, as rochas anisotrópicas de classe A são aquelas que exibem propriedades anisotrópicas, apesar de aparente isotropia. Alguns granitos intactos pertencem a este grupo.

### 2.2.3 Resistência em Regime Triaxial de Tensões

As partículas de rocha em torno de uma escavação, bem como em todo maciço rochoso, estão sujeitas a um estado de tensões triaxial. Portanto, é de grande interesse, em mecânica de rochas, a resistência em regime triaxial de tensões.

Na caracterização da resistência dos materiais submetidos a campos triaxiais de tensões, são utilizados os critérios de *ruptura* ou *escoamento* para materiais friáveis ou dúcteis, respectivamente.

Dispomos atualmente de programas para computador que elaboram todas as fases de análise da estabilidade de uma escavação. Para tanto os parâmetros geomecânicos são obtidos através de ensaios de laboratório e no campo, bem como da experiência dos profissionais envolvidos na resolução dos problemas, que fornecem os dados de coesão, ângulo de atrito interno, módulo de deformabilidade do maciço, etc.

Merecem destaque neste contexto, os trabalhos desenvolvidos por alguns autores na tentativa de caracterizar mecanicamente maciços rochosos a partir de ensaios em laboratório e experiências vividas no dia a dia, bem como através de dados experimentais sobre ruptura de rocha em estado triaxial de tensões, e em análises estatísticas de inúmeros dados disponíveis na literatura especializada. Entre eles citamos os critérios de Hoek-Brown e de Mohr-Coulomb.

## 2.2.4 Classificação de Maciço Rochoso

Na classificação geomecânica de um maciço rochoso pretende-se, a partir de determinados critérios, mapear o maciço rochoso em domínios distintos, cada qual com seu comportamento estrutural. Para caracterizar-se um maciço rochoso deve-se levar em conta os seguintes fatores: a rocha intacta, as juntas, as falhas, as diaclases, os contatos geológicos, a pressão d'água, as tensões pré-existentes no maciço, etc.

Baseado em vasta experiência adquirida através da construção de túneis rodoviários, Terzaghi produziu um trabalho pioneiro nesta área, descrevendo variados tipos de terreno e várias faixas de carregamento devido às rochas, em diferentes condições locais, tendo proposto em 1946 um sistema simples de classificação de rocha para uso na estimativa de cargas a serem suportadas por arcos metálicos em túneis. Para mais detalhes ver Referência 6 pp. 14-17.

Outro pioneiro nesta área foi Rabcewicz, tendo utilizado pela primeira vez em abertura de túnel a técnica por ele desenvolvida, NATM (Novo Método Austriaco de Abertura de Túneis), entre 1956 e 1958 na Venezuela. Os elementos básicos do método foram desenvolvidos baseados em estudos teóricos e sua experiência em abertura de túnel durante várias décadas, observando rotineiramente o comportamento das estruturas de suporte aplicadas às escavações e o maciço rochoso circunvizinho, para diferentes condições geológicas, durante e após as escavações [53].

Posteriormente, em 1963, Deere [13] propôs o índice de qualidade do maciço rochoso (RQD), baseado na recuperação de testemunhos de sondagem.

Estes conceitos têm sido gradativamente aprimorados até se atingir o estágio atual de classificação geomecânica de maciço rochoso [14, 15, 16, 17].

O RQD foi definido originalmente em função do diâmetro do testemunho de sondagem NX (2,125 pol), como sendo a razão entre o total de fragmentos intactos com 4 pol ( $\approx 100$  mm) ou mais de comprimento do testemunho recuperado (em outras palavras, despreza-se fragmentos de testemunho menores que duas vezes o seu diâmetro), em relação ao comprimento total do furo [54]. Portanto:

$$RQD(\%) = 100 \times \frac{\text{Comprimento em partes de testemunho} \geq 100\text{mm}}{\text{Comprimento total do furo}}$$

Deere [13] propôs a seguinte relação entre o valor numérico do RQD e a qualidade da rocha, do ponto de vista da engenharia:

Tabela 2.1 Valor do RQD em função da qualidade da rocha [2].

RQD	Qualidade da Rocha
< 25%	muito ruim
25 - 50%	ruim
50 - 75%	razoável
75 - 90%	boa
90 - 100%	muito boa

As classificações destinadas a obras de túneis são as mais usadas atualmente em obras subterrâneas, destacando-se entre elas as classificações de Bieniawski [1], Barton [2] e Laufer [18].

Vale a pena ressaltar aqui a diferença entre caracterização e classificação. Na caracterização consideram-se todas as informações relacionadas a questão específica, enquanto na classificação consideram-se somente as informações relevantes para o problema.

Normalmente uma classificação geomecânica tem como objetivos [19]:

- dividir o maciço rochoso em grupos de comportamento geomecânico similar;
- fornecer um bom embasamento para o entendimento das características do maciço rochoso;
- fornecer dados quantitativos que auxiliem o planejamento e projetos de sustentação de escavações e
- fornecer uma base comum para comunicação entre pessoal de diferentes áreas, envolvidos com problemas geomecânicos.

Uma classificação é bem sucedida se levar em consideração os seguintes fatores:

- ser simples, ter termos claros e terminologia universal;
- incluir apenas as propriedades mais relevantes dos maciços rochosos;
- considerar parâmetros mensuráveis através de ensaios de campo expeditos e acessíveis financeiramente;
- basear-se em um sistema de ponderação capaz de dosar a importância relativa de cada parâmetro e
- ser geral o bastante de modo que uma rocha possua a mesma qualidade, independentemente do uso a que se destina.

O número e a diversidade de classificações geomecânicas de materiais, maciços e estruturas rochosas estão relacionados às diferenças existentes entre materiais e propriedades, além dos objetivos visados pela classificação e das dimensões da obra de engenharia a ser construída [20, 21]. Entre estas poderíamos citar o sistema RMR de Bieniawski [1], o sistema Q de Barton, Lunde e Lien [2] e o sistema MR de Rocha [52]. Os resultados de uma classificação normalmente não são universalmente aplicáveis, restringindo-se a priori àqueles casos para os quais a classificação foi originalmente determinada [20, 21]. A fim de evitar consequências desastrosas é necessário analisar a mecânica do problema [22], verificando se a classificação pode ser aplicada ao caso em estudo. Não existe uma classificação universal, porém uma classificação mais adequada a determinadas condições. A universalidade deve estar na metodologia de elaboração das classificações [20, 23].

A finalidade de se classificar um maciço rochoso é utilizar os resultados obtidos correlacionando-os com o comportamento do maciço no campo. A partir de então, prever o máximo vão livre estável sem escoramento ou o tipo de suporte necessário para determinada escavação, a estabilidade de taludes para cava a céu aberto, o índice de fragmentação, etc., os quais estão diretamente relacionados ao projeto de viabilidade econômica de uma obra de engenharia, como por exemplo, um projeto para exploração de uma determinada jazida.

## 2.2.5. Classificação de Maciço Rochoso através do Sistema RMR

Os parâmetros geomecânicos básicos para classificação de maciço rochoso fraturado através do sistema RMR, criado por Bieniawski entre 1972 e 1973 e atualizado em 1988 [1], são:

- A resistência à compressão uniaxial da rocha intacta;
- O RQD, qualidade do testemunho de perfuração;
- O espaçamento das descontinuidades;
- As condições das descontinuidades e
- As condições de água subterrânea.

O termo descontinuidade é aqui usado como sinônimo de juntas, fraturas, falhas, planos de acamamentos, diaclases, contatos geológicos e outras superfícies de fraqueza da rocha. Por outro lado, as condições das descontinuidades dizem respeito a separação ou abertura das juntas, sua continuidade, a aspereza das superfícies, as condições das paredes, e a presença de preenchimento nas mesmas.

Neste contexto um número de pontos ou taxa é atribuído a cada faixa de valor dos parâmetros geomecânicos, e a soma dos valores de todos os parâmetros produz um valor básico para o RMR. Este valor será ajustado considerando-se a orientação das descontinuidades com respeito à escavação, resultando no valor final RMR, que é apresentado resumidamente na Tabela 2.2.

Os dados utilizados como base para o desenvolvimento de um sistema de classificação podem indicar o seu campo de aplicabilidade [1]. No sistema RMR, esta base é composta de 351 casos históricos, sendo que praticamente 2/3 foram obras executadas em maciços rochosos sedimentares, constituídos em sua maioria por folhelhos e argilitos, de qualidade razoável a boa ( $41 < \text{RMR} < 70$ ), cujas profundidades variaram entre 50 e 200 m, com vão livre entre 3 e 10 m [25].

Este sistema tende a ser bastante conservador, principalmente quando aplicado em mineração [26], porque foi calibrado em obras que não apresentaram ruptura, portanto trazem embutido fatores de segurança

desconhecidos que podem ser muito altos. Isto pode ser contornado através de monitoramento do comportamento do maciço durante a escavação e consequente ajuste da classificação às condições locais [1].

Tabela 2.2 Sistema RMR para classificação de maciço rochoso fraturado [1].

Resistência à compressão uniaxial (MPa)	>250 (15)	100-250 (12)	50-100 (7)	25-50 (4)	<25 (2-0)
RQD (%)	90-100 (20)	75-90 (17)	50-75 (13)	25-50 (8)	<25 (3)
Espaçamento entre fraturas (m)	>2 (20)	0.6 - 2.0 (15)	0.2 - 0.6 (10)	0.06 - 0.2 (8)	<0.06 (5)
Condições das fraturas	muito rugosas, fechadas, sem alteração. (30)	pouco alteradas, pouco rugosas, c/abertura < 1 mm. (25)	muito alteradas, pouco rugosas, c/abertura < 1 mm. (20)	enrichimento argiloso c/espessura < 5 mm ou abertura 1-5 mm diaclases contínuas. (10)	enrichimento argiloso c/espessura > 5 mm ou abertura > 5 mm diaclases contínuas. (0)
Água subterrânea (fluxo /10m de túnel)	0 seco (15)	<10 l/min. úmido (7)	10 - 25 l/min. molhado (7)	25 - 125 l/min. gotejando (4)	> 125 l/min. corrente (0)
Orientação das fraturas	muito favorável (0)	favorável (-2)	razoável (-5)	desfavorável (-10)	muito desfavorável (-12)
RMR	81 - 100	80 - 61	60 - 41	40 - 21	≤ 20
CLASSE	I	II	III	IV	V
Descrição	muito boa	boa	razoável	má	muito má
Coesão do maciço rochoso (KPa)	> 400	300 - 400	200 - 300	100 - 200	< 100
Ângulo de atrito interno	> 45°	45 - 35°	35 - 25°	25 - 15°	< 15°
Período estável sem escoramento	10 anos para um vão de 15 m.	seis meses para um vão de 8 m.	uma semana para um vão de 5.0 m.	dez horas para um vão de 2.50 m.	30 minutos para um vão de 1.0 m.

Ligeiras adaptações tornam os resultados produzidos por este sistema mais condizentes com a realidade observada em mineração [1, 27]. A introdução de fatores de correção para alguns dos parâmetros usados pelo sistema original permite considerar especificidades relacionadas a atividade mineira, tais como danos induzidos no maciço por detonações, presença de

falhas ou de descontinuidades muito penetrativas e influência das tensões virgens (*in situ*) e das mudanças no estado de tensões induzidas pela própria mineração.

De posse do valor RMR e consequentemente da classe do maciço, a Referência 1, pp. 25, Tabela 4, recomenda o método construtivo e o suporte adequado para cada tipo de obra, além disso o valor RMR determina o tempo máximo que um vão ativo, sem suporte, permanece estável conforme a Figura 2.3.

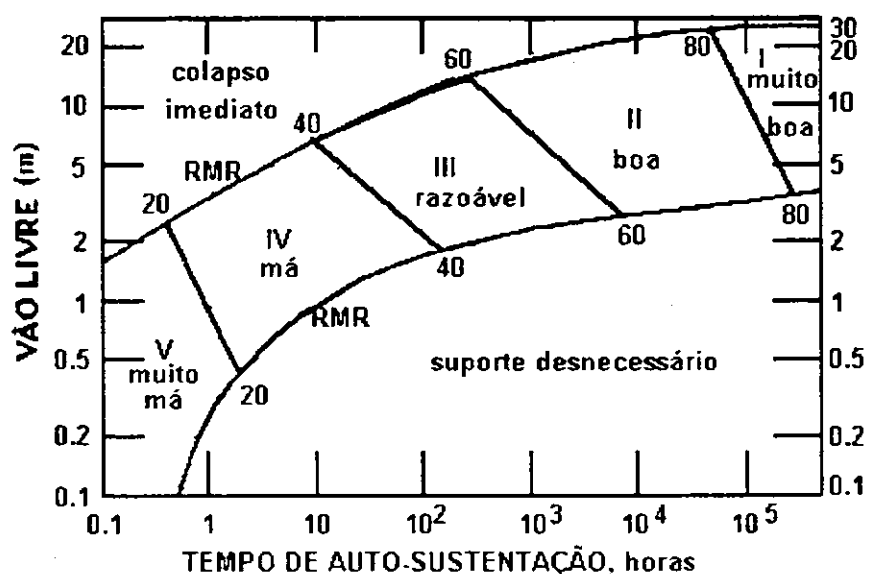


Figura 2.3 Relação entre o valor RMR e o tempo de auto-sustentação de uma escavação subterrânea sem suporte, segundo Bieniawski [15]

## 2.2.6 Classificação de Maciço Rochoso Através do Sistema Q

Barton, Lunde e Lien [2], do Instituto Geotécnico Norueguês (NGI), com base em análises de um grande número de escavações subterrâneas propuseram em 1974, com revisão em 1988 [28], um índice denominado Q, para a determinação da qualidade do maciço rochoso em escavação de túnel.

Os parâmetros geomecânicos básicos para a classificação de maciço rochoso baseado no índice Q, são:

- RQD;
- $J_n$  número de famílias de descontinuidades;
- $J_r$  parâmetro de rugosidade das descontinuidades;
- $J_s$  parâmetro de alteração das descontinuidades;
- $J_w$  parâmetro de redução da tensão normal devido à pressão hídrica e
- SRF parâmetro de redução da tensão total.

O valor numérico do índice Q é definido a partir destes parâmetros através da seguinte relação:

$$Q = \left( \frac{RQD}{J_n} \right) \left( \frac{J_r}{J_s} \right) \left( \frac{J_w}{SRF} \right)$$

onde: o primeiro fator corresponde ao tamanho e estrutura dos blocos de rocha; o segundo, representa as características friccional e de rugosidade das paredes e material de enchimento das descontinuidades; e o terceiro consiste de dois parâmetros de tensão que combinados resulta em um fator empírico representando a tensão ativa resultante da presença d'água e tensões atuando no maciço rochoso.

Os dados e comentários necessários para utilização deste sistema de classificação se encontram na Referência 29.

Observe que neste sistema a resistência à compressão simples, apesar de ser um parâmetro geomecânico em geral muito importante, não foi considerada, talvez porque para a base de dados históricos que motivou tal sistema, constituída dos maciços escandinavos que têm normalmente uma qualidade boa, este parâmetro não fosse a priori, muito relevante. Porém, como o sistema se tornou mundialmente utilizado observou-se que quando aplicado na sua forma original ele gera resultados insatisfatórios para maciços constituídos de rochas brandas, segundo Hoek e Brown [6]. Para otimizar a sua aplicação é conveniente calibrar o sistema para uso local, alterando valores atribuídos a alguns dos parâmetros por ele adotado. Vale salientar aqui que não foi incluída de forma explícita a orientação das descontinuidades. Porém, um dos fatores determinantes do comportamento geomecânico dos maciços que

serviram de base para a criação deste sistema foi a natureza das descontinuidades, sendo ponderadas pelos parâmetros  $J_a$ ,  $J_r$  e  $J_n$ . Como os parâmetros  $J_a$  e  $J_r$  referem-se a famílias de descontinuidades cuja orientação é a mais desfavorável possível, está implícito que o parâmetro orientação das descontinuidades é considerado. De modo geral o sistema Q proporciona melhores resultados quando aplicado a maciços constituídos de rochas duras e fraturadas.

A partir do valor encontrado para Q é estabelecida a classe do maciço rochoso. Barton [28] estabeleceu para cada tipo de obra, de acordo com a sua importância e vida útil esperada, um valor ESR (índice de suporte da escavação), conforme Tabela 2.3. De posse destes dados é possível se estabelecer uma correlação entre os mesmos e a razão (vão livre)/ESR (correspondente ao máximo vão livre), conforme mostrado na Figura 2.4. Além disso ele determinou o tipo de suporte a utilizar em caso de se projetar usando a metodologia empírica (Tabela 4 da Ref. 28, pp. 70-72).

O sistema Q foi estruturado com base em 212 casos históricos de escavações desenvolvidas entre 50 e 200 m de profundidade com vãos livres entre 5 e 15 m, em maciços rochosos constituídos de granitos, gnaisses, xistos e quartzitos, com predominância de três famílias de descontinuidades inalteradas ou preenchidas por minerais argilosos, cujas superfícies se apresentavam de forma lisa-planar, rugosa-planar ou lisa-ondulada ( $J_r = 1.0, 1.5$  e  $2.0$  respectivamente) [24]. A condição de fluxo d'água predominante situava-se entre seco e úmido, ou seja, menos de 5 litros por minuto ( $J_w = 1$ ). Quanto ao SRF, predominou zonas de fraqueza ocasionando relaxamento ou desmoronamento e nível moderado de tensões em rocha competente ( $\sigma_c / \sigma_1 < 10$ ).

Segundo Hoek e Brown [6], o sistema Q não é adequado se o comportamento do maciço rochoso for dominado por aspectos estruturais, neste caso deve-se considerar a geometria do maciço rochoso bem como da escavação.

Tabela 2.3 Índice de suporte de escavação ESR, segundo Barton [14].

CATEGORIA DA ESCAVAÇÃO	ESR
Escavações mineiras temporárias	3 - 5
Escavações mineiras permanentes, adutoras para usinas hidrelétricas, túneis pilotos, galerias laterais de grandes escavações.	1.6
Salões reservatórios, plantas de tratamento d'água, túneis rodoviários e ferroviários pequenos, túneis de acesso.	1.3
Casa de força, túnel rodoviário e ferroviário grandes, abrigo para defesa civil, interseções, portais.	1.0
Usina nuclear subterrânea, estação ferroviária, praça de esportes, instalações públicas, fábricas, etc.	0.8

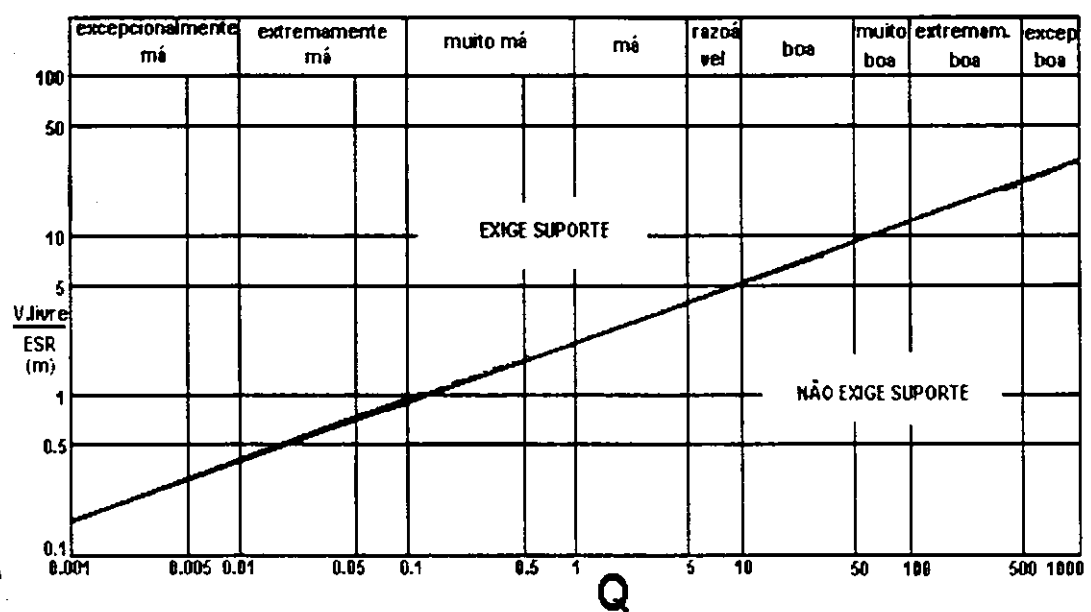


Figura 2.4 Relação entre o índice Q e a razão do máximo vão livre para o índice de suporte de escavação ESR, segundo Barton [2].

O universo de aplicação deste sistema se constitui de: mineração subterrânea, fundações, túneis para construção civil, entre outros.

### 2.3 Correlação entre os sistemas RMR e Q

Estabelecer correlações entre diferentes sistemas de classificação é prática bem difundida em mecânica de rochas. Esta sistemática é muito importante pois com isso pode-se aferir um sistema a partir de outro ou outros, bem como determinar qual sistema é mais adequado às condições locais da obra.

Hoek e Brown [33] baseados em estudo de Priest e Brown [32] e a fim de fornecerem uma base de ligação entre o seu critério de ruptura e observações ou medições que podem ser efetuadas no campo, sugeriram correlações entre o sistemas RMR e as constantes  $m$  e  $s$  do maciço rochoso. As constantes  $m$  e  $s$  do critério de Hoek-Brown, que são abordadas na Seção 2.5, estão relacionadas com o valor RMR através das equações definidas a seguir:

- Para maciços rochosos perturbados, ou seja, escavado:

$$\frac{m}{m_i} = \exp\left(\frac{RMR - 100}{14}\right), s = \exp\left(\frac{RMR - 100}{6}\right)$$

- Para maciços rochosos não perturbado:

$$\frac{m}{m_i} = \exp\left(\frac{RMR - 100}{28}\right), s = \exp\left(\frac{RMR - 100}{9}\right)$$

$m_i$  refere-se à rocha intacta, determinado em teste triaxial de tensões [34]. Não dispondo-se de dados de laboratório estima-se  $m_i$  a partir da Tabela 2.4.

Tabela 2. 4 Valores aproximados de  $m_i$  para diferentes tipos de rocha [33].

Rochas carbonáticas com clivagem bem definida, tais como: dolomitos, calcários e mármore.	$m_i = 7$
Rochas argilosas litificadas, tais como: argilitos, folhelhos e filitos. Ensaíados perpendicular à estratificação.	$m_i = 10$
Rochas arenosas com cristais resistentes e clivagem de cristal pobramente desenvolvida, tais como: arenitos e quartzitos.	$m_i = 15$
Rochas ígneas cristalinas polimínálgicas de granulação fina, tais como: andesitos, doleritos, diabásios e riolitos.	$m_i = 17$
Rochas ígneas e metamórficas polimínálgicas de granulação grossa, tais como: anfíbolitos, gabros, gnaisses, noritos e quartzo-dioritos.	$m_i = 25$

Bieniawski [15], baseado em centenas de casos históricos para os índices RMR e Q, correlacionou os dois sistemas de classificação através da seguinte equação:

$$RMR = 9 \ln Q + 44$$

## 2.4 Critério de Mohr-Coulomb

Os critérios de ruptura ou de escoamento determinam em que nível de tensões as partículas de um material entram em estado de ruptura ou escoamento plástico.

O critério de Mohr-Coulomb é um dos mais antigos, e o mais usado ao longo dos tempos com a finalidade de representar o comportamento de materiais quanto a ruptura em regime poliaxial de tensões, no presente caso rocha.

O critério de ruptura de Mohr-Coulomb, usando sinal positivo para a compressão, é estabelecido pela seguinte equação linear [30, 31]:

$$\tau = c + \sigma \tan\phi \quad (2.1)$$

sendo:

$\sigma$  a tensão normal, atuando no plano de ruptura da partícula;

$\tau$  a tensão de cisalhamento, atuando no plano de ruptura da partícula;

c a coesão da rocha e

$\phi$  o ângulo de atrito interno da rocha.

### 2.4.1 Envoltória do Critério de Mohr-Coulomb no plano ( $\tau$ , $\sigma$ )

A representação gráfica do critério de Mohr-Coulomb, ou seja, a envoltória, bem como as variáveis  $\sigma$  e  $\tau$  são mostradas na Figura 2.5. Neste caso, c e  $\phi$  são suficientes para caracterizar a resistência de determinado material, sendo necessário apenas testes de laboratório em dois níveis de pressão de confinamento.

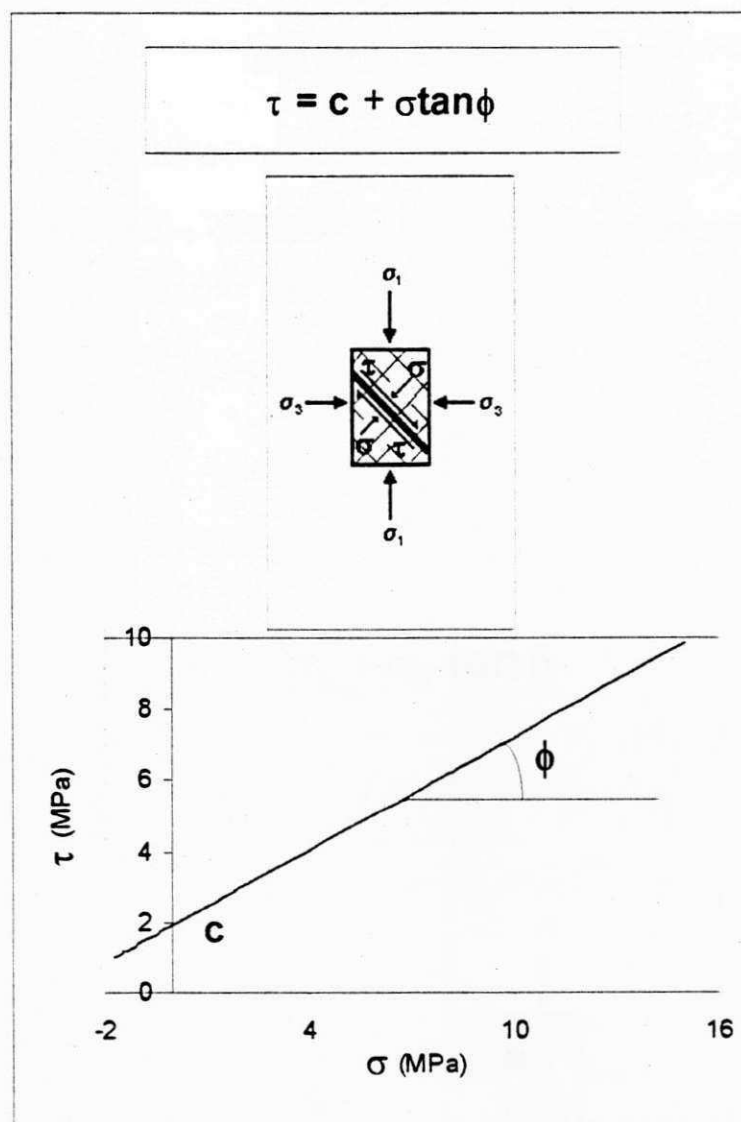


Figura 2.5 Critério de ruptura de Mohr-Coulomb no plano ( $\tau$ ,  $\sigma$ ) [3].

#### 2.4.2 Envoltória do Critério de Mohr-Coulomb no plano ( $\sigma_1$ , $\sigma_3$ )

Expressando  $\tau$  e  $\sigma$  em função das tensões principais máxima e mínima,  $\sigma_1$  e  $\sigma_3$  respectivamente, escrevemos o critério de Mohr-Coulomb da seguinte forma [30, 31]:

$$\sigma_1 = \sigma_c + \sigma_3 \tan \beta \quad (2.2)$$

onde:

$\sigma_c$  é a resistência à compressão uniaxial da rocha intacta e

$\beta$  obedece a seguinte equação:

$$\tan \beta = \tan^2(45^\circ + \frac{\phi}{2}) \quad (2.3)$$

A envoltória e as variáveis em relação a este plano estão na Figura 2.6

Através das relações geométricas indicadas na Figura 2.6 é possível se estabelecer também a seguinte relação:

$$\sigma_c = \frac{2c \cos \phi}{1 - \sin \phi} \quad (2.4)$$

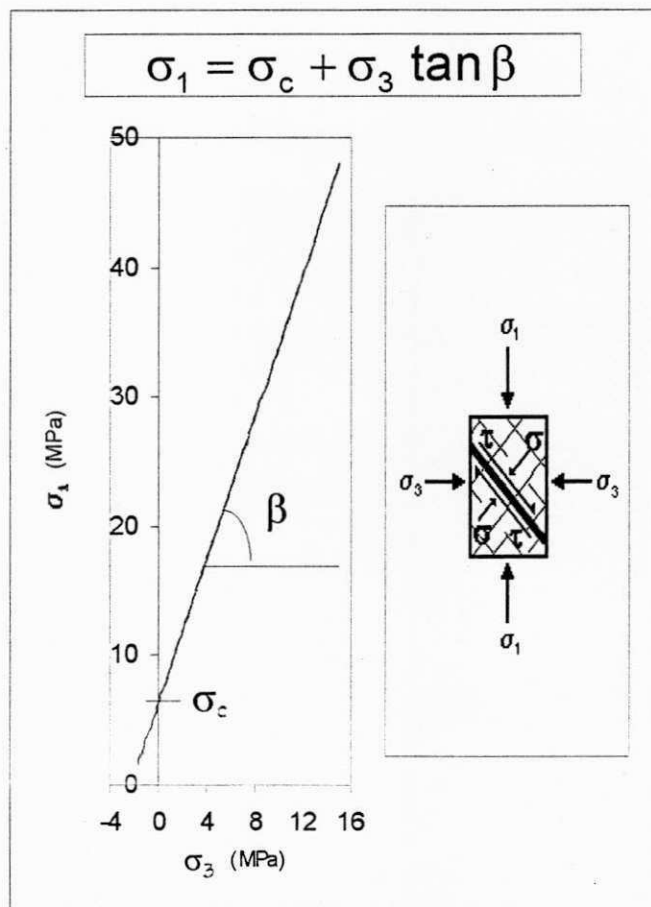


Figura 2.6 Critério de ruptura de Mohr-Coulomb no plano ( $\sigma_1$ ,  $\sigma_3$ ) [3].

## 2.5 Critério de Hoek-Brown

Hoek e Brown [6], baseados em dados experimentais e análises estatísticas, estabeleceram uma relação empírica, envolvendo as tensões principais na ruptura, denominada *critério de ruptura de Hoek-Brown*, definida pela seguinte equação:

$$\sigma_1 = \sigma_3 + \sqrt{m\sigma_c\sigma_3 + s\sigma_c^2} \quad (2.5)$$

onde:

$\sigma_1$  é a tensão principal máxima na ruptura;

$\sigma_3$  é a tensão principal mínima na ruptura;

$\sigma_c$  é a resistência à compressão uniaxial da rocha intacta e

$m$  e  $s$  são constantes que dependem do tipo e características geológico-geotécnicas do maciço rochoso.

A envoltória do critério de Hoek-Brown em relação ao plano ( $\sigma_1$ ,  $\sigma_3$ ) é mostrada na Figura 2.7.

Os valores de  $m$  e  $s$  para diversas classes de rocha são reproduzidos na Tabela 2.5.

A curvatura da envoltória expressa pela equação 2.5, Figura 2.7, depende do valor de  $m\sigma_c$ , e sua distância em relação ao eixo  $\sigma_3$  depende do valor de  $s\sigma_c^2$ .

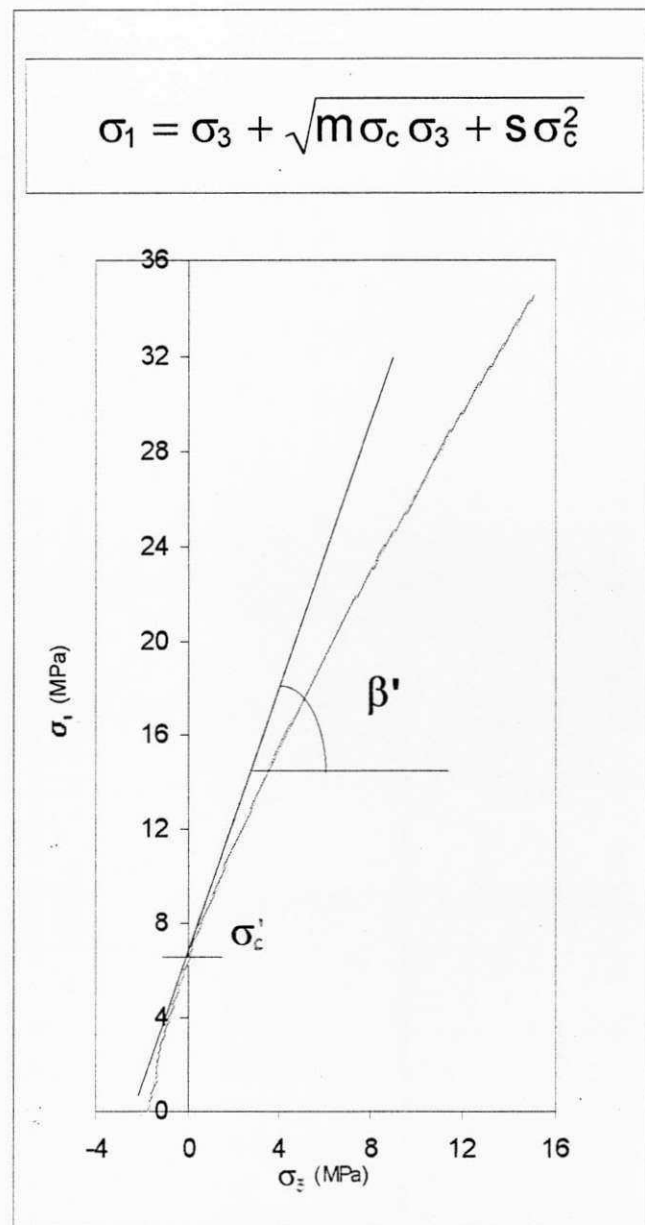


Figura 2.7 Critério de ruptura de Hoek-Brown no plano  $(\sigma_1, \sigma_3)$  [3].

Tabela 2.5 Valores de m e s para o critério de Hoek-Brown [10].

<u>Critério de ruptura empírico</u>	Rochas carbonáticas com clivagens bem definidas, tais como: dolomitos, calcários e mármore.	Rochas argilosas litificadas, tais como: argilitos, siltitos, folhelhos e filitos. Ensaíados perpendicular à estratificação.	Rochas arenosas com cristais resistentes e clivagem de cristal pobremente desenvolvida, tais como: arenitos e quartzitos.	Rochas ígneas cristalinas poliminerálgicas de granulação fina, tais como: andesitos, doleritos, diabásios e riolitos.	Rochas ígneas e metamórficas poliminerálgicas de granulação grossa, tais como: anfibolitos, gabros, gnaisses, noritos e quartzo-dioritos.
$\sigma_1 = \sigma_3 + \sqrt{m\sigma_c\sigma_3 + s\sigma_c^2}$ $\sigma_1$ = tensão principal máxima; $\sigma_3$ = tensão principal mínima; $\sigma_c$ = resistência à compressão uniaxial da rocha intacta e $m, s$ = parâmetros do maciço.					
<u>Rocha intacta</u> Amostras de laboratório sem fraturas pré-existentes. $RMR = 100$ e $Q = 500$	$m = 7$ $s = 1$	$m = 10$ $s = 1$	$m = 15$ $s = 1$	$m = 17$ $s = 1$	$m = 25$ $s = 1$
<u>Maciço de excelente qualidade</u> Rocha sólida muito embriada com fraturas rugosas pouco alteradas, espaçadas de 1 a 3 metros. $RMR = 85$ e $Q = 100$	$m = 3.5$ $s = 0.1$	$m = 5$ $s = 0.1$	$m = 7.5$ $s = 0.1$	$m = 8.5$ $s = 0.1$	$m = 12.5$ $s = 0.1$
<u>Maciço de boa qualidade</u> Rocha sólida a pouco alterada, pouco perturbada com juntas espaçadas de 1 a 3 m. $RMR = 65$ e $Q = 10$	$m = 0.7$ $s = 0.004$	$m = 1$ $s = 0.004$	$m = 1.5$ $s = 0.004$	$m = 1.7$ $s = 0.004$	$m = 2.5$ $s = 0.004$
<u>Maciço de qualidade regular</u> Algumas famílias de fraturas moderadamente alteradas, espaçadas de 0.3 a 1 m. $RMR = 44$ e $Q = 1$	$m = 0.14$ $s = 0.0001$	$m = 0.20$ $s = 0.0001$	$m = 0.30$ $s = 0.0001$	$m = 0.34$ $s = 0.0001$	$m = 0.50$ $s = 0.0001$
<u>Maciço de qualidade pobre</u> Muitas fraturas alteradas, espaçadas de 0.3 a 0.05 m com algum preenchimento, enroncamento limpo, compactado. $RMR = 23$ e $Q = 0.1$	$m = 0.04$ $s = 0.00001$	$m = 0.05$ $s = 0.00001$	$m = 0.08$ $s = 0.00001$	$m = 0.09$ $s = 0.00001$	$m = 0.13$ $s = 0.00001$
<u>Maciço rochoso muito pobre</u> Muitas fraturas extremamente alteradas, espaçadas em menos de 0.05 m com preenchimento. Entulho. $RMR = 3$ e $Q = 0.01$	$m = 0.007$ $s = 0$	$m = 0.010$ $s = 0$	$m = 0.015$ $s = 0$	$m = 0.017$ $s = 0$	$m = 0.025$ $s = 0$

Obtém-se a resistência à compressão uniaxial do maciço rochoso a partir da resistência de uma amostra de laboratório fazendo-se  $\sigma_3 = 0$  na equação (2.5), acarretando:

$$\sigma_M = \sqrt{s\sigma_c^2} = \sqrt{s}\sigma_c \quad (2.6)$$

Para rocha intacta (quando  $s = 1$ ),  $\sigma_M = \sigma_c$ . Por outro lado, para rocha fraturada, ( $s < 1$ ) com pressão de confinamento zero, a resistência é dada pela equação (2.6), sendo  $\sigma_c$  a resistência à compressão uniaxial da rocha intacta. Este valor é uma medida da contribuição da coesão da rocha para com a resistência total do maciço rochoso.

Similarmente, obtém-se a resistência à tração fazendo-se  $\sigma_1 = 0$  na equação (2.5), neste caso  $\sigma_3 = \sigma_t$ , ou seja:

$$\sigma_t + \sqrt{m\sigma_M\sigma_t + s\sigma_M^2} = 0$$

ou

$$\sigma_t^2 - m\sigma_M\sigma_t - s\sigma_M^2 = 0$$

portanto:

$$\sigma_t = \frac{\sigma_M}{2} \left( m - \sqrt{m^2 + 4s} \right) \quad (2.7)$$

Neste contexto os parâmetros  $m$  e  $s$  refletem a qualidade (classe) do maciço rochoso sob análise. Sendo assim, os autores definiram os parâmetros  $m$  e  $s$  em função da classe do maciço, usando a classificação de Bieniawski (índice RMR), conforme visto anteriormente na Seção 2.3.

**Critério de Hoek-Brown de forma mais conveniente à análise de taludes.** A análise de taludes através do critério de Hoek-Brown [36, 37], é feita através da seguinte equação:

$$\frac{\tau}{\sigma_c} = A \left( \frac{\sigma}{\sigma_c} + \frac{\sigma_t}{\sigma_c} \right)^B \quad (2.8)$$

onde  $A$  e  $B$  são parâmetros do maciço rochoso e  $\sigma_t$  é a resistência à tração da rocha intacta, satisfazendo a equação (2.7), cuja envoltória mostra-se na Figura 2.8.

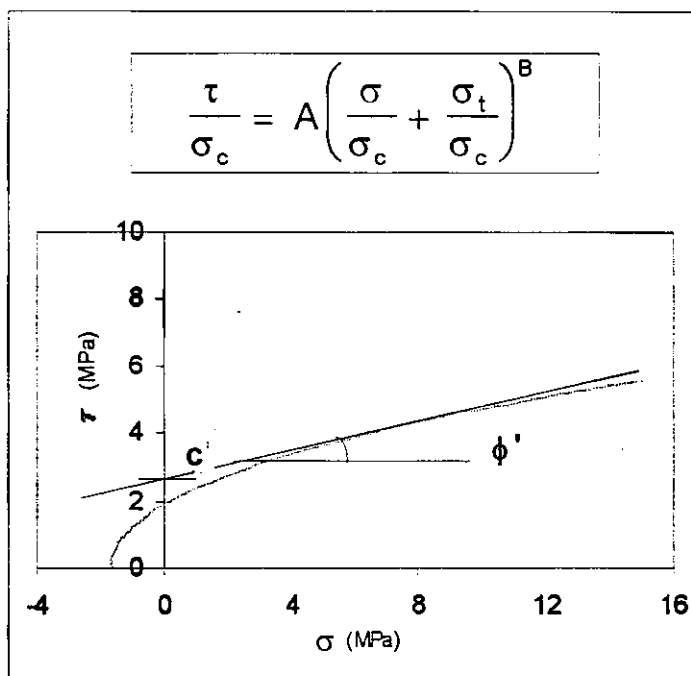


Figura 2.8 Critério de ruptura de Hoek-Brown para taludes [3].

## 2.6 Correlação Entre os Critérios de Mohr-Coulomb e Hoek-Brown

A importância de se correlacionarem diferentes critérios de ruptura advém da possibilidade de determinação dos parâmetros de um a partir dos parâmetros do outro, como ocorre entre os critérios clássicos de Mohr-Coulomb e Drucker-Prager [38].

Como a maioria das análises utilizadas em estabilidade de escavações subterrâneas ou para cálculo da estabilidade de taludes têm sido tradicionalmente formuladas em função do critério de ruptura de Mohr-Coulomb, uma questão relevante é como determinar valores equivalentes para o ângulo de fricção interna  $\phi$  e a coesão  $c$  do critério de Mohr-Coulomb a partir da tangente à envoltória definida pelo critério de Hoek-Brown [3, 33, 35].

Nesta linha de raciocínio foi desenvolvida pesquisa anterior [3], onde o critério de Hoek-Brown pode ser substituído por envoltórias retilíneas tangentes às curvas representando as equações (2.8) ou (2.5), conforme ilustrado na Figura 2.9. O ângulo que a tangente forma com a horizontal ( $\phi'$ ) pode ser interpretado como o ângulo de atrito interno instantâneo ou aparente.

Interpretações similares podem ser estendidas aos parâmetros  $\beta$  e  $\sigma_c$ , cujo gráfico é mostrado na Figura 2.7.

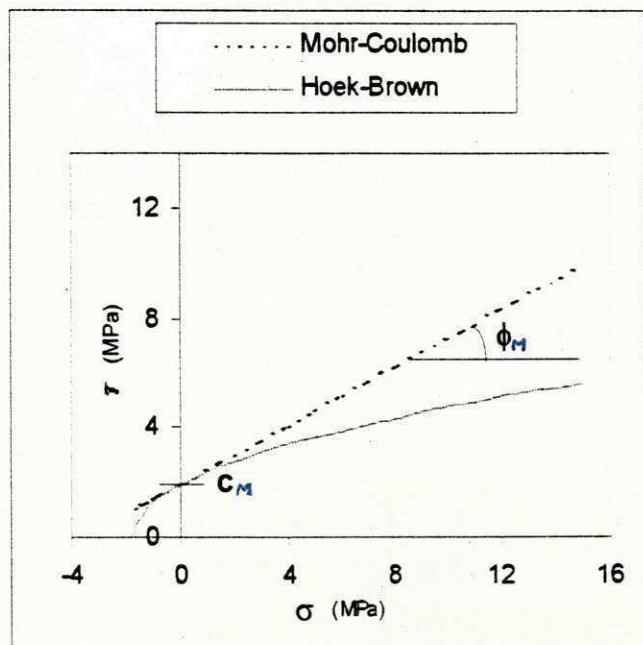


Figura 2.9 Correlação entre os critérios de Mohr-Coulomb e Hoek-Brown no plano ( $\tau$ ,  $\sigma$ ) [3].

Para determinarmos o ângulo  $\beta'$ , mostrado na Figura 2.7, deriva-se a equação (2.5) em relação a  $\sigma_3$ , de onde se obtém:

$$\tan \beta' = 1 + \frac{m\sigma_c}{2\sqrt{m\sigma_c\sigma_3 + s\sigma_c^2}} \quad (2.11)$$

Sendo assim, substituindo-se  $\sigma_c$  por  $\sigma_c$  e  $\beta$  por  $\beta'$ , a equação da envoltória de Mohr-Coulomb assume a seguinte forma:

$$\sigma_1 = \sigma_c + \sigma_3 \tan \beta' \quad (2.12)$$

Por outro lado,  $\sigma_1$  deve satisfazer a equação (2.5). Portanto:

$$\sigma_c = (1 - \tan \beta')\sigma_3 + \sqrt{m\sigma_c\sigma_3 + s\sigma_c^2} \quad (2.13)$$

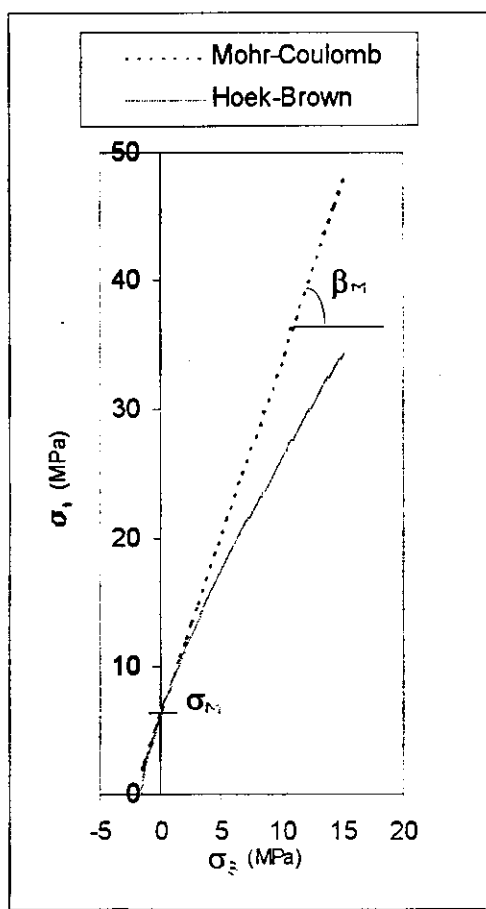


Figura 2.10 Correlação entre os critérios de Mohr-Coulomb e Hoek-Brown no plano ( $\sigma_1$ ,  $\sigma_3$ ) [3].

Prosseguindo, de acordo com as equações (2.3) e (2.4), podemos calcular  $\phi'$  e  $c'$  em função de  $\tan\beta'$  e  $\sigma_c'$ , ou seja:

$$\phi' = 2[\arctan(\sqrt{\tan\beta'}) - 45^\circ] \quad (2.14)$$

$$c' = \sigma_c' \frac{1 - \sin\phi'}{2\cos\phi'} \quad (2.15)$$

onde  $\tan\beta'$  e  $\sigma_c'$  são fornecidos pelas equações (2.11) e (2.13), que tem como variável apenas  $\sigma_3$ . A partir daí concluímos que para cada valor de  $\sigma_3$  a envoltória de Hoek-Brown possui valores diferentes para o ângulo de atrito interno e a coesão aparentes.

Para compararmos as duas envoltórias utilizamos os valores de  $\beta_M$  e  $\sigma_M$  no ponto  $\sigma_3 = 0$ , conforme mostrado na Figura 2.10.

Fazendo  $\sigma_3 = 0$  nas equações (2.11) e (2.13) teremos:

$$\tan \beta_M = 1 + \frac{m}{2\sqrt{s}} \quad (2.16)$$

$$\sigma_M = \sigma_c \sqrt{s} \quad (2.17)$$

Finalmente, substituindo-se os valores de  $\tan \beta_M$  e  $\sigma_M$  das equações (2.16) e (2.17), em que  $\sigma_3 = 0$ , nas equações (2.14) e (2.15) resulta em:

$$\phi_M = 2 \left[ \arctan \left( \sqrt{1 + \frac{m}{2\sqrt{s}}} \right) - 45^\circ \right] \quad (2.18)$$

$$c_M = \sigma_c \sqrt{s} \frac{1 - \sin \phi}{2 \cos \phi} \quad (2.19)$$

Dessa forma, as equações (2.16) a (2.19) estabelecem a correlação entre os parâmetros  $m$ ,  $s$  e  $\sigma_c$  do critério de Hoek-Brown, com os parâmetros  $\beta_M$  e  $\sigma_M$  no plano  $(\sigma_1, \sigma_3)$  ou  $\phi_M$  e  $c_M$  no plano  $(\tau, \sigma)$  do critério de Mohr-Coulomb. As envoltórias das Figuras 2.9 e 2.10 foram desenhadas com os valores numéricos dos parâmetros utilizados nos problemas dos pilares desenvolvidos no Capítulo 4.

Deve-se notar, através do que foi estabelecido, que os critérios de Mohr-Coulomb e Hoek-Brown coincidem para valores de confinamento nulo ( $\sigma_3 = 0$ ). Por outro lado, o critério de Mohr-Coulomb prever resistências maiores à medida que a tensão de confinamento aumenta.

Por outro lado, obtém-se A e B da equação (2.8) através de manipulação matemática, ou seja: para  $\sigma = 0$  verificamos que  $\tau = \tan \phi = \frac{c}{\sigma_c}$ , logo:

$$AB \left( \frac{\sigma_t}{\sigma_c} \right)^{B-1} = \tan \phi \quad (2.9)$$

ou

$$A \left( \frac{\sigma_t}{\sigma_c} \right)^B = \frac{c}{\sigma_c} \quad (2.10)$$

Daí, dividindo-se (2.9) por (2.10), teremos:  $B \left( \frac{\sigma_t}{\sigma_c} \right)^{-1} = \frac{\sigma_c \tan \phi}{c}$ , logo:

$$B = \frac{\sigma_t \tan \phi}{c} \quad \text{e} \quad A = \left( \frac{c}{\sigma_c} \right) \left( \frac{\sigma_c}{\sigma_t} \right)^B$$

## 2.7 Fator de Segurança

O fator de segurança em projetos de escavações é definido como sendo a razão entre a resistência da rocha e a distorção causada pelas tensões. É um parâmetro ao qual deve-se dar a devida atenção, visto que quando trabalha-se em regime elástico podem surgir domínios para os quais o fator de segurança apresenta-se menor que a unidade. Quando se adota o regime elastoplástico, esta inconsistência é eliminada devido à redistribuição das tensões excessivas em torno do domínio em questão.

Considerando como exemplo o critério de Mohr-Coulomb, o fator de segurança é definido da seguinte forma:

$$f_s = \frac{c + \sigma \tan \phi}{\tau}$$

Observa-se que o numerador representa a resistência da partícula, com uma componente de coesão e outra de fricção ou atrito, dependente da tensão normal  $\sigma$ .

Observa-se ainda que fatores de segurança calculados a partir da equação (2.2) ao invés da equação (2.1) apresentam valores diferentes, exceto se o ponto representando o estado de tensões da partícula estiver sobre a envoltória, onde os fatores de segurança calculados para ambas as equações apresentam valores unitários. Deve-se ressaltar também, que o fator de segurança obtido a partir da equação (2.1) é calculado em cada partícula do material, sendo portanto diferente de outros fatores de segurança utilizados na engenharia, como por exemplo na engenharia civil, onde se aplica o fator para um membro ou para a estrutura como um todo [3].

### **3. PROBLEMAS ELASTOPLÁSTICO EM DUAS DIMENSÕES**

#### ***3.1 Introdução***

Em sua essência o comportamento plástico de determinado material sob solicitação é caracterizado por uma deformação irreversível, independente do tempo, que só é iniciada ao se atingir um certo nível de tensão. Assim sendo, uma definição para plasticidade pode ser entendida como sendo a presença de deformação irreversível após a remoção do carregamento.

Problemas que se adaptam às condições de tensões no plano, deformações no plano ou modelos com eixo de simetria, representam a maioria dos padrões dos casos de engenharia relacionados à análise de tensões. O equacionamento destes problemas deve levar em conta dois aspectos importantes antes da análise numérica: primeiro, o potencial plástico e segundo, o princípio da normalidade (ou regra de fluxo).

Diferentes classes de materiais exibem diferentes características elastoplásticas; assim sendo, para análise de tensões em metais usam-se os critérios clássicos de von Mises ou o de Tresca, enquanto para solos e rochas usa-se os critérios de Mohr-Coulomb ou o de Drucker-Prager. Nesta pesquisa é implementado o critério de Hoek-Brown para uso em solos e rochas em regime elastoplástico.

#### ***3. 2 Teoria Matemática da Elastoplasticidade***

Do ponto de vista teórico o modelo matemático da plasticidade descreve as relações entre tensão e deformação para materiais que tenham comportamento elastoplástico.

A fim de formular uma teoria consistente para a modelagem da deformação de materiais em estado elastoplástico, são necessárias as premissas a seguir [38]:

- identificar uma relação explícita entre tensão e deformação que descreva o comportamento do material sob condições elásticas, isto é, antes de experimentar deformação plástica;
- apresentar um critério de escoamento indicador do nível de tensão a partir do qual começa o fluxo plástico;
- identificar uma relação entre tensão e deformação para o comportamento do material após o escoamento, ou seja, quando a deformação apresenta componentes elástica e plástica e
- reconhecer o princípio da normalidade ou regra de fluxo, ou quando não aplicável, a direção do tensor de deformações plásticas em relação à superfície de escoamento.

### 3.2.1 Relação entre Tensão e Deformação para Materiais sob Condições Elásticas

Antes de iniciar o escoamento plástico a relação entre tensão e deformação, em notação indicial, Fung [43], é dada pela equação *elástica linear padrão*:

$$\sigma_{ij} = c_{ij\;kl} \varepsilon_{kl} \quad (3.1)$$

onde  $\sigma_{ij}$  e  $\varepsilon_{kl}$  são as componentes de tensão e deformação respectivamente e  $c_{ij\;kl}$  é o tensor de constantes elásticas que para material isotrópico tem a forma:

$$c_{ij\;kl} = \lambda \delta_{ij} \delta_{kl} + \mu \delta_{ik} \delta_{jl} + \mu \delta_{il} \delta_{jk} \quad (3.2)$$

onde  $\lambda$  e  $\mu$  são as constantes de Lamé e  $\delta_{ij}$  é o delta de Kronecker, definido por:

$$\delta_{ij} = \begin{cases} 1 & \text{se } i=j \\ 0 & \text{se } i \neq j \end{cases} \quad (3.3)$$

### 3.2.2 Critério de Escoamento

O critério de escoamento é o determinante do nível de tensão aplicada a um material, para o qual tem início a deformação plástica, sendo equacionado através de uma função  $F$  da tensão e um ou mais parâmetros do material, determinado experimentalmente, ou seja,  $F(\sigma_{ij}) = K(k)$ .

Se considerarmos o comportamento uniaxial do material, como mostrado na Figura 3.1(a), apenas uma relação não linear representativa do carregamento não é suficiente para determinar se o mesmo exibe comportamento elástico não linear ou plástico. No descarregamento do corpo percebemos a diferença, ou seja, material elástico segue a mesma trajetória da fase de carregamento enquanto que material plástico segue trajetória diferente.

Muitos materiais apresentam comportamento *plástico ideal*, para estes existe uma tensão de escoamento limite  $\sigma_y$  na qual as deformações são indeterminadas. Para tensões abaixo deste limite de escoamento é assumida uma relação de elasticidade linear, ilustrada na Figura 3.1(b).

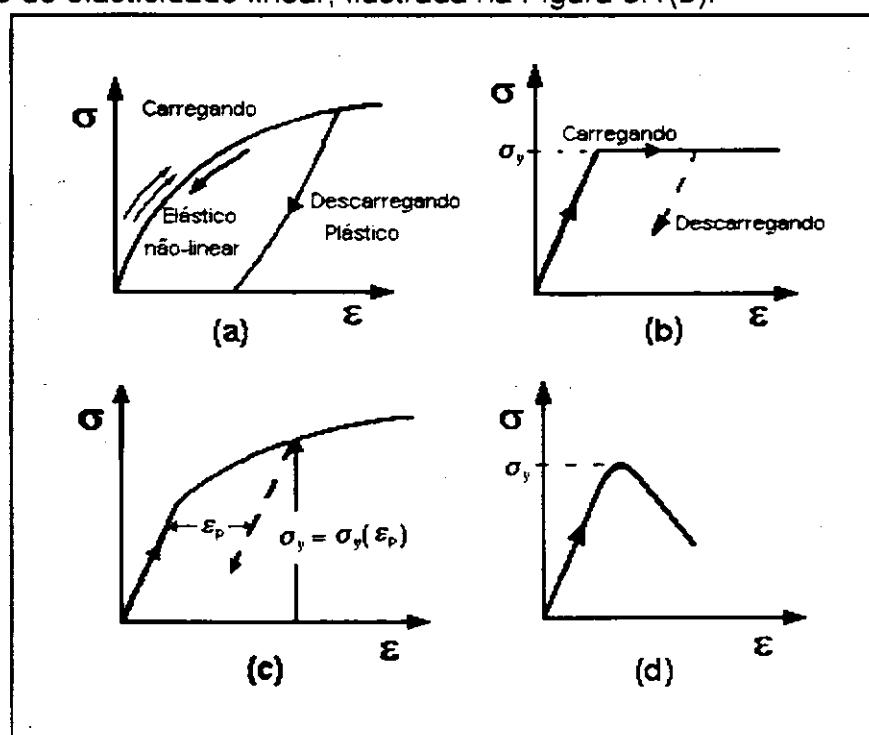


Figura 3.1 Comportamento uniaxial do material: (a) Modelo elástico e plástico não linear, (b) Plasticidade ideal, (c) Plasticidade *strain hardening* e (d) Plasticidade *strain softening*, modificado de [42].

Um refinamento para este modelo é o que considera o material *hardening/softening* plástico no qual a tensão de escoamento depende de algum parâmetro  $k$  (como por exemplo, deformação plástica  $\epsilon_p$ ), ilustrado na Figura 3.1(c) e (d) [39, 40, 42].

Em um estado geral de tensões  $\sigma_{ij}$  ampliamos a teoria, e o conceito de tensões de escoamento precisa ser generalizado.

**Superfície de Escoamento.** É geralmente postulado, como um fato experimental, que o escoamento só pode ocorrer se as tensões  $\sigma$  satisfazem o critério de escoamento geral:

$$F(\sigma_{ij}, k) = 0 \quad (3.4)$$

onde  $k$  é um parâmetro *hardening/softening*.

Os termos *work hardening* ou *strain hardening* são utilizados para denotar o fato de que após o escoamento inicial de determinado material o nível de tensões que provoca deformações plásticas subsequentes é função do grau de deformação corrente. Consequentemente a superfície de escoamento se altera a cada alteração na deformação plástica, sendo as superfícies subsequentes dependentes das deformações plásticas. Através da Figura 3.2 entendemos melhor este conceito. A Figura 3.2(a) representa um material *plástico perfeito*, ou seja, material para o qual o nível de tensão de escoamento não depende do grau de plastificação. Na Figura 3.2(b) está representado um material cujo modelo *strain hardening* chamamos *strain hardening isotrópico* pois as superfícies de escoamento subsequentes são expansões uniformes, sem translação, da superfície original. Por último, a Figura 3.2(c) representa um material cujas superfícies de escoamento subsequentes preservam a forma e orientação originais porém com translação no espaço de tensões, como um corpo rígido, neste caso usamos o termo *strain hardening cinemático*.

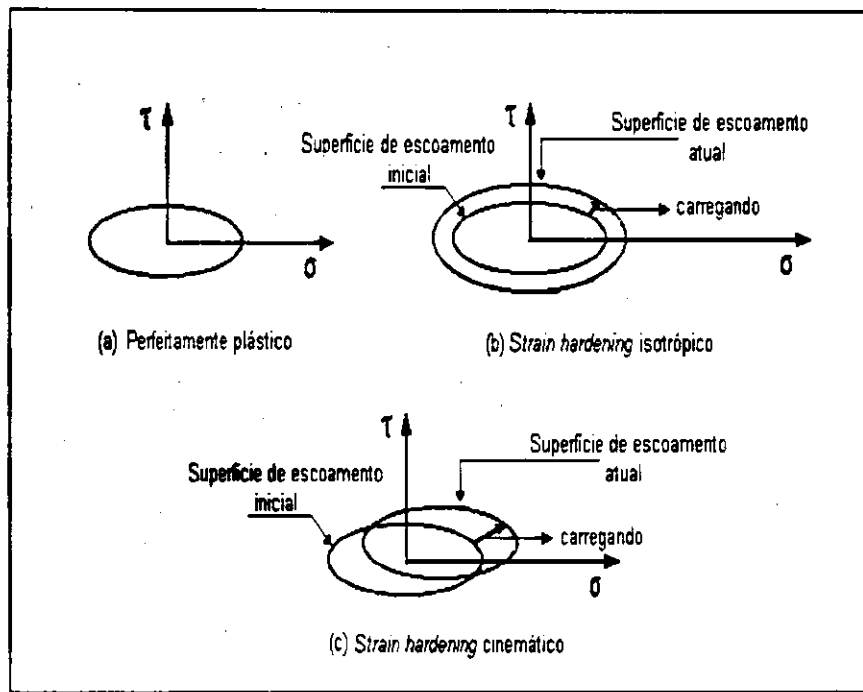


Figura 3.2 Modelo matemático representativo da superfície de escoamento para material com comportamento *strain hardening* [38].

Para alguns materiais como rocha e solo, por exemplo, a superfície de escoamento pode não ter comportamento *strain hardening* (encruamento) e sim *strain softening*. Nestes casos o nível de tensão de escoamento em um ponto decresce com o aumento da deformação plástica. Sendo assim, para um sistema isotrópico, a superfície de escoamento se contrai progressivamente sem translação, dessa forma o escoamento provoca ruptura local e o critério de escoamento transforma-se em critério de ruptura.

A expansão gradual da superfície de escoamento pode ser definida relacionando-se a tensão de escoamento com a deformação plástica por intermédio do parâmetro *hardening*, que pode ser feita de duas maneiras: através do grau de *work hardening* baseado na energia de deformação plástica (trabalho de deformação plástica total); ou em função da medida escalar da deformação plástica total, denominada *deformação plástica efetiva, generalizada ou equivalente*, conforme desenvolvimento na Seção 3.2.4.

### 3.2.3 Regra de Fluxo (Princípio da Normalidade)

Originalmente von Mises [39] sugeriu a relação básica constitutiva definindo os incrementos de deformação plástica em relação à superfície de escoamento, tendo sido gradativamente aperfeiçoada até alcançar o nível atual que veremos a seguir.

Se  $\dot{\varepsilon}_p$  denota o incremento de deformação plástica, então [44, 46]:

$$\dot{\{\varepsilon}_p\} = \lambda \frac{\partial F}{\partial \{\sigma\}} \quad \text{ou} \quad \dot{\{\varepsilon}_p\} = \lambda \{a\} \quad (3.5)$$

sendo:  $\{a\} = \frac{\partial F}{\partial \{\sigma\}}$  e  $\lambda$  um parâmetro de proporcionalidade a ser determinado.

Esta regra, mostrada na Figura 3.3, é conhecida como *princípio de normalidade* tendo em vista que a equação (3.5) pode ser interpretada como exigindo a normalidade do vetor *incremento de deformação plástica* à superfície de escoamento no espaço de tensões.

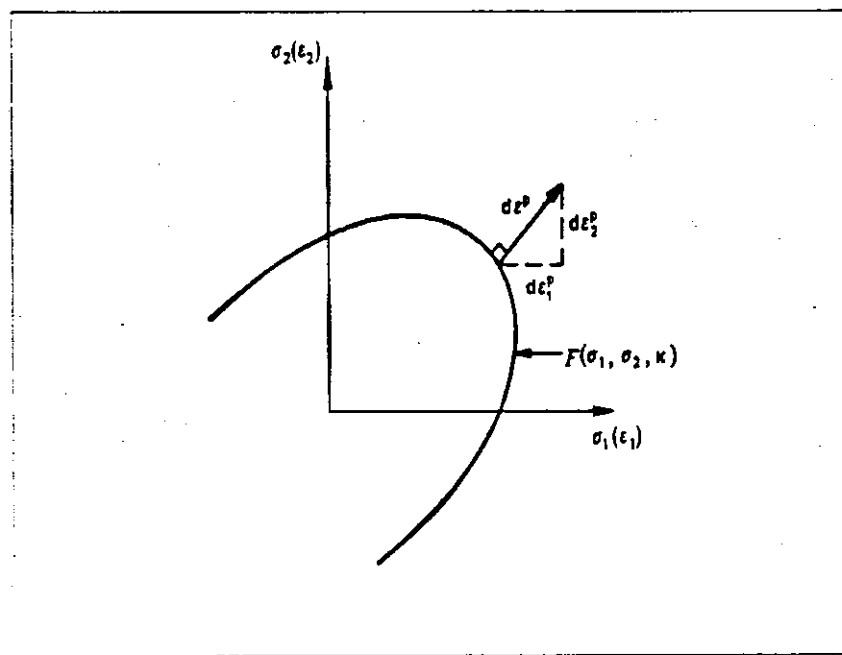


Figura 3.3 Superfície de escoamento e princípio da normalidade em espaço de tensão bidimensional [42].

### 3.2.4 Relação Tensão-Deformação Total

Durante um incremento de tensão infinitesimal, conforme mostrado na Figura 3.4, as variações na deformação apresentam componentes elástica e plástica, representadas pela seguinte equação:

$$\{\dot{\varepsilon}\} = \{\dot{\varepsilon}_e\} + \{\dot{\varepsilon}_p\} \quad (3.6)$$

Os incrementos de deformação estão relacionados com os incrementos de tensão, através da matriz simétrica de constantes elásticas [D], por intermédio das relações a seguir:

$$\{\dot{\sigma}\} = [D]\{\dot{\varepsilon}_e\} \quad (3.7)$$

Por outro lado, os incrementos de tensão elástica estão relacionados com os incrementos de deformação, através da matriz [D], pela relação a seguir:

$$\{\dot{\sigma}_e\} = [D]\{\dot{\varepsilon}\} \quad (3.8)$$

Estas relações são observadas na Figura 3.4.

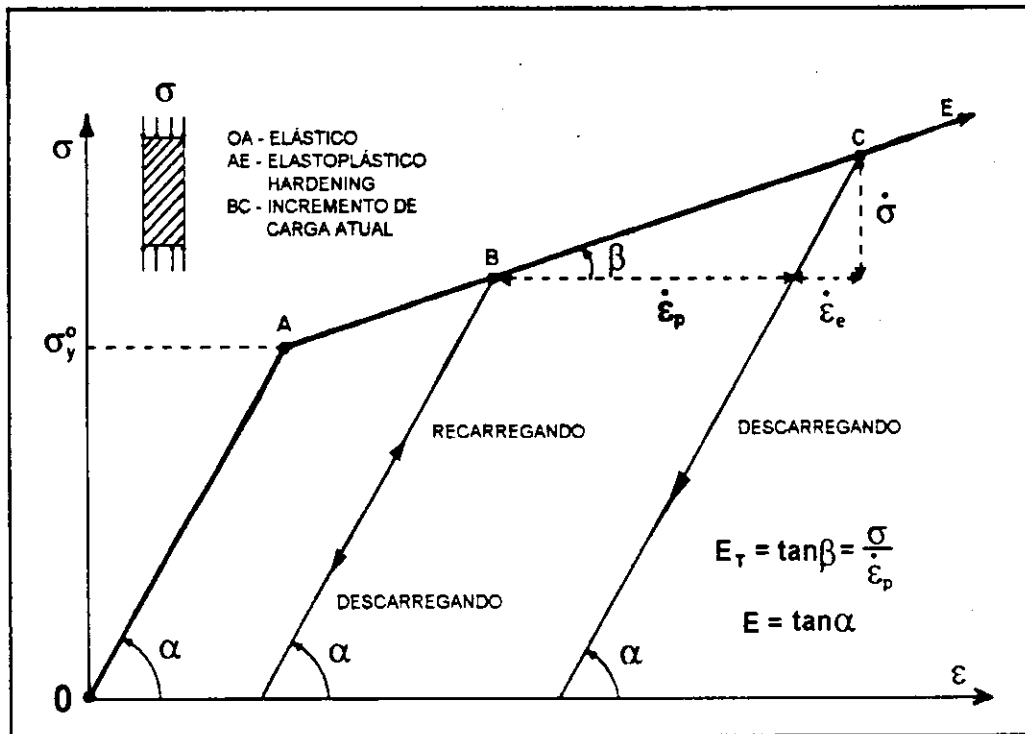


Figura 3.4 Definição do parâmetro *hardening* *H* para curva tensão-deformação uniaxial [41].

A seguir veremos uma análise mais detalhada do parâmetros de fluxo plástico  $\lambda$  e do incremento de tensão plástica  $\{\dot{\sigma}_p\}$ .

Para um ponto de um corpo sob escoamento plástico é válido o critério de escoamento expressado pela equação (3.4), ou seja, quando está ocorrendo escoamento plástico as tensões estão sobre a superfície de escoamento, e portanto, deve ser satisfeita a seguinte forma incremental:

$$\dot{F} = \left\{ \frac{\partial F}{\partial \sigma} \right\}^T \{\dot{\sigma}\} + \frac{\partial F}{\partial k} \dot{k} = 0 \quad \text{ou} \quad dF = \frac{\partial F}{\partial \sigma_1} d\sigma_1 + \frac{\partial F}{\partial \sigma_2} d\sigma_2 + \dots + \frac{\partial F}{\partial k} dk = 0 \quad (3.9)$$

De (3.5) sabe-se que:  $\left\{ \frac{\partial F}{\partial \sigma} \right\}^T = \{a\}^T$  que substituindo-se em (3.9) obtém-se:

$$\{a\}^T \{\dot{\sigma}\} + \frac{\partial F}{\partial k} \dot{k} = 0 \quad (3.10)$$

ou seja

$$\{a\}^T \{\dot{\sigma}\} - A \dot{\lambda} = 0 \quad (3.11)$$

onde:

$$A = -\frac{1}{\lambda} \frac{\partial F}{\partial k} \quad (3.12)$$

Com a substituição das equações (3.6) e (3.5) em (3.7) obtém-se:

$$\{\dot{\sigma}\} = [D] \{\dot{\varepsilon}\} - \lambda [D] \{a\} \quad (3.13)$$

fazendo-se  $[D]\{a\} = \{d\}$ , tem-se:

$$\{\dot{\sigma}\} = [D] \{\dot{\varepsilon}\} - \lambda \{d\} \quad (3.14)$$

a eliminação de  $\{\dot{\sigma}\}$  da equação (3.11) através da equação (3.14) acarreta:

$$\{a\}^T [D] \{\dot{\varepsilon}\} - \lambda \{a\}^T \{d\} - A \dot{\lambda} = 0 \quad (3.15)$$

dai  $\dot{\lambda}$  pode ser expresso como:

$$\dot{\lambda} = \frac{\{a\}^T [D]\{\varepsilon\}}{A + \{a\}^T \{d\}} \quad (3.16)$$

Finalmente, substituindo-se a equação (3.8) na equação (3.16), obtém-se:

$$\dot{\lambda} = \frac{\{a\}^T \{\sigma_e\}}{A + \{a\}^T \{d\}} \quad (3.17)$$

**Significado do Parâmetro A.** Para a plasticidade ideal, sem *hardening*, A é simplesmente zero. Porém, considerando-se *hardening* deve-se dar atenção a natureza do parâmetro (ou parâmetros) k do qual dependem as substituições da superfície de escoamento.

O parâmetro *work hardening* k pode ser representado pelo total de trabalho plástico desenvolvido durante a deformação plástica, ou seja:

$$\dot{k} = \{\sigma\}\{\dot{\varepsilon}_p\} \quad \text{ou} \quad dk = \sigma_1 d\varepsilon_{1p} + \sigma_2 d\varepsilon_{2p} + \dots + \sigma^T d\varepsilon_p \quad (3.18)$$

ou alternativamente pode ser expresso em termos da deformação plástica efetiva, como:

$$\dot{k} = \sigma_y \dot{\varepsilon}_p \quad (3.19)$$

substituindo-se a regra de fluxo, equação (3.5) em (3.18), tem-se:

$$\dot{k} = \dot{\lambda} \{\sigma\}^T \{a\} \quad (3.20)$$

agora, substituindo-se (3.20) em (3.9) elimina-se  $\dot{\lambda}$  da definição de A, ou seja:

$$A = - \frac{\partial F}{\partial k} \{\sigma\}^T \{a\} \quad (3.21)$$

que é explicitamente determinado se é conhecida a relação entre F e k.

Uma definição de A no contexto de ensaio uniaxial do material também é possível. Para tanto começa-se redefinindo F( $\{\sigma\}$ , k), ou seja:

$$F(\{\sigma\}, k) = f(\{\sigma\}) - \sigma_y(k) = \bar{\sigma} - \sigma_y(k) = 0 \quad (3.22)$$

de modo que:

$$\frac{\partial F}{\partial k} = - \frac{\sigma_y}{k} \quad (3.23)$$

logo:

$$A = \frac{\sigma_y}{k} \{a\}^T \{a\} \quad (3.24)$$

Analizando o diagrama tensão-deformação para carregamento uniaxial, Figura 3.4, conclui-se que  $\sigma_y$  pode ser definido da seguinte forma:

$$\sigma_y = \sigma_y^0 + H' \dot{\varepsilon}_p \quad (3.25)$$

onde:  $\sigma_y^0$  é a resistência ao escoamento antes do início do fluxo plástico;  $\dot{\varepsilon}_p$  é a medida escalar da deformação plástica total ou efetiva e  $H'$  é a taxa  $\frac{\sigma_y}{\dot{\varepsilon}_p}$  que representa a inclinação da contribuição de deformação *hardening* à curva tensão-deformação depois de eliminada a contribuição de deformação elástica. Para plasticidade perfeita  $H'$  é zero.

Por outro lado,  $H'$  pode ser calculado a partir dos módulos de elasticidade  $E$  e tangente  $E_T$ , conforme Figura 3.4, a saber:

$$H' = \frac{E_T}{1 - E_T/E} \quad (3.26)$$

O teorema de Euler para funções homogêneas assegura que:

$$\left\{ \frac{\partial f}{\partial \sigma} \right\}^T \{a\} = f(\{a\}) \quad (3.27)$$

que aplicada à equação (3.22) resulta em:

$$\{a\}^T \{a\} = \sigma_y \quad (3.28)$$

Finalmente, substituindo-se as equações (3.28) e (3.19) juntamente com a identidade  $\sigma = H' \dot{\epsilon}_p$  na equação (3.23) teremos:

$$A = \frac{H' \dot{\epsilon}_p}{\sigma_y \dot{\epsilon}_p} \sigma_y \quad (3.29)$$

ou

$$A = H' \quad (3.30)$$

Uma introspecção a mais sobre a natureza de  $\lambda$  pode ser obtida aplicando-se as equações (3.19) e (3.28) na equação (3.20), ou seja:

$$k = \lambda \{\sigma\}^T \{a\} \Rightarrow \sigma_y \dot{\epsilon}_p = \lambda \sigma_y \Rightarrow \lambda = \dot{\epsilon}_p \quad (3.31)$$

### 3.3 Critério de Escoamento Para Aplicações Numéricas

A formulação mais adequada para implementação numérica dos critérios de escoamento em computador é através dos invariantes de tensões, a qual deve-se a Nayak [45]. Sua principal vantagem é permitir a codificação em computador da função escoamento e a regra de fluxo de forma genérica, necessitando tão somente a especificação de três constantes  $C_1$ ,  $C_2$  e  $C_3$  para cada critério [38].

Os invariantes de tensão em notação indicial [38], são definidos da seguinte maneira:

$$J_1 = \sigma_{kk} \quad (3.32)$$

$$J_2 = \frac{1}{2} \sigma_{ij} \dot{\sigma}_{ij} \quad (3.33)$$

$$J_3 = \frac{1}{3} \sigma_{ij} \sigma_{jk} \sigma_{ki} \quad (3.34)$$

onde  $\sigma_{ij}$  são os componentes desviatórios do tensor de tensões, definidos como:

$$\sigma_{ij} = \sigma_{ij} - \frac{J_1}{3} \delta_{ij} \quad (3.35)$$

Podemos ainda usar o invariante de tensão  $\theta$  ao invés de  $J_3$ , que é definido da seguinte forma:

$$\operatorname{sen} 3\theta = -\frac{3\sqrt{3}}{2} \frac{J_3}{(J_2)^{3/2}} \quad (3.36)$$

Os desviatórios de tensões  $\sigma_1$ ,  $\sigma_2$  e  $\sigma_3$  podem ser obtidos através das raízes da seguinte equação cúbica [47]:

$$t^3 - J_2 t - J_3 = 0 \quad (3.37)$$

que por intermédio de identidades trigonométricas pode-se escrevê-la como:

$$\operatorname{sen}^3 \theta - \frac{3}{4} \operatorname{sen} \theta + \frac{1}{4} \operatorname{sen} 3\theta = 0 \quad (3.38)$$

Usando  $t = r \operatorname{sen} \theta$  na equação (3.37), teremos:

$$\operatorname{sen}^3 \theta - \frac{J_2}{r^2} \operatorname{sen} \theta - \frac{J_3}{r^3} = 0 \quad (3.39)$$

Comparando a equação (3.38) com a equação (3.39), concluímos que:

$$r = \frac{2}{\sqrt{3}} (J_2)^{1/2} \quad (3.40)$$

e

$$\operatorname{sen} 3\theta = -\frac{4J_3}{r^3} = -\frac{3\sqrt{3}}{2} \frac{J_3}{(J_2)^{3/2}} \quad (3.41)$$

A primeira raiz da equação (3.41), com  $\theta$  determinado a partir de  $3\theta$  no intervalo  $\pm \pi/2$ , fornece uma alternativa conveniente para o terceiro invariante  $J_3$ . Como  $\operatorname{sen}(3\theta + 2n\pi)$  é periódica temos três, e somente três, valores possíveis para  $\operatorname{sen}\theta$  que definem as três tensões principais. As tensões principais desviatórias são obtidas a partir da equação  $t = r \operatorname{sen}\theta$  através da

substituição dos três valores de  $\sin\theta$  no intervalo. Substituindo-se  $r$ , definido pela equação (3.40), e adicionando-se as componentes de tensão hidrostática principais do meio obtém-se as tensões principais totais, ou seja:

$$\begin{bmatrix} \sigma_1 \\ \sigma_2 \\ \sigma_3 \end{bmatrix} = \frac{2(J_2)^{1/2}}{\sqrt{3}} \begin{Bmatrix} \sin\left(\theta + \frac{2\pi}{3}\right) \\ \sin\theta \\ \sin\left(\theta + \frac{4\pi}{3}\right) \end{Bmatrix} + \frac{J_1}{3} \begin{Bmatrix} 1 \\ 1 \\ 1 \end{Bmatrix} \quad (3.42)$$

com  $\sigma_1 > \sigma_2 > \sigma_3$  e  $-\frac{\pi}{6} \leq \theta \leq \frac{\pi}{6}$ .

### 3.3.1 Determinação do Vetor Fluxo {a}

Em condições de deformações no plano, onde  $\sigma_{13} = \sigma_{23} = 0$  o vetor fluxo {a} é dado por:

$$\{a\}^T = \left\{ \frac{\partial F}{\partial \sigma_{11}}, \frac{\partial F}{\partial \sigma_{22}}, \frac{\partial F}{\partial \sigma_{12}}, \frac{\partial F}{\partial \sigma_{33}} \right\} \quad (3.43)$$

onde  $\sigma_{33}$  é a componente de  $\{\sigma\}$  fora do plano.

A maneira mais conveniente para o cálculo de {a} em função dos invariantes de tensões é obtida por intermédio da seguinte equação:

$$\{a\}^T = \frac{\partial F}{\partial \{\sigma\}} = \frac{\partial F}{\partial J_1} \left\{ \frac{\partial J_1}{\partial \{\sigma\}} \right\} + \frac{\partial F}{\partial (J_2)^{1/2}} \left\{ \frac{\partial (J_2)^{1/2}}{\partial \{\sigma\}} \right\} + \frac{\partial F}{\partial \theta} \left\{ \frac{\partial \theta}{\partial \{\sigma\}} \right\} \quad (3.44)$$

onde:

$$\left\{ \frac{\partial J_1}{\partial \{\sigma\}} \right\} = \left\{ \frac{\partial J_1}{\partial \sigma_{11}}, \frac{\partial J_1}{\partial \sigma_{22}}, \frac{\partial J_1}{\partial \sigma_{12}}, \frac{\partial J_1}{\partial \sigma_{33}} \right\},$$

formas similares são aplicáveis para:

$$\frac{\partial (J_2)^{1/2}}{\partial \{\sigma\}} \quad \text{e} \quad \frac{\partial \theta}{\partial \{\sigma\}}.$$

Como  $\theta$  não é definido explicitamente em função de  $\{\sigma\}$ , calcula-se  $\left\{ \frac{\partial \theta}{\partial \{\sigma\}} \right\}$

diferenciando-se a equação (3.41), de onde concluímos que:

$$\left\{ \frac{\partial \theta}{\partial \{\sigma\}} \right\} = -\frac{\sqrt{3}}{2 \cos 3\theta} \left[ \frac{1}{(J_2)^{3/2}} \left\{ \frac{\partial J_3}{\partial \{\sigma\}} \right\} - \frac{3J_3}{(J_2)^2} \left\{ \frac{\partial (J_2)^{1/2}}{\partial \{\sigma\}} \right\} \right] \quad (3.45)$$

agora substituindo-se  $J_3$  obtido da equação (3.41) na equação (3.45), teremos:

$$\left\{ \frac{\partial \theta}{\partial \{\sigma\}} \right\} = -\frac{\sqrt{3}}{2 \cos 3\theta} \left[ \frac{1}{(J_2)^{3/2}} \left\{ \frac{\partial J_3}{\partial \{\sigma\}} \right\} - \frac{\tan 3\theta}{(J_2)^{1/2}} \left\{ \frac{\partial (J_2)^{1/2}}{\partial \{\sigma\}} \right\} \right] \quad (3.46)$$

Resumindo, a aplicação da equação (3.46) na equação (3.44) fornece:

$$\{a\}^T = C_1 \left\{ \frac{\partial J_1}{\partial \{\sigma\}} \right\} + C_2 \left\{ \frac{\partial (J_2)^{1/2}}{\partial \{\sigma\}} \right\} + C_3 \left\{ \frac{\partial (J_3)^{1/2}}{\partial \{\sigma\}} \right\} \quad (3.47)$$

ou

$$\{a\} = C_1 \{a_1\} + C_2 \{a_2\} + C_3 \{a_3\} \quad (3.48)$$

De modo que:

$$\{a_1\}^T = \left\{ \frac{\partial J_1}{\partial \{\sigma\}} \right\} = \{1 \ 1 \ 0 \ 1\} \quad (3.49)$$

$$\{a_2\}^T = \left\{ \frac{\partial (J_2)^{1/2}}{\partial \{\sigma\}} \right\} = \frac{1}{2(J_2)^{1/2}} \{\sigma_{11} \ \sigma_{22} \ \sigma_{12} \ \sigma_{33}\} \quad (3.50)$$

$$\{a_3\}^T = \left\{ \frac{\partial (J_3)^{1/2}}{\partial \{\sigma\}} \right\} = \left\{ (\sigma_{22}\sigma_{33} + \frac{J_2}{3}) \ (\sigma_{11}\sigma_{33} + \frac{J_2}{3}) \ (-2\sigma_{33}\sigma_{12}) \ (\sigma_{11}\sigma_{22} - \sigma_{12}^2 + \frac{J_2}{3}) \right\} \quad (3.51)$$

$$C_1 = \frac{\partial F}{\partial J_1} \quad (3.52)$$

$$C_2 = \frac{\partial F}{\partial (J_2)^{1/2}} - \frac{\tan 3\theta}{(J_2)^{1/2}} \frac{\partial F}{\partial \theta} \quad (3.53)$$

$$C_3 = -\frac{\sqrt{3}}{2\cos 3\theta} \frac{1}{(J_2)^{3/2}} \frac{\partial F}{\partial \theta} \quad (3.54)$$

Nota-se que são necessárias apenas as constantes  $C_i$ ,  $i = 1,2,3$  para definir a superfície de escoamento, portanto conclui-se que só estes parâmetros escalares variam conforme a utilização dos diferentes critérios de escoamento.

### 3.3.2 Critérios de Escoamento em Função dos Invariantes de Tensão

Os critérios de escoamento em função de  $J_1$ ,  $J_2$  e  $\theta$  se apresentam da seguinte maneira [38]:

- **Critério de Escoamento de Tresca.**

Este critério é definido pela seguinte equação:

$$2(J_2)^{1/2} \cos \theta = \sigma_y(k) \quad (3.55)$$

onde  $\sigma_y(k)$  é a tensão de escoamento uniaxial;

- **Critério de escoamento de Von Mises.**

Este critério é definido pela seguinte equação:

$$\sqrt{3}(J_2)^{1/2} = \sigma_y(k) \quad (3.56)$$

- **Critério de escoamento de Mohr-Coulomb.**

Este critério é definido pela seguinte equação:

$$\frac{1}{3}J_1 \operatorname{sen}\phi + (J_2)^{1/2} \left( \cos\theta - \frac{1}{\sqrt{3}} \operatorname{sen}\theta \operatorname{sen}\phi \right) = c \cos\phi \quad (3.57)$$

onde  $c$  é a coesão e  $\phi$  é o ângulo de atrito interno do material;

- **Critério de escoamento de Drucker-Prager.**

Este critério é definido pela seguinte equação:

$$\alpha J_1 + (J_2)^{1/2} = k' \quad (3.58)$$

onde  $k'$  e  $\alpha$  são as propriedades do material relacionadas à coesão e ao ângulo de atrito interno do material respectivamente. Para deformações no plano podem ser calculadas por:

$$k = \frac{6c\cos\phi}{\sqrt{3}(3 - \sin\phi)} \quad \text{e} \quad \alpha = \frac{2\sin\phi}{\sqrt{3}(3 - \sin\phi)} \quad (3.59)$$

Analisa-se agora mais detalhadamente, do ponto de vista matemático, os critérios de Mohr-Coulomb e Hoek-Brown, este último ainda não equacionado nos termos que aqui apresenta-se para uso em regime elastoplástico, tal como já se encontram disponíveis na literatura os demais critérios.

### **3.4 Implementação do Critério de Mohr-Coulomb em Computador**

Este critério de escoamento é uma generalização da lei de ruptura por fricção de Coulomb (1773) definida pela seguinte equação:

$$\tau = c - \sigma \tan\phi$$

onde:

$\tau$  é a tensão de cisalhamento atuando no plano de ruptura da partícula;

$\sigma$  é a tensão normal atuando no plano de ruptura da partícula;

$c$  é a coesão do material e

$\phi$  é o ângulo de fricção interna do material.

Para utilização em mecânica de rochas na análise de estabilidade de escavações o critério de escoamento proposto por Mohr-Coulomb é mais adequado na sua abordagem tradicional que considera a compressão positiva, ou seja:

$$\tau = c + \sigma \tan\phi \quad (3.60)$$

Pode-se também equacioná-lo em função das tensões principais máxima e mínima, através da seguinte equação:

$$\sigma_{\max} = \sigma_c + \sigma_{\min} \tan\beta \quad \text{ou} \quad \sigma_1 = \sigma_c + \sigma_3 \tan\beta \quad (3.61)$$

onde  $\sigma_c$  é a resistência à compressão axial do material, dada por:  $\sigma_c = \frac{2 c \cos \phi}{1 - \sin \phi}$ ,

e  $\beta$  obedece a seguinte equação:  $\tan \beta = \tan^2 \left( 45^\circ + \frac{\phi}{2} \right)$ .

Portanto a equação (3.61) assume a seguinte forma:

$$\sigma_1 = \frac{2 c \cos \phi}{1 - \sin \phi} + \frac{1 + \sin \phi}{1 - \sin \phi} \sigma_3$$

onde:

$\sigma_1$  é a tensão principal máxima, responsável pela distorção;

$\frac{2 c \cos \phi}{1 - \sin \phi}$  é a constante de resistência do material;

$\frac{1 + \sin \phi}{1 - \sin \phi}$  é o coeficiente de fricção interna do material e

$\sigma_3$  é a tensão principal mínima, responsável pelo confinamento.

Graficamente a equação (3.61) representa uma reta tangente aos círculos das tensões principais máximas.

Utilizando as tensões principais  $\sigma_1 \geq \sigma_2 \geq \sigma_3$  com a compressão positiva, é mais conveniente escrever-se a equação (3.61) da seguinte forma:

$$(\sigma_1 - \sigma_3) + (\sigma_1 + \sigma_3) \sin \phi = 2 c \cos \phi$$

ou

$$F(\sigma_1, \sigma_3) = (\sigma_1 - \sigma_3) + (\sigma_1 + \sigma_3) \sin \phi - 2 c \cos \phi = 0 \quad (3.62)$$

Como as tensões máxima e mínima em função dos invariantes são obtidas através das equações (3.42), tem-se:

$$\sigma_1 = \frac{(J_2)^{1/2}}{\sqrt{3}} [\sqrt{3} \cos \theta - \sin \theta] + \frac{J_1}{3} \quad (3.63)$$

$$\sigma_3 = \frac{(J_2)^{1/2}}{\sqrt{3}} [-\sqrt{3} \cos \theta - \sin \theta] + \frac{J_1}{3} \quad (3.64)$$

adicionando-se (3.63) a (3.64) obtém-se:

$$(\sigma_1 + \sigma_3) = -\frac{2}{\sqrt{3}} (J_2)^{1/2} \sin \theta + \frac{2}{3} J_1 \quad (3.65)$$

por outro lado, subtraindo-se (3.64) de (3.63), tem-se:

$$(\sigma_1 - \sigma_3) = 2 \cos \theta (J_2)^{1/2} \quad (3.66)$$

Agora, substituindo-se as equações (3.65) e (3.66) em (3.62) e rearranjando-se os seus termos, obtém-se  $F$  em função dos invariantes  $J_1$ ,  $(J_2)^{1/2}$  e  $\theta$ , ou seja:

$$F(J_1, (J_2)^{1/2}, \theta) = \frac{J_1}{3} \sin \phi + (J_2)^{1/2} \left( \cos \theta - \frac{1}{\sqrt{3}} \sin \theta \sin \phi \right) - c \cos \phi = 0 \quad (3.67)$$

Por intermédio das equações (3.52) a (3.54) que fornecem as constantes necessárias para definir uma superfície de escoamento e manipulando-se matematicamente a equação (3.67) obtém-se as constantes necessárias para implementação do critério de Mohr-Coulomb em computador, ou seja:

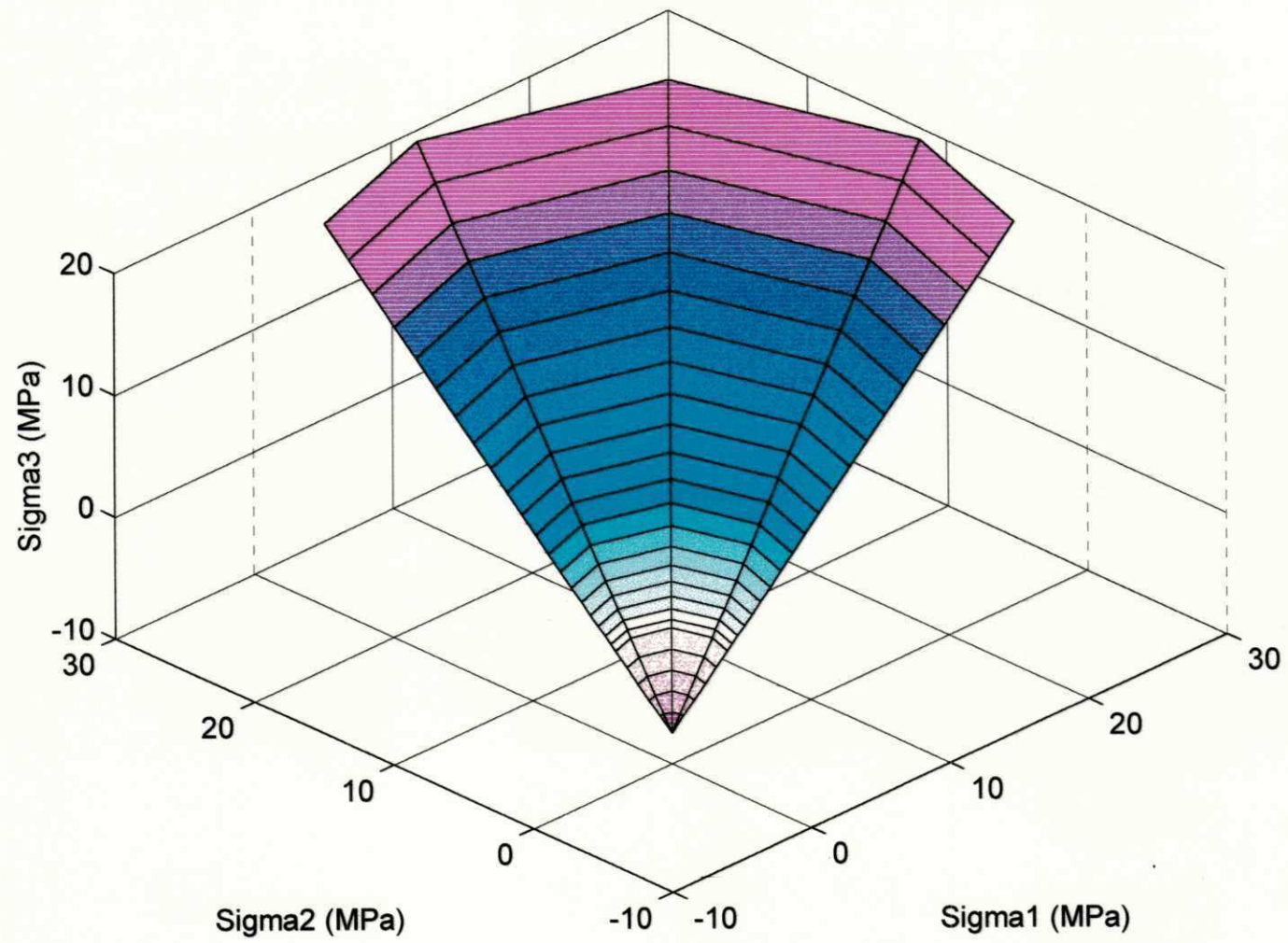
$$C_1 = \frac{1}{3} \sin \phi$$

$$C_2 = \cos \theta \left[ (1 + \tan \theta \tan 3\theta) + \sin \phi (\tan 3\theta - \tan \theta) / \sqrt{3} \right]$$

$$C_3 = \frac{(\sqrt{3} \sin \theta - \cos \theta \sin \phi)}{(2J_2 \cos 3\theta)}$$

A superfície de escoamento completa para este critério é obtida considerando-se todas as combinações de tensões possíveis de causar escoamento. No espaço de tensões principais a superfície de escoamento tem forma piramidal conforme mostra-se na Figura 3.5, cujos detalhes apresentam-se no anexo I.

**Superfície de Escoamento do Critério de Mohr-Coulomb no Espaço das Tensões Principais**



**Figura 3.5** Superfície de escoamento do critério de Mohr-Coulomb no espaço de tensões principais.

### Envoltórias do Critério de Mohr-Coulomb no Espaço das Tensões Principais

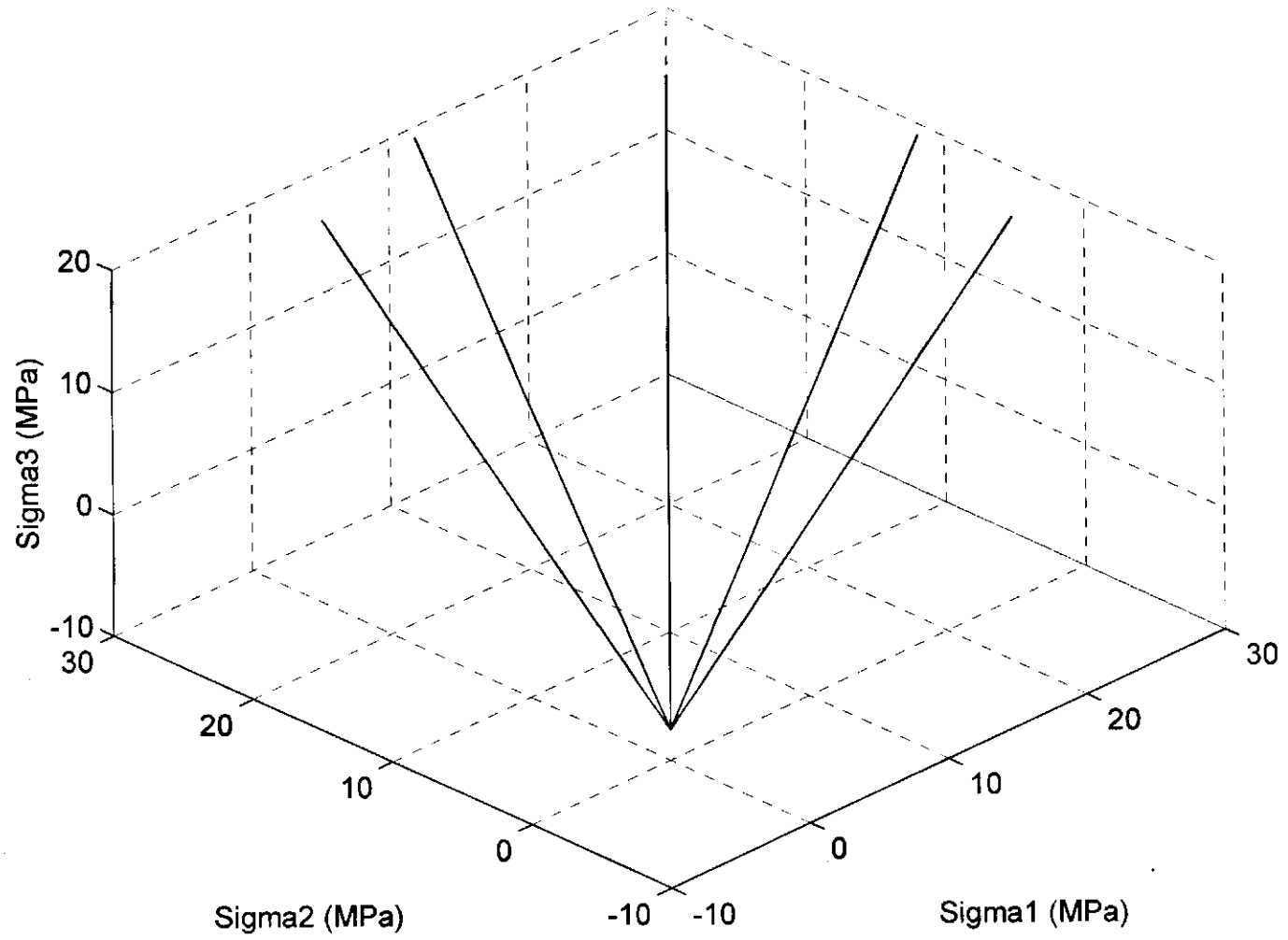


Figura 3. 6 Envoltória do critério de Mohr-Coulomb no espaço das tensões principais

### 3.5 Implementação do Critério de Hoek-Brown em Computador

O critério de escoamento de Hoek-Brown é definido pela seguinte equação:

$$\sigma_1 = \sigma_3 + \sqrt{m\sigma_c\sigma_3 + s\sigma_c^2} \quad (3.70)$$

onde:

$\sigma_1$  é a tensão principal máxima na ruptura;

$\sigma_3$  é a tensão principal mínima na ruptura;

$\sigma_c$  é a resistência à compressão da rocha intacta e

$m$  e  $s$  são parâmetros que dependem da qualidade do maciço rochoso, conforme visto no Capítulo 2.

Com raciocínio similar ao adotado para o critério de Mohr-Coulomb em relação à convenção de sinais (compressão positiva), e a partir da equação (3.70), obtém-se:

$$-\sigma_3 = -\sigma_1 + \sqrt{-m\sigma_c\sigma_1 + s\sigma_c^2} \quad \text{ou} \quad (\sigma_1 - \sigma_3)^2 + m\sigma_c\sigma_1 - s\sigma_c^2 = 0 \quad (3.71)$$

logo, a função escoamento terá a seguinte forma:

$$F(\sigma_1, \sigma_3) = (\sigma_1 - \sigma_3)^2 + m\sigma_c\sigma_1 - s\sigma_c^2 \quad (3.72)$$

Agora substituindo-se as equações (3.66) e (3.63) em (3.71) obtém-se  $F$  em função dos invariantes de tensão, ou seja:

$$\begin{aligned} F(J_1, (J_2)^{1/2}, \theta) &= 4 \cos^2 \theta [(J_2)^{1/2}]^2 + m\sigma_c \cos \theta (J_2)^{1/2} \\ &- \frac{m\sigma_c}{\sqrt{3}} \sin \theta (J_2)^{1/2} + \frac{m\sigma_c}{3} J_1 - s\sigma_c^2 = 0 \end{aligned} \quad (3.73)$$

Dai obtém-se:

$$\frac{\partial F}{\partial J_1} = \frac{m\sigma_c}{3} \quad (3.74)$$

$$\frac{\partial F}{\partial (J_2)^{1/2}} = 8 \cos^2 \theta (J_2)^{1/2} + m\sigma_c \cos \theta - \frac{m\sigma_c}{\sqrt{3}} \sin \theta \quad (3.75)$$

$$\frac{\partial F}{\partial \theta} = -\cos \theta (J_2)^{1/2} \left[ 8 \sin \theta (J_2)^{1/2} + m\sigma_c \tan \theta + \frac{m\sigma_c}{\sqrt{3}} \right] \quad (3.76)$$

Finalmente substituindo-se estes valores nas equações (3.52) a (3.54) obtém-se:

$$C_1 = \frac{m\sigma_c}{3}$$

$$C_2 = \cos \theta \left[ 8(J_2)^{1/2}(\cos \theta + \sin \theta \tan 3\theta) + m\sigma_c(1 + \tan \theta \tan 3\theta) + \frac{m\sigma_c}{\sqrt{3}} (\tan 3\theta - \tan \theta) \right]$$

$$C_3 = \frac{\sqrt{3}}{2 \cos 3\theta} \frac{\cos \theta}{J_2} \left[ (8 \sin \theta (J_2)^{1/2}) + m\sigma_c \left( \tan \theta + \frac{\sqrt{3}}{3} \right) \right]$$

A superfície de escoamento para o critério de Hoek-Brown é obtida considerando-se todas as combinações de tensões possíveis de causar escoamento. No espaço de tensões principais a superfície de escoamento tem forma piramidal conforme mostra-se na Figura 3.6, cujos detalhes mostram-se no anexo I.

Superfície de Escoamento do Critério de Hoek-Brown no Espaço das Tensões Principais

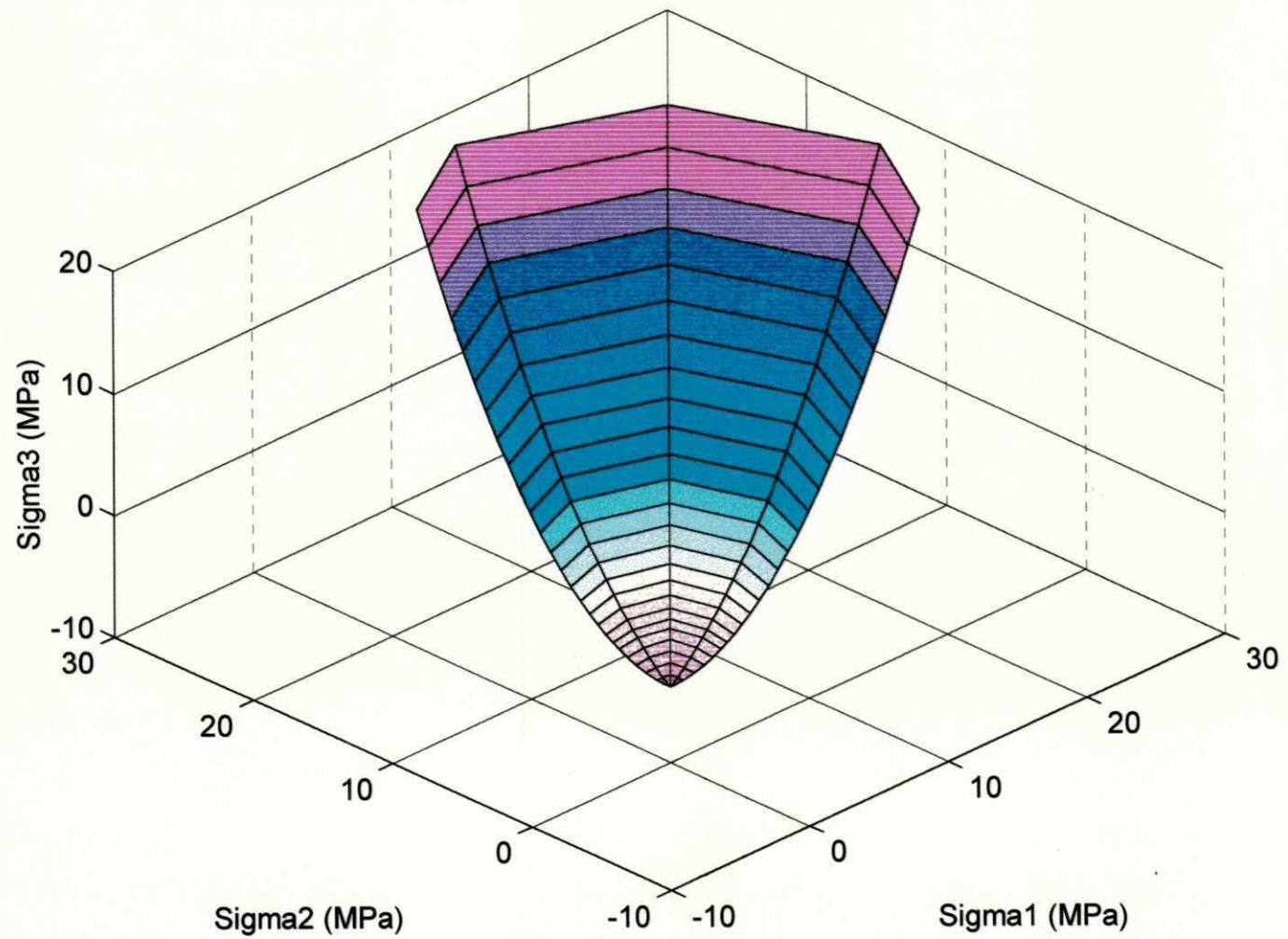
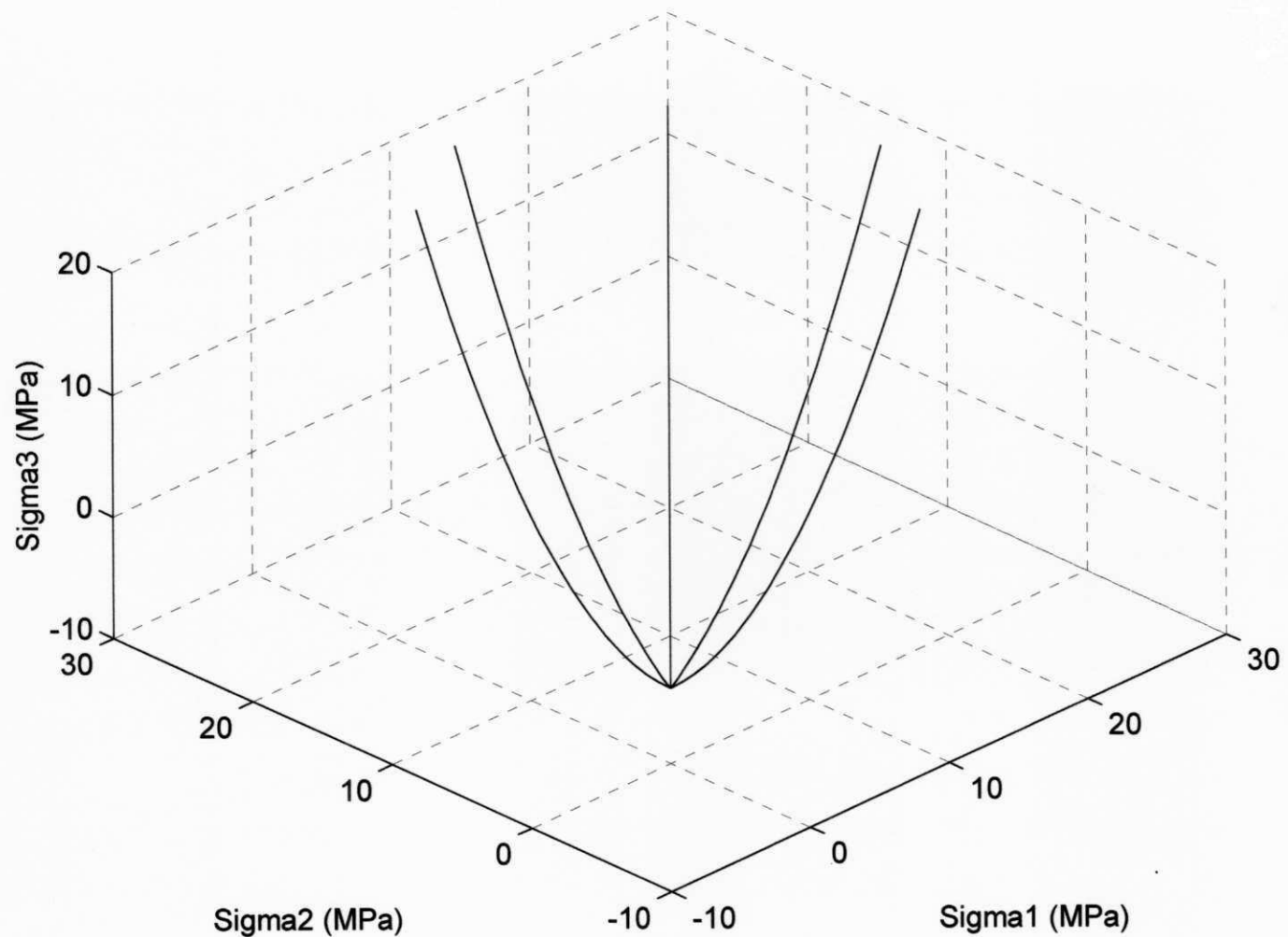


Figura 3.7 Superfície de escoamento do critério de Hoek-Brown no espaço de tensões principais.

**Envoltória do Critério de Hoek-Brown no Espaço das Tensões Principais**



**Figura 3.8 Envoltória do critério de Hoek-Brown no espaço das tensões principais.**

## 4. VALIDAÇÃO DA IMPLEMENTAÇÃO

### 4.1. Introdução

Para validar a implementação do critério de Hoek-Brown em regime elastoplástico através de codificação pelo método de elementos finitos são usados exemplos clássicos referentes a pilares e túnel em escavações subterrânea.

As soluções obtidas serão analisadas através dos critérios de ruptura de Mohr-Coulomb, Hoek-Brown tangente, implementado anteriormente [3] e Hoek-Brown rigoroso implementado neste trabalho, ambos codificados através do método dos elementos finitos no programa de OWEN & HINTON, em linguagem FORTRAN [38].

Os parâmetros para comparação são: tensões máxima ( $\sigma_1$ ) e mínima ( $\sigma_3$ ), e fator de segurança. Estes parâmetros serão analisados em seção horizontal passando pelo centro do pilar. Similarmente, o caso do problema do túnel analisa-se as soluções em uma seção horizontal passando pelo seu centro. Optou-se por uma seção deste tipo por ser a mais crítica em termos de estabilidade para ambos os tipos de problema.

Para a definição de um problema mecânico típico são necessários os seguintes parâmetros: geometria do corpo, condições de contorno (carregamento e apoios) e propriedades de resistência e deformabilidade do material, as quais serão abordadas oportunamente.

## 4.2 Problemas sobre Pilares Longos

A tensão média em um pilar, usando-se o método das áreas de influência é obtida através da seguinte equação:

$$S_p = \gamma z \frac{A_t}{A_p} \quad (4.1)$$

onde  $\gamma$  é o peso específico médio da rocha sobrejacente,  $z$  é a profundidade da camada de rocha,  $A_t$  é a área total ou de influência do pilar e  $A_p$  é a área do pilar. Nota-se que  $\gamma z$  representa a componente vertical do campo de tensões virgens.

A geometria dos pilares apresenta as seguintes características: as dimensões  $W_p = 12,00$  m (largura do pilar) e  $W_o = 6,00$  m (largura da escavação) foram mantidas as mesmas para os dois pilares, ao passo que para  $H_p$  (altura do pilar) foram atribuídos os valores 12,00 m para o pilar 1 e 4,00 m para o pilar 2 representando um estado de menor e maior confinamento respectivamente.

O teto da escavação é representado por um pacote de rocha com 30 metros de espessura, sobre o qual é simulada a aplicação de uma carga representativa da tensão vertical ( $\sigma_v$ ), devido ao peso da rocha até a superfície.

As condições de contorno dizem respeito ao carregamento e pontos de apoio. A malha de elementos finitos, juntamente com a geometria do corpo, são mostradas na Figura 4.1, a mesma é constituída por 209 elementos com 4 nós cada um perfazendo um total de 240 nós, apresentando restrições em 40 nós da fronteira. Além destes dados, considerou-se também os dois tipos de rocha.

Como os domínios adotados são simétricos os problemas foram reduzidos a um quarto, com ganho significativo em termos de processamento.

As tensões que atuam no topo dos pilares não são uniformes, e de acordo com a equação (4.1) e a geometria do problema adotada aqui, assume o seguinte valor médio:

$$S_p = 1,5\sigma_v \quad (4.2)$$

Simula-se a tensão vertical  $\sigma_v$  em quatro incrementos, cujos valores obtidos por tentativas, permitiram  $S_p$  atingir os valores máximos toleráveis pelos pilares.

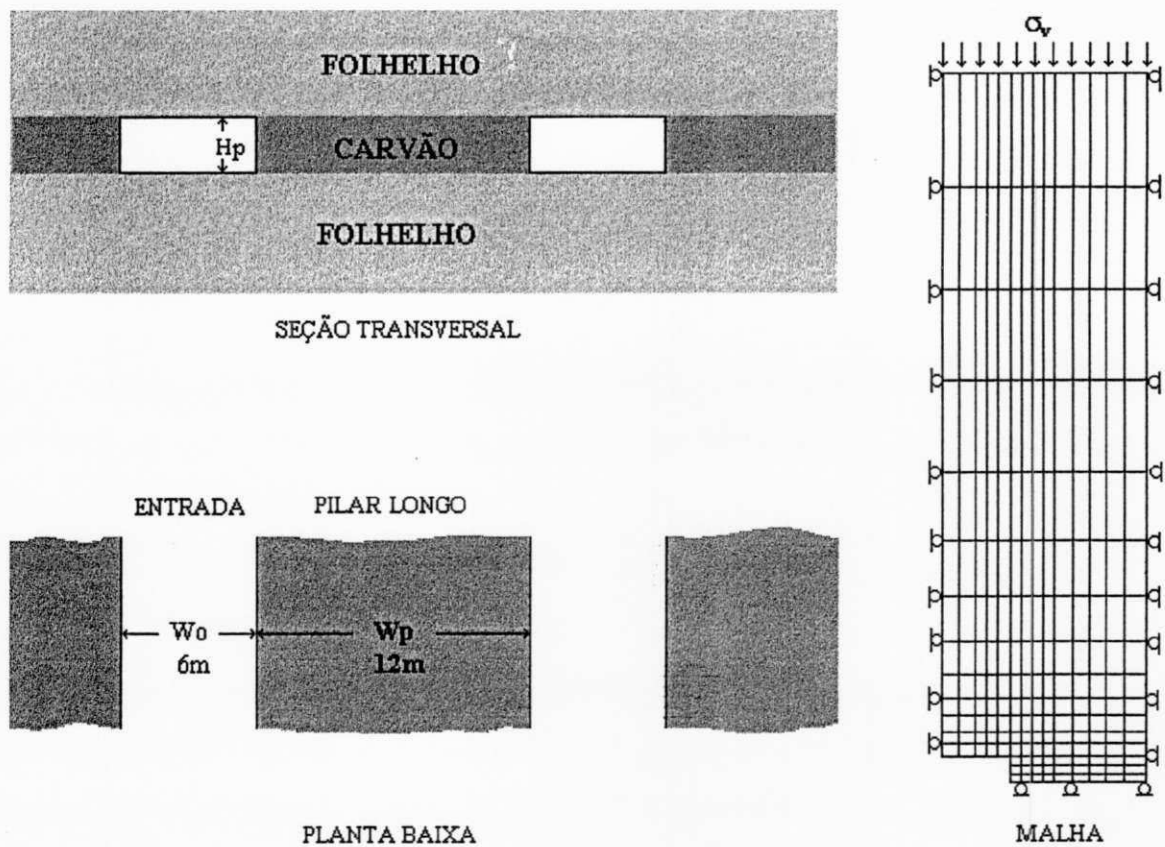


Figura 4.1 Corte, planta baixa e malha de elementos finitos dos pilares [51].

Em função das restrições ao deslocamento lateral impostas pelo modelo, a tensão horizontal ( $\sigma_h$ ) do campo de tensões virgens é dada por [6]:

$$\sigma_h = \frac{\nu}{1-\nu} \sigma_v \quad (4.3)$$

sendo  $\nu$  o coeficiente de Poisson.

Considera-se a resistência à compressão do carvão como sendo a resistência do maciço, ou seja,  $\sigma_M = 6,412$  MPa. O ângulo de atrito interno utilizado aqui é típico recomendado na literatura [48, 49], ou seja,  $\phi = 28^\circ$ . Substituindo-se estes valores na equação (2.4) do Capítulo 2 obtém-se para a

#### 4.2.1 Pilar 1 Incremento de carga 1 (3,0 MPa)

Para o pilar 1.1 observa-se, a partir da Figura 4.2, compatibilidade total entre os valores das tensões principais máxima ( $\sigma_1$ ) e mínima ( $\sigma_3$ ), representadas na legenda por S1 e S3 respectivamente, para os critérios Hoek-Brown rigoroso (HB), Hoek-Brown tangente (HBt) e Mohr-Coulomb (MC).

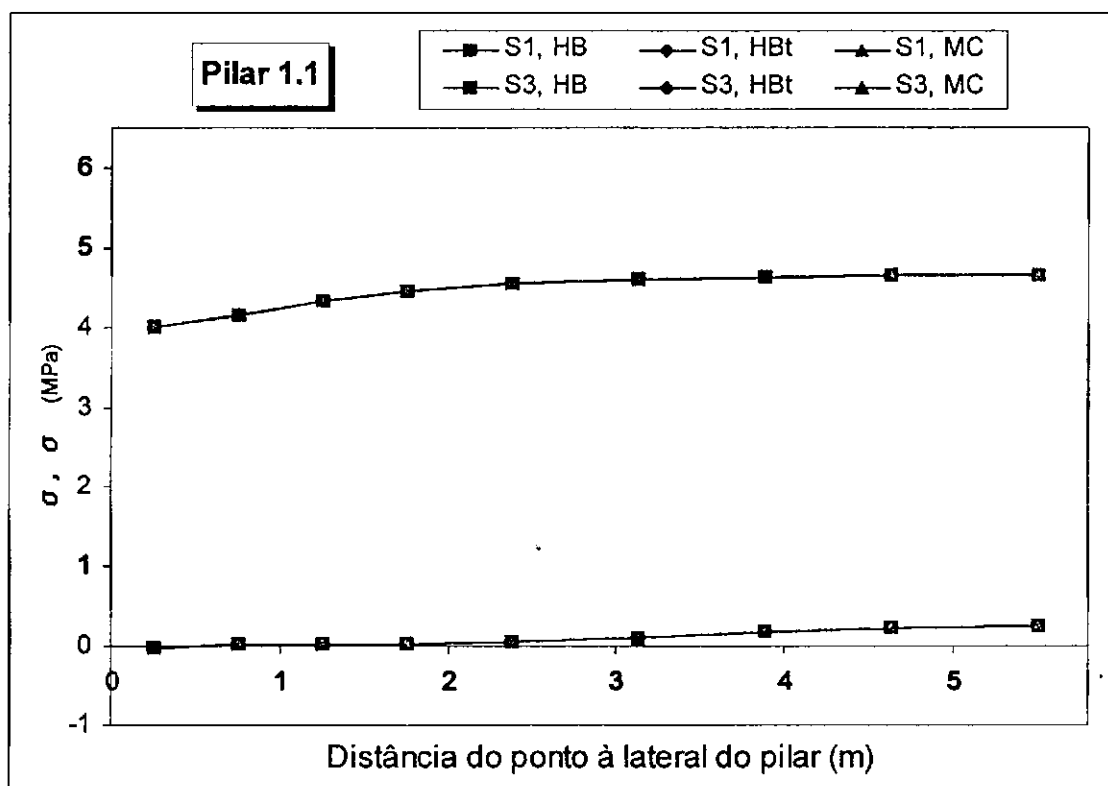


Figura 4.2. Distribuição das tensões máximas ( $\sigma_1$ ) e mínimas ( $\sigma_3$ ) através do pilar 1.1.

Por outro lado, a partir da Figura 4.3 a seguir, observa-se coincidência nos fatores de segurança para os critérios de Mohr-Coulomb ( $F_s$ , MC) e Hoek-Brown tangente ( $F_s$ , HBt), ao passo que observa-se uma variação do mesmo parâmetro entre 0,14 e 0,19 a mais para o critério de Hoek-Brown rigoroso ( $F_s$ , HB) em relação aos outros dois critérios, ou seja, uma variação média uniforme de 11%.

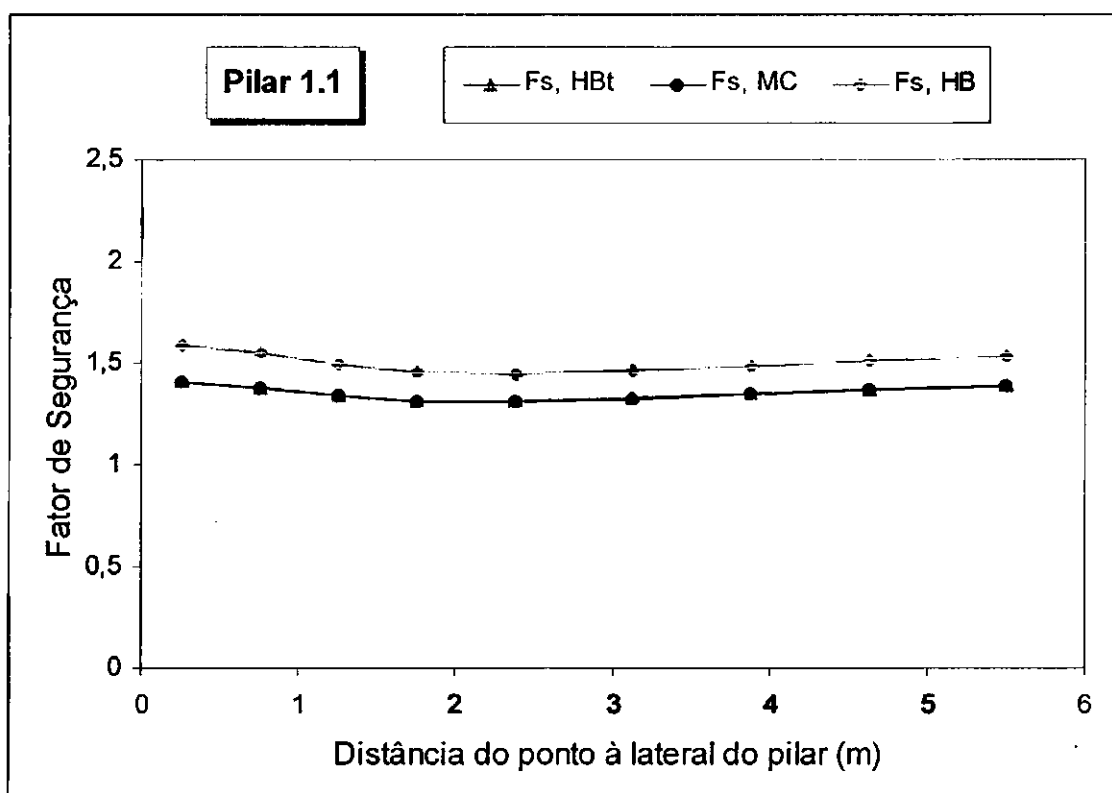


Figura 4.3. Distribuição do fator de segurança através do pilar 1.1.

#### 4.2.2 Pilar 1 Incremento de carga 3 (5,0 MPa)

Para o pilar 1.3 observa-se, a partir da Figura 4.4, uma compatibilidade excelente no que se refere à distribuição das tensões principais máxima e mínima através do pilar, representadas na legenda por S1 e S3 respectivamente, referente aos três critérios. Apresentando discrepância máxima entre os critérios de Hoek-Brown tangente (HBt) e Mohr-Coulomb (MC) em relação ao critério de Hoek-Brown rigoroso (HB) em torno de 0,15 MPa ou aproximadamente 2% a mais para os critérios Hoek-Brown rigoroso e Mohr-Coulomb em relação ao Hoek-Brown tangente.

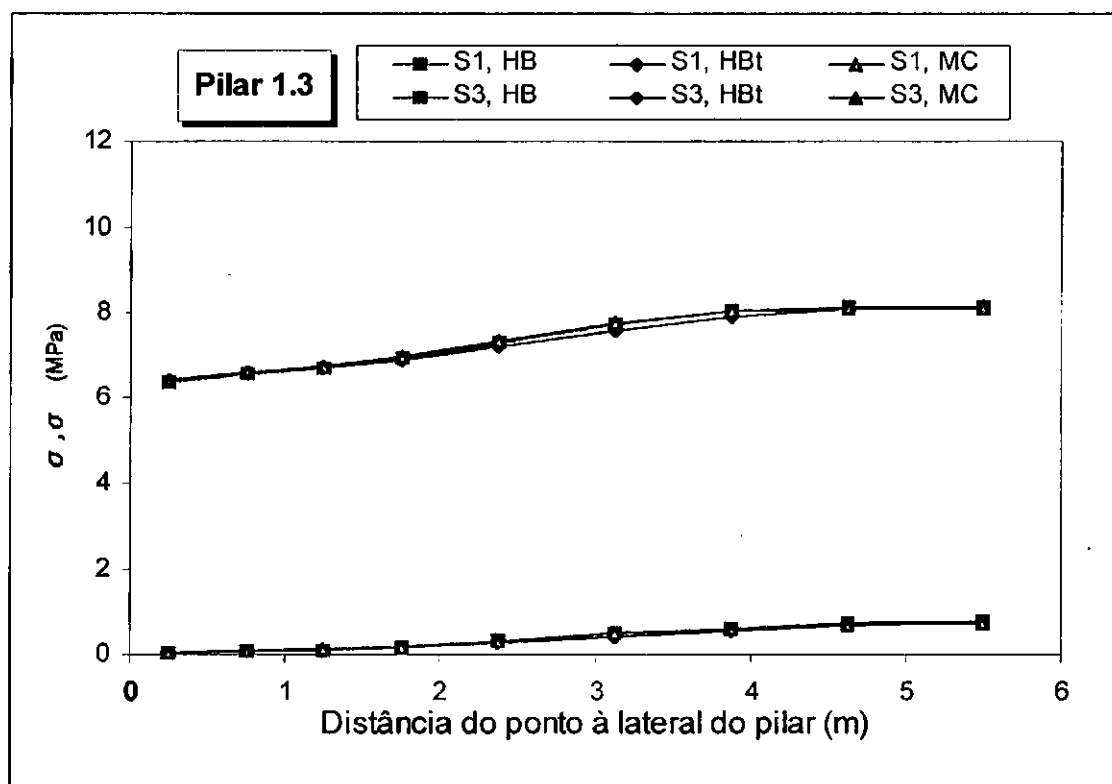


Figura 4.4. Distribuição das tensões máximas ( $\sigma_1$ ) e mínimas ( $\sigma_3$ ) através do pilar 1.3.

coesão o valor 1,926 MPa. Por outro lado, através da equação (2.3) do Capítulo 2 obtém-se  $\tan\beta_M = 2,770$ .

Considerando  $\sigma_M$  como propriedade de resistência em substituição a  $\sigma_c$ , o parâmetro  $s$  da equação (2.5), Capítulo 2, deve assumir o valor 1. Substituindo-se os valores  $\tan\beta_M = 2,770$  e  $s = 1$  na equação (2.16), Capítulo 2 tem-se  $m = 3,54$ . Estes dados são suficientes para caracterização da envoltória do critério de ruptura de Hoek-Brown.

Procedendo da mesma forma obtém-se os parâmetros para o pacote de rocha (folhelho) que constitui teto e piso da escavação, ou seja:  $\sigma_M = 13,856$  MPa,  $\phi = 30^\circ$ ,  $c = 4,00$  MPa,  $\tan\beta_M = 3,00$ ,  $s = 1,00$  e  $m = 4,00$ .

As propriedades de deformabilidade foram obtidas através da literatura [48, 49], ou seja:  $E = 2800$  MPa e  $\nu = 0,3$  para o carvão, enquanto  $E = 9700$  MPa e  $\nu = 0,3$  para o folhelho.

A seguir são apresentados os resultados obtidos para os dois pilares, em dois incrementos de cargas para cada pilar, representativos do problema. Para o pilar 1 usou-se como incremento 1  $\sigma_v = 3,0$  MPa e como incremento 3  $\sigma_v = 5,0$  MPa, enquanto que para o pilar 2 usamos  $\sigma_v = 12,0$  MPa como incremento 1 e  $\sigma_v = 14,0$  MPa como incremento 2. Denominaram-se os gráficos da seguinte forma: pilar 1.1 para o pilar 1, incremento 1, pilar 1.2 para o pilar 1 incremento 2 e assim sucessivamente.

A seguinte notação é usada nas legendas dos problemas:

Fs, HBt - Fator de segurança para o critério de Hoek-Brown tangente.

Fs, HB - Fator de segurança para o critério de Hoek-Brown rigoroso.

Fs, MC - Fator de segurança para o critério de Mohr-Coulomb.

S1, HB - Tensão principal máxima para o critério de Hoek-Brown rigoroso.

S3, HB - Tensão principal mínima para o critério de Hoek-Brown rigoroso.

S1, HBt - Tensão principal máxima para o critério de Hoek-Brown tangente.

S3, HBt - Tensão principal mínima para o critério de Hoek-Brown tangente.

S1, MC - Tensão principal máxima para o critério de Mohr-Coulomb.

S3, MC - Tensão principal mínima para o critério de Mohr-Coulomb.

Por outro lado, na Figura 4.5, observa-se uma variação do fator de segurança entre 0,01 e 0,02 a mais para o critério de Hoek-Brown rigoroso ( $F_s$ , HB) em relação ao critério tangente ( $F_s$ , HBt), ou seja, uma variação percentual em torno de 1%, enquanto que para o critério de Mohr-Coulomb o fator de segurança ( $F_s$ , MC) se mantém numa faixa intermediária.

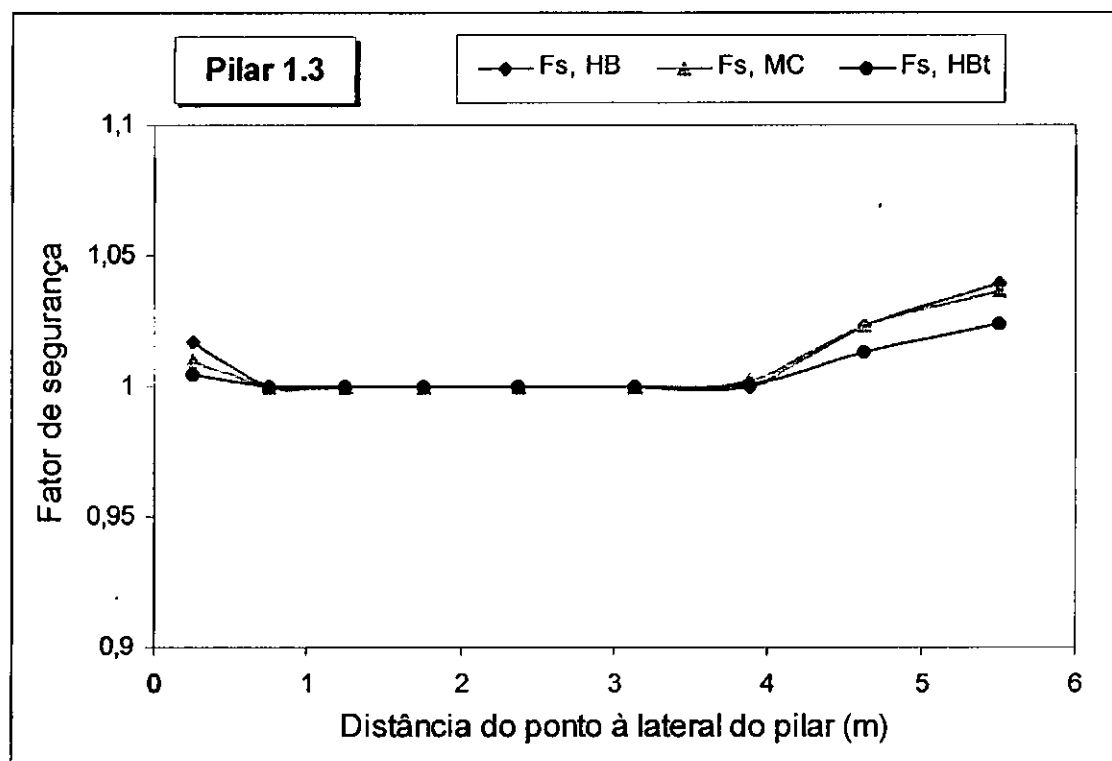


Figura 4.5. Distribuição do fator de segurança através do pilar 1.3.

Os resultados obtidos para o pilar 1 estão coerentes com a teoria apresentada na literatura especializada. Estes resultados mostram uma consistência muito boa em função das condições do pilar, ou seja, pelo fato de ser um pilar pouco confinado, em que a largura e a altura são iguais.

#### 4.2.3 Pilar 2 Incremento de carga 1 (12,0 MPa)

Para o pilar 2.1 observa-se, a partir da Figura 4.6, uma divergência de 0,90 MPa ou 7% a mais para a tensão máxima no critério de Hoek-Brown rigoroso (S1, HB) em relação ao tangente (S1, Hbt) a 1,75 metros da lateral do pilar (elemento 4), enquanto para a tensão mínima esta divergência foi de 0,41 MPa ou 16% na mesma posição, já com relação ao critério de Mohr-Coulomb observa-se uma divergência para menos na tensão máxima (S1, MC) de 8,04 MPa ou aproximadamente 37% a 2,37 metros da lateral do pilar (elemento 5) e 2,99 MPa ou cerca de 38% em relação a tensão mínima a 5,50 metros da lateral do pilar, próximo ao centro do mesmo (elemento 9).

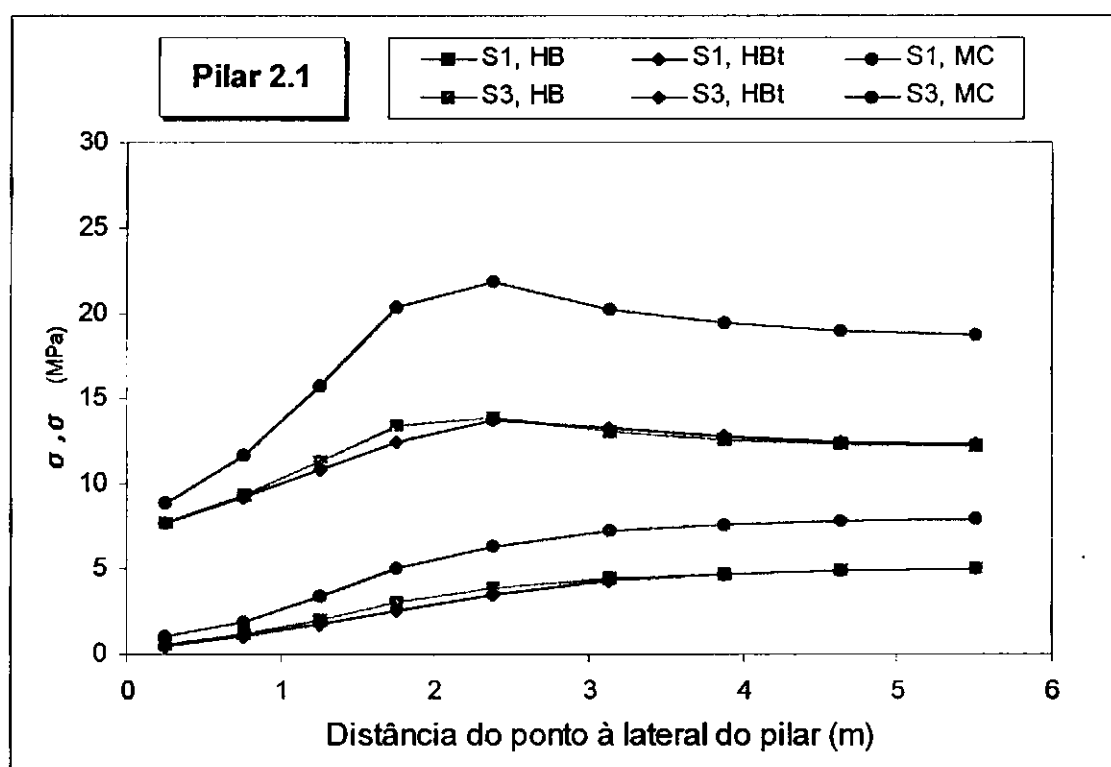


Figura 4.6. Distribuição das tensões máxima ( $\sigma_1$ ) e mínima ( $\sigma_3$ ) através do pilar 2.1.

Em relação ao fator de segurança, Figura 4.7, observa-se divergência a partir de 1,75 metros da lateral do pilar (elemento 4), atingindo um máximo de 0,18 a 5,50 metros, próximo ao centro do pilar (elemento 9) ou aproximadamente 11%, para o critério de Hoek-Brown rigoroso ( $F_s$ , HB) em relação ao critério de Mohr-Coulomb ( $F_s$ , MC), enquanto que para o critério de Hoek-Brown tangente ( $F_s$ , HBt) o fator de segurança se mantém numa faixa intermediária entre os outros dois.

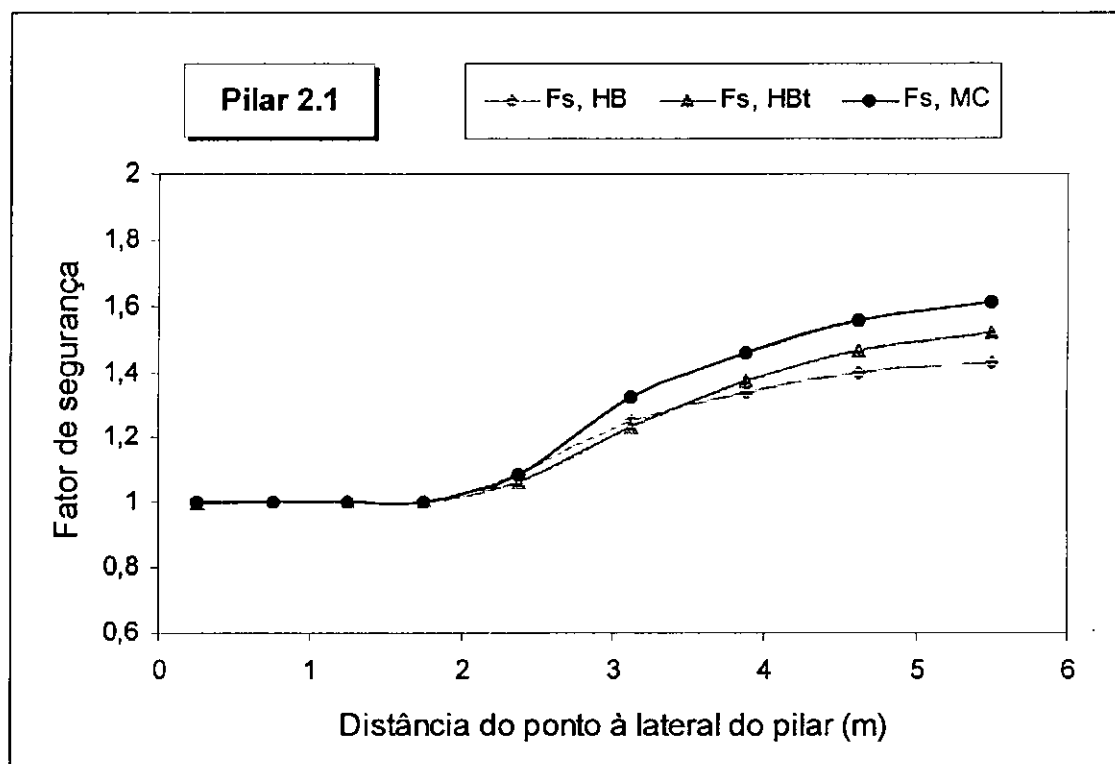


Figura 4.7. Distribuição do fator de segurança através do pilar 2.1.

#### 4.2.4 Pilar 2 Incremento de carga 2 (15,0 MPa)

Para o pilar 2.2 observa-se, a partir da Figura 4.8, uma divergência de 0,45 MPa ou aproximadamente 3% a mais para a tensão máxima no critério de Hoek-Brown rigoroso (S1, HB) em relação ao tangente (S1, Hbt) a 2,37 metros da lateral do pilar (elemento 5), enquanto que a tensão mínima (S3, HB) apresentou divergência de 0,47 MPa ou cerca de 10%, na mesma posição, já com relação ao critério de Mohr-Coulomb observa-se uma divergência para menos na tensão máxima (S1, MC) de 8,53 MPa ou aproximadamente 32% a 2,37 metros da lateral do pilar (elemento 5) e 2,82 MPa ou cerca de 30% na tensão mínima (S3, MC) a 5,50 metros (elemento 9), próximo ao centro do mesmo.

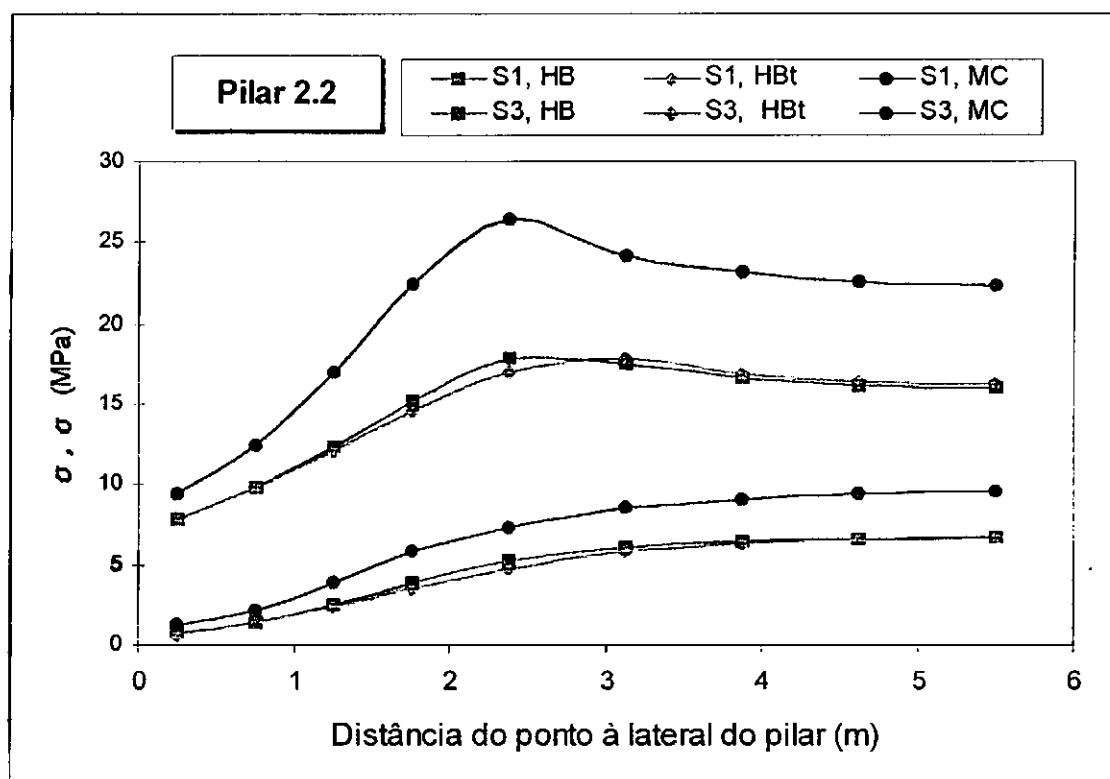


Figura 4.8. Distribuição das tensões máxima ( $\sigma_1$ ) e mínima ( $\sigma_3$ ) através do pilar 2.2.

O fator de segurança no pilar 2.2, Figura 4.9, apresenta divergência a partir de 1,75 metros de sua lateral (elemento 4), atingindo um máximo de 0,26 ou cerca de 17% para o critério de Hoek-Brown rigoroso ( $F_s$ , HB) em relação ao critério de Mohr-Coulomb ( $F_s$ , MC) a 5,50 metros, próximo ao seu centro (elemento 9), enquanto que para o critério de Hoek-Brown tangente o fator de segurança ( $F_s$ , HBt) se mantém numa faixa intermediária entre os outros dois, bastante próximo do critério rigoroso.

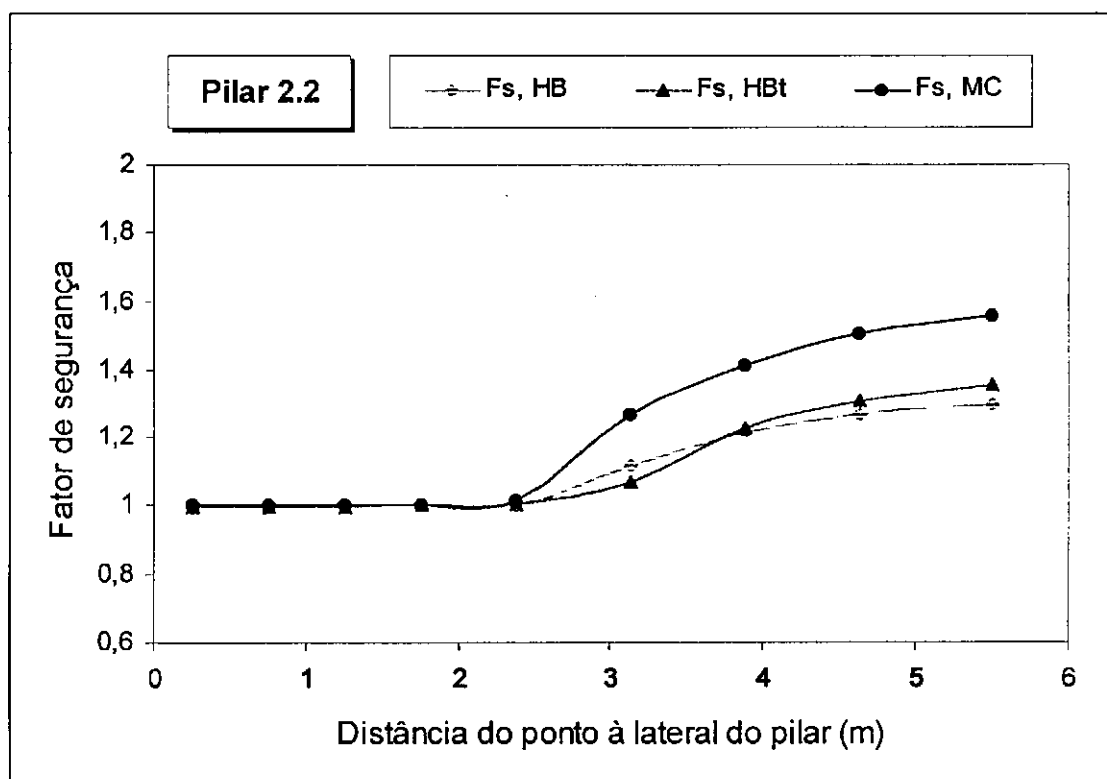


Figura 4.9. Distribuição do fator de segurança através do pilar 2.2.

Os dados obtidos para o pilar 2 estão de acordo com a literatura especializada que prever grandes divergências entre os critérios de ruptura de Mohr-Coulomb e Hoek-Brown, com o aumento no nível de confinamento, que neste caso é representado pela diferença entre largura e altura do pilar, visto que a largura é três vezes maior que sua altura.

#### **4.3 Problema do Túnel em Rocha Elastoplástica**

Este é um problema clássico de abertura de túnel em rocha com comportamento elastoplástico muito usado para validação de técnicas numéricas, [41, 50].

A geometria do problema é constituída por um túnel circular com raio de 10 pés (3,048 m), escavado (modelado) em um pacote de rocha elastoplástica, cujo raio é 10 vezes o raio do túnel.

A malha representativa do problema é constituída de 60 elementos com 8 nós cada um perfazendo um total de 213 nós, entre estes, 64 estão na fronteira dos quais 42 apresentam restrições. A malha juntamente com a geometria da escavação é mostrada na Figura 4.10.

Os parâmetros do problema são os seguintes: módulo de elasticidade  $E = 500000 \text{ PSI}$  ( $3.447,32 \text{ MPa}$ ), coeficiente de Poisson  $\nu = 0,2$ , coesão  $c = 280 \text{ PSI}$  ( $1,93 \text{ MPa}$ ), ângulo de atrito interno  $\phi = 30^\circ$ . De posse destes dados procede-se de forma similar ao feito para os pilares, obtendo-se  $\sigma_c = 969,95 \text{ PSI}$  ( $6,69 \text{ MPa}$ ),  $s = 1$  e  $m = 4$ , referente ao critério de Hoek-Brown, equação (3.70) do Capítulo 3.

Simula-se o túnel com dois incrementos de carga representativos do problema, usando para incremento 1 um fator de carga 0,50 e para o incremento 2 um fator de carga 1,00. Denominam-se os gráficos como: túnel 1.1 e túnel 1.2 para os incrementos de carga 1 e 2 respectivamente.

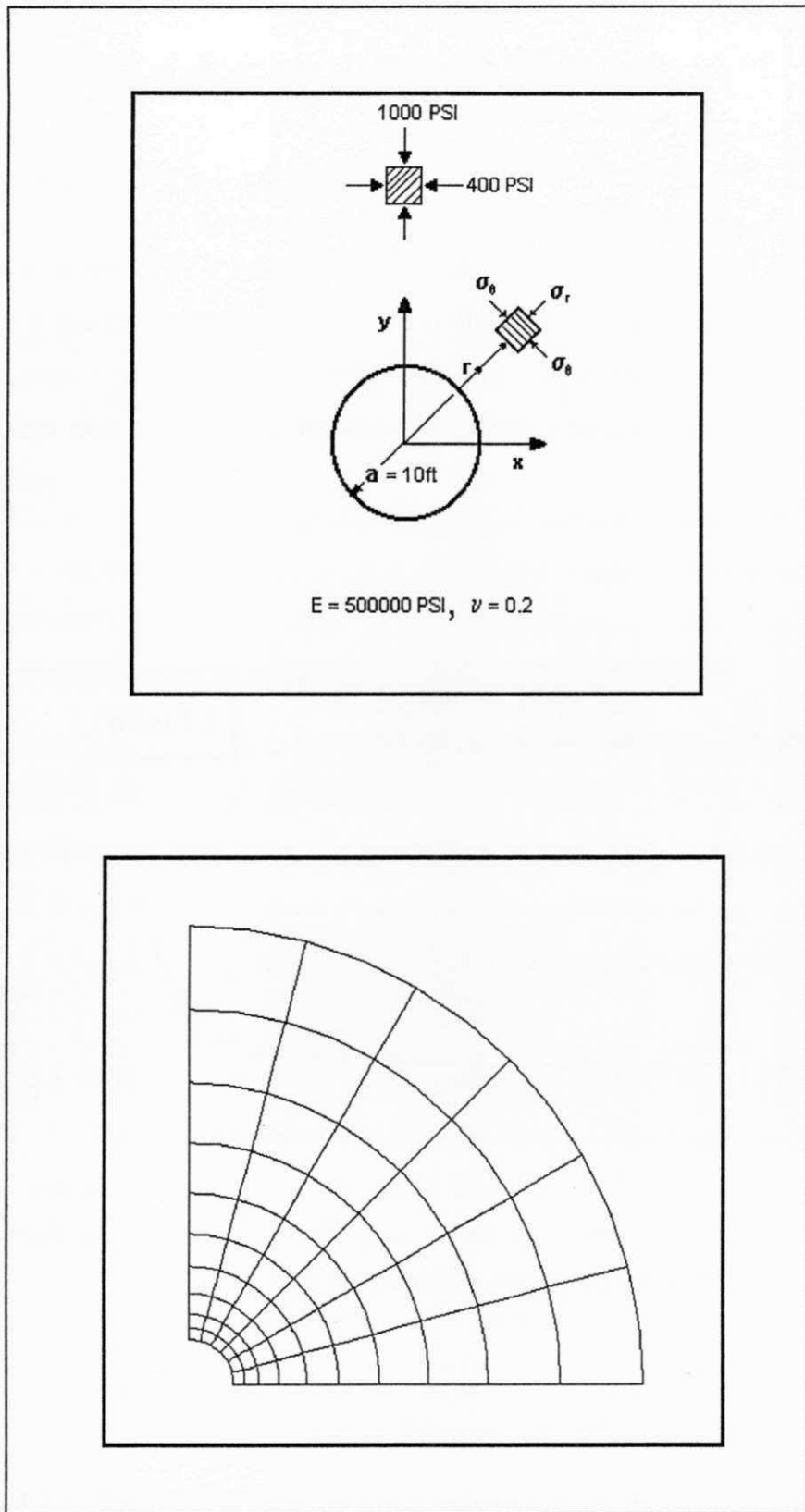


Figura 4. 10. Geometria e malha de elementos finitos para o túnel [41].

Apresentam-se a seguir os resultados obtidos para os problemas dos túneis.

#### 4.3.1 Túnel 1 Carregamento 1

Para o túnel 1 ( $\sigma_v = 500$  PSI (3,447 MPa) e  $\sigma_h = 200$  PSI (1,379 MPa)) observa-se, a partir da Figura 4.11, compatibilidade total entre os valores das tensões máxima e mínima para os três critérios utilizados. Este fato é coerente tendo em vista que a este nível de carregamento a escavação apresenta-se em regime elástico.

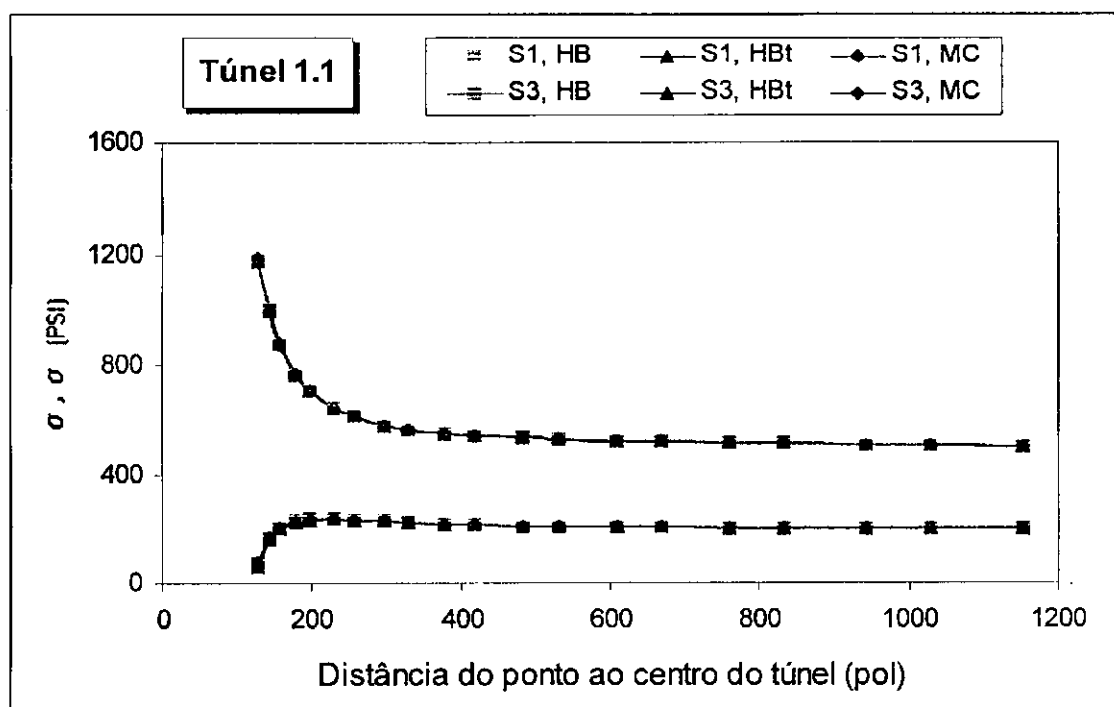


Figura 4.11. Distribuição das tensões máxima ( $\sigma_1$ ) e mínima ( $\sigma_3$ ) ao redor do túnel 1.1.

O fator de segurança para o túnel 1.1, Figura 4.12, apresenta uma discrepância máxima de 0,37 ou aproximadamente 11% para o critério de Hoek-Brown rigoroso ( $F_s$ , HB) em relação ao critério de Mohr-Coulomb ( $F_s$ , MC) que é praticamente coincidente com o critério de Hoek-Brown tangente ( $F_s$ , H<sub>Bt</sub>), divergindo no máximo em aproximadamente 0,44%.

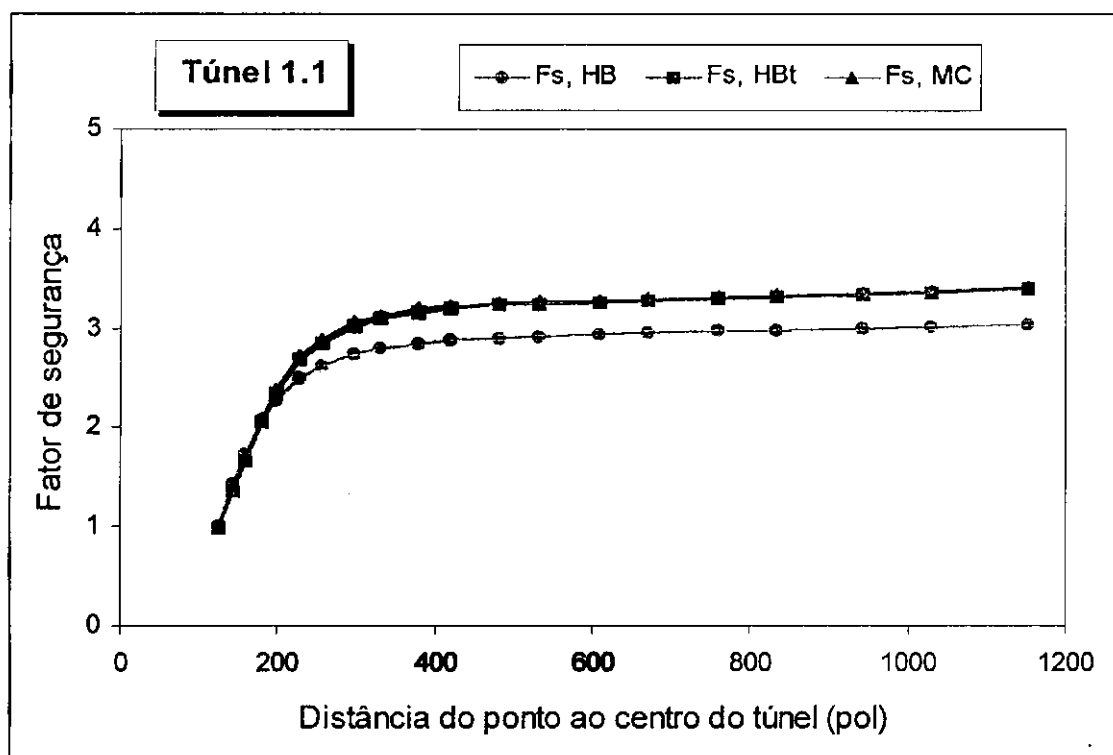


Figura 4.12. Distribuição do fator de segurança ao redor do túnel 1.1.

#### 4.3.2 Túnel 1 Carregamento 2

Para o túnel 2, ou seja, incremento de carga 2, ( $\sigma_v = 1000$  PSI (6,895 MPa) e  $\sigma_h = 400$  PSI (2,758 MPa)) observa-se, a partir da Figura 4.13, uma discrepância de 198,08 PSI (1,366 MPa) ou aproximadamente 9% a menos na tensão máxima para o critério Hoek-Brown rigoroso (S1, HB) em relação ao critério de Mohr-Coulomb (S1, MC) a 37,36 pol (94,89 cm) da lateral do túnel (elemento 3) e praticamente nenhuma em relação ao critério de Hoek-Brown tangente (S1, HBt), bem como em relação a tensão mínima relativamente aos três critérios. Esta discrepancia deve-se ao fato de o critério de Mohr-Coulomb exibir menor região plástica o que aumenta muito a tensão máxima próximo à superfície da escavação. Por outro lado, o critério de Hoek-Brown proporciona uma maior redistribuição de tensões (através de escoamento plástico).

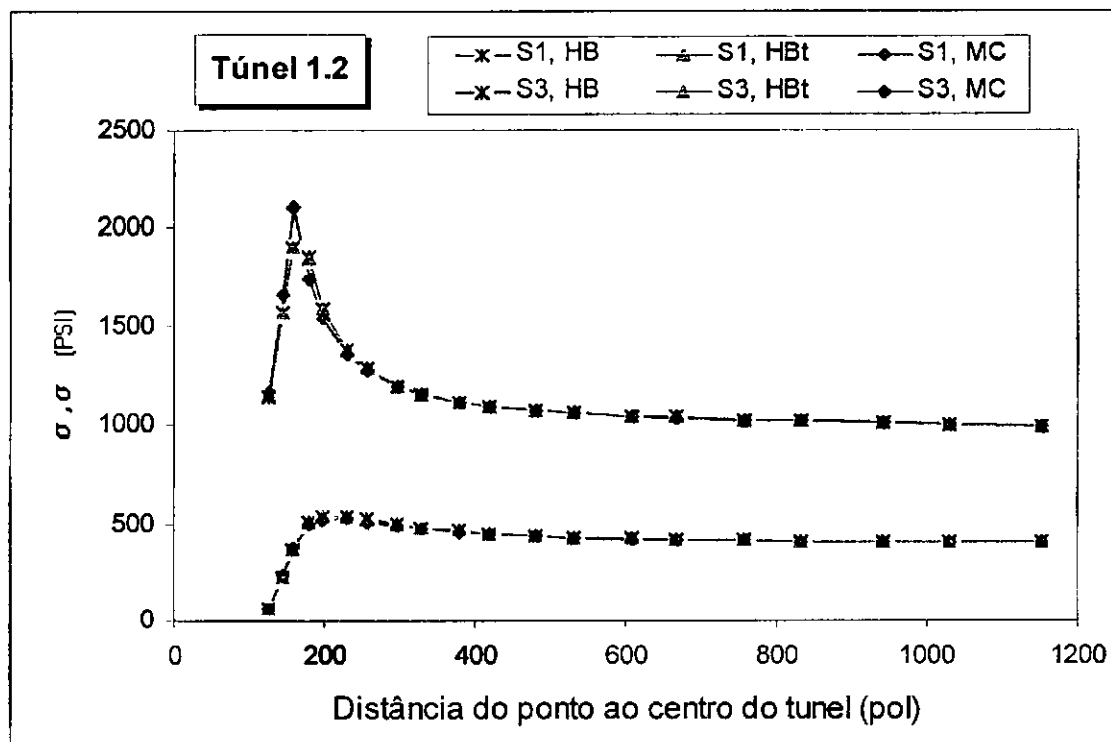


Figura 4.13. Distribuição das tensões máxima ( $\sigma_1$ ) e mínima ( $\sigma_3$ ) ao redor do túnel 1.2.

O fator de segurança referente ao túnel 1.2, Figura 4.14, apresenta divergência menor no critério de Hoek-Brown rigoroso ( $F_s$ , HB) em relação ao critério de Mohr-Coulomb ( $F_s$ , MC), a partir de 37,36 pol (94,89 cm) da lateral do túnel, ponto 3, atingindo um máximo a 1032,57 polegadas (26,23 m), ponto 20, de 0,33 ou aproximadamente 14%, enquanto que o método tangente situa-se numa faixa intermediária entre os outros dois.

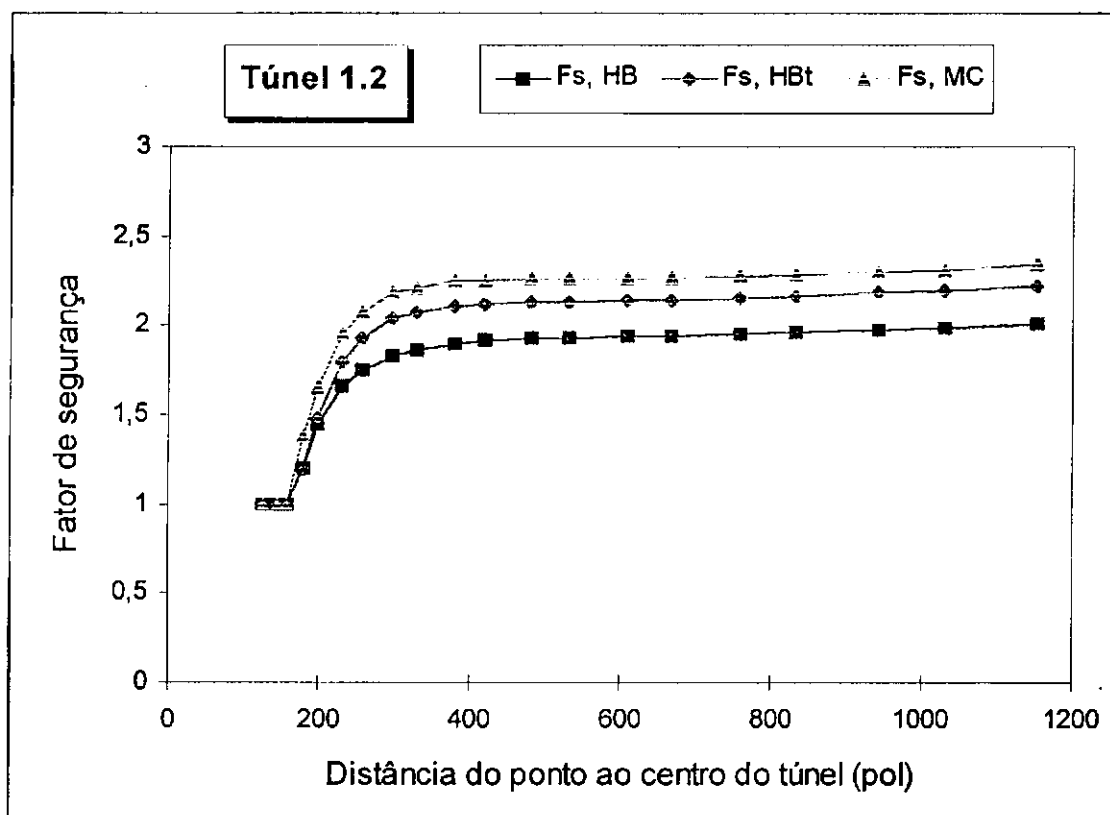


Figura 4.14. Distribuição do fator de segurança ao redor do túnel 1.2.

#### **4.3.3 Comparação entre Soluções Elásticas e Elastoplástica.**

A utilização de resultados baseados em soluções que assumem o comportamento puramente elástico do maciço rochoso é bastante generalizada para o dimensionamento de escavações subterrâneas. Observa-se entretanto que as escavações destinadas à extração de bens minerais geralmente exibem comportamento de pós-ruptura (modelo elastoplástico no presente estudo) em porções consideráveis do domínio de interesse.

Uma comparação entre os fatores de segurança de soluções baseadas em modelo elástico e no modelo elastoplástico aqui proposto se torna oportuna para o critério de Hoek-Brown, haja vista que este critério tem sido extensivamente adotado nas implementações de programas comerciais para análise de tensões associadas a escavações em rocha.

Vale ressaltar que fator de segurança igual a unidade sugere o estado limite de equilíbrio, quando menor que a unidade estado de ruptura e quando maior que a unidade sugere estabilidade.

Observa-se a seguir a comparação entre os modelos elástico e elastoplástico através do critério de Hoek-Brown, conforme as Figuras 4.15 e 4.16.

### Análise do Fator de Segurança em Rocha Elástica Através do Critério de Hoek-Brown

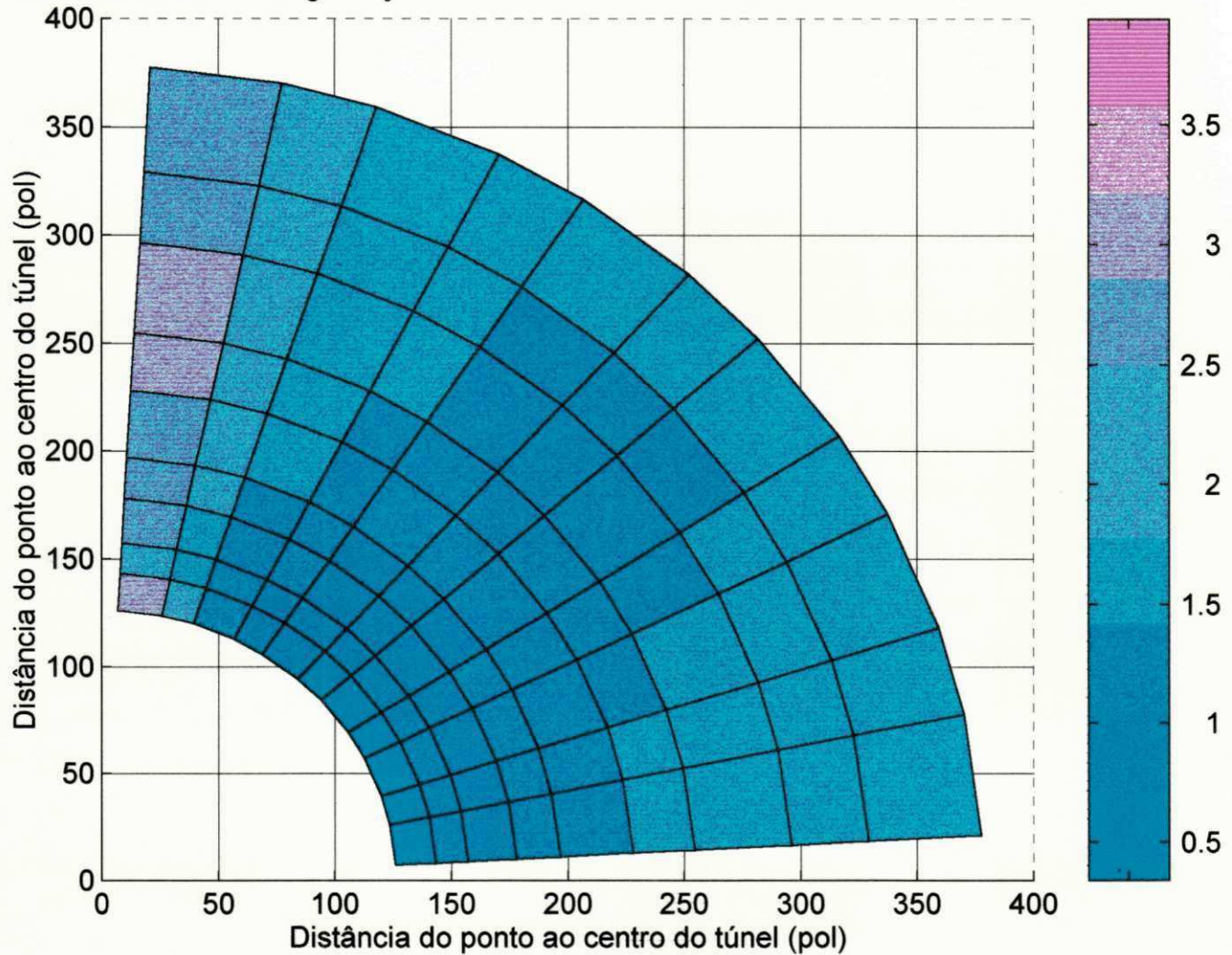


Figura 4.15. Fator de segurança ao redor do túnel, obtido através do critério de ruptura de Hoek-Brown rigoroso em solução elástica.

Análise do fator de segurança em rocha elastoplástica através do critério de Hoek-Brown

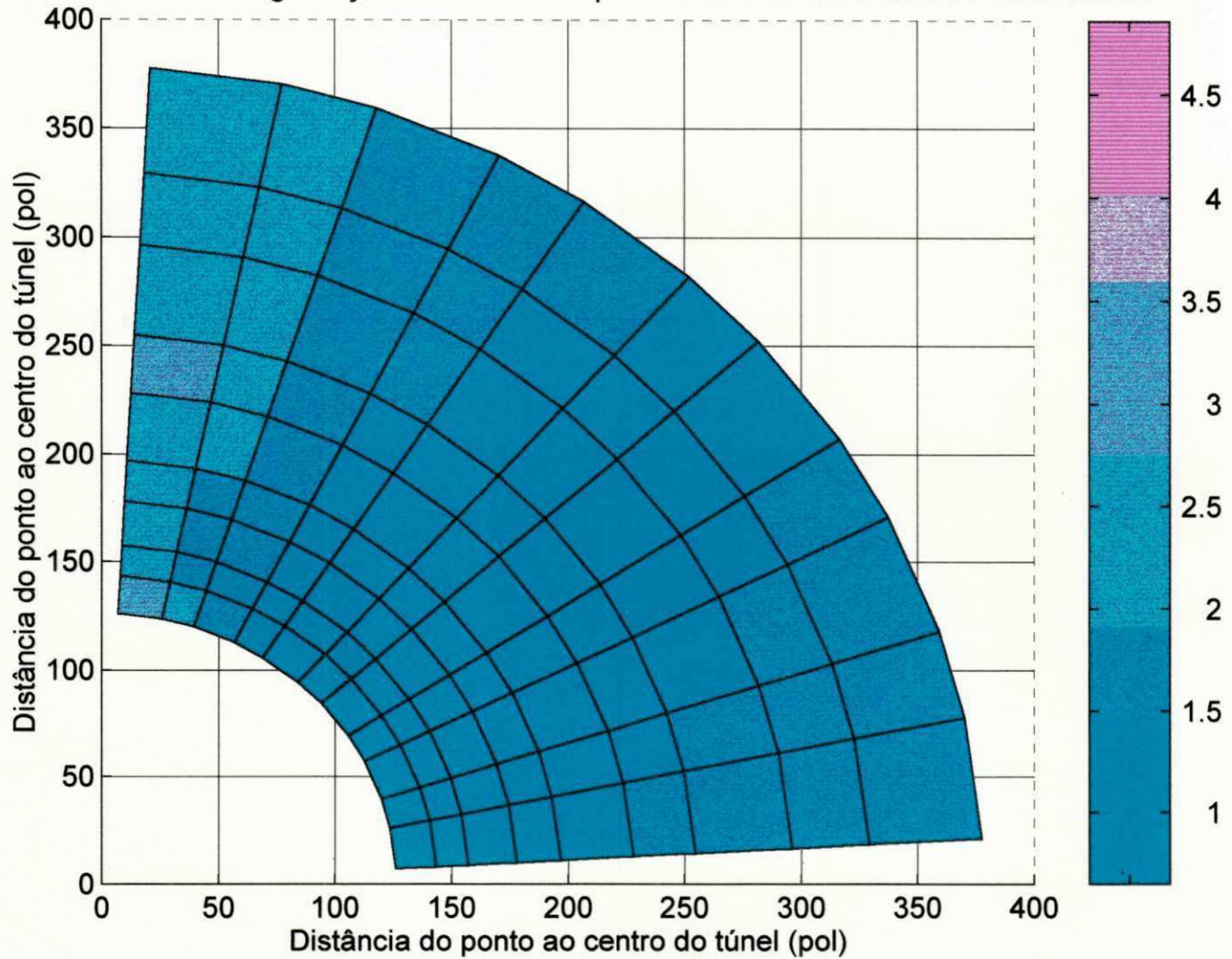


Figura 4.16. Fator de segurança ao redor do túnel, obtido através do critério de ruptura de Hoek-Brown rigoroso em solução elastoplástica.

#### **4.4 Análise dos Resultados**

Analisando os problemas apresentados neste Capítulo nota-se a coerência dos resultados a qual se baseia nas seguintes observações:

- no regime puramente elástico, pilar 1.1 e túnel 1.1, as tensões são idênticas para todos os critérios, ou seja, Hoek-Brown tangente, Hoek-Brown rigoroso e Mohr-Coulomb;
- os fatores de segurança calculados através do critério de Mohr-Coulomb são sempre maiores do que os calculados pelos outros dois critérios, conforme previsto pela teoria;
- as distribuições de tensões nas implementações do critério de Hoek-Brown rigoroso e tangente são bastante próximas;
- observa-se no problema do pilar que as tensões na lateral do pilar não são máximas, mesmo em regime elástico;
- os fatores de segurança nas implementações do critério de Hoek-Brown rigoroso e tangente são bem próximos. As discrepâncias são devidas às oscilações durante o processo interativo, causadas pelas simplificações introduzidas na metodologia de uso das tangentes e
- observa-se aumento da zona de plastificação com o incremento de carregamento. O que permite dimensionamento de estruturas de sustentação com maior precisão.

Pelo que foi apresentado neste Capítulo fica validada a implementação do critério de escoamento de Hoek-Brown em regime elastoplástico, de forma exata.

## 5. CONCLUSÕES

As conclusões mais importantes deste trabalho são as seguintes:

- Nesta pesquisa concluímos que realmente pode-se inferir as propriedades de resistência do maciço a partir da resistência da rocha intacta, calculada em laboratório, em conjunção com sistemas de classificação de maciço rochoso ou curva de efeito escala.
- Estabeleceu-se a correlação entre as propriedades  $c$ ,  $\phi$ ,  $\sigma_c$  e  $\beta$  do critério de Mohr-Coulomb com  $s$ ,  $m$  e  $\sigma_c$  do critério de Hoek-Brown, tendo sido constatada a sua exatidão numericamente através dos exemplos usando-se ambos os critérios.
- Observou-se através dos exemplos baseados na solução aproximada pelo método tangente ao critério de Mohr-Coulomb, que a implementação elastoplástica do critério de Hoek-Brown está correta.
- Estabeleceu-se a correlação entre os parâmetros  $m$  e  $s$ , usados no plano  $(\sigma_1, \sigma_3)$ , com os parâmetros  $A$  e  $B$ , usados no plano  $(\tau, \sigma)$ , do critério de Hoek-Brown.
- Observou-se através do critério de Hoek-Brown, o espalhamento da zona de plastificação ao redor do túnel para solução elastoplástica em relação a solução elástica.
- Através da plotagem das superfícies referentes aos critérios de Hoek-Brown e Mohr-Coulomb conclui-se pela exatidão da formulação.

## REFERÊNCIAS BIBLIOGRÁFICAS

- [1] - Bieniawski, Z. T. 'The Rock Mass Rating (RMR) System (Geomechanics Classification)', in: Engineering practice, Kirkaldie, L. (ed). Rock classification system for engineering purposes (STP 984). Philadhellia, USA, ASTM, pp. 17-34, 1988.
- [2] - Barton, N., Lien, R. & Lund, E. J., 'Engineering Classification of Rock masses for the Design of Tunnel Support'. Rock Mechanics N°. 6, 1977.
- [3] - Lima, A. A., 'Estudo comparativo entre métodos empíricos e elementos finitos para o dimensionamento de pilares de minas'. Tese para professor titular, Departamento de Mineração e Geologia, CCT, UFPB, 1992.
- [4] - Silva, L. A. A. & Hennies, W. T., 'A methodology for rock mass compressive strenght characterization from laboratory tests', in: A. Pinto da Cunha, (Ed), 'Scale Effects in Rock Masses 93'. A. A. Balkema, Rotterdam, pp. 217-224, 1992.
- [5] - Tsur-Lavie, Y. & Denekamp, S. A., 'Size and shape effect in pillar design', in: Farmer I. W. (Ed.). Strata Mechanics, pp. 245-248, Elsevier, Amsterdam, 1982.
- [6] - Hoek, E. & Brown, E. T., 'Underground excavations in rock'. London, UK. The Institution of Mining & Metallurgy, 527p., 1980.
- [7] - Bieniawski, Z. T. 'Improved design of room-and-pillar coal mines for U.S. conditions', In: Browner C. O. (Ed.). Proc. 1st Int. Conf. on Stability in Underground Mining. pp. 19-51, SME-AIME, New York, 1982.
- [8] - Bieniawski, Z. T., 'An overview of ground support considerations in room and pillar coal mining', in: Chuck Y. P. (Ed.). Ground Control in Room and Pillar Mining, pp. 95-104, SME-AIME, New York, 1982.
- [9] - Barton, N., 'Previsão do comportamento de aberturas subterrâneas em maciços rochosos'. Geotecnia, Vol. 53, pp. 07-48, 1988.
- [10] - Hoek, E & Brown, E. T., 'Empirical strenght criterion for rock masses'. Journal Geotechnical Eng. Div. 106, ASCE, pp. 1013 - 1035, 1980.

- [11] - Amadei., 'Schlumberger lecture award paper'. Int. Journal Num. Meth. Eng., 1992.
- [12] - Barla, G., Rock anisotropy: 'Theory and laboratory testing in rock mechanics'. Edit by Müller L. pp.131-169. Udine, Italy, 1974.
- [13] - Deere, D. U., 'Technical description of rock cores for Engineering purposes. Rock Mechanics and Engineering Geology'. Vol. 1, pp. 17-22, 1964.
- [14] - Barton N. R., 'Recente experiences with the Q-System of tunnel support design', in: Bieniawski Z. T. (Editor). Exploration for Rock Engineering. Vol. 1, pp. 107-118, A. A. Balkema, Rotterdam, 1976.
- [15] - Bieniawski, Z. T. 'Rock mass classification in rock engineering', in: Bieniawski Z. T. (Editor). Exploration for Rock Engineering. Vol. 1, pp. 97-106, A. A. Balkema, Rotterdam, 1976.
- [16] - Goodman, R. E., 'Methods of Geological Engineering in Discontinuous Rocks'. West Publishing Company, St. Paul, 1976.
- [17] - Lama, R. D. & Vutukuri, V. S., 'Handbook on Mechanical Properties of Rocks'. Vol. IV, Trans. Tech Publications, Causthal, Germany, 1978.
- [18] - Lauffer, M., 'Gebirgsklassifizierung fur den Stollenbau'. Geologie und Bauwesen, 24, 1958.
- [19] - Bieniawski, Z. T., 'Geomechanical classification of rock masses and its application in tunneling'. 3rd International Congress on Rock Mechanics, Denver, USA, ISRM. HA: 27-32, 1974.
- [20] - Ojima, L. M., 'Metodologia de Classificação de Maciços Rochosos Aplicável a Túneis'. Síntese de Pós-Graduação N°. 1, ABGE, 1982.
- [21] - Pincus, H. J., 'Opening remarks', in Engineering practice, Kirkaldie. L. (ed). Rock classification system for engineering purposes (STP 984). Philadelphia, USA, ASTM, pp. 01-03, 1988.
- [22] - Brady, B. H. G. & Brown, E. T., 'Rock mechanics for underground mining'. London, UK, George Allen & Unwin, 527p., 1985.

- [23] - Hudson, J. A.; Arnold, P. N. & Tamai, A., 'Rock engineering mechanisms information technology (REMIT)', Part I - The basic method; Part II - Illustrative case examples. 7th. International Congress on Rock Mechanics. Aachen, Germany, ISRM, Vol. 2, pp., 1113-1119, 1991.
- [24] - Vinueza, G., 'Classificação geomecânica subsidiando a modelagem numérica de uma mina subterrânea'. Dissertação de Mestrado, Publicação G.DM-012A/94, Departamento de Engenharia civil, Universidade de Brasília, Brasília, DF, 129p. 1994.
- [25] - Bieniawski, Z. T., 'Engineering rock mass classifications'. New York, USA, John Wiley & Sons, 251p., 1989.
- [26] - Albuquerque, R.; Pinto, S.; Rodrigues, R. L. & Nieble, C. M., 'Modelo geomecânico da mina de ouro de Fazenda Brasileiro - CVRD'. 6º. Congresso Brasileiro de Geologia de Engenharia / 9º. Congresso Brasileiro de Mecânica dos Solos e de Engenharia de Fundações. Salvador, BA, ABGE / ABMS. Vol. 1, pp. 01-10, 1990.
- [27] - Laubscher, D. H. & Taylor, H. W., 'The importance of geomechanics classification of jointed rock masses in mining operations', in: Bieniawski, Z. T. (Ed.). Exploration for Rock Engineering. Vol. 1, pp., 119-128, A. A. Balkema Rotterdam, 1976.
- [28] - Barton, N., 'Rock mass classification and tunnel reinforcement selection using the Q-system', in: Kirkaldie, L. (Ed.). Rock classification system for engineering purpose (STP 984). Philadelphia, USA, ASTM, pp. 59-88, 1988.
- [29] - Barton, N.; Lien, R. & Lund, J., 'Estimation of support requirements for underground excavations'. Proceedings 16th Symposium on Rock Mechanics, Minneapolis, USA, 1977.
- [30] - Obert, L. & Duvall, W. I., 'Rock Mechanics and Design of Structures in Rock'. John Wiley, New York, 1967.
- [31] - Jaeger, J. C. & Cook, N. G. W., 'Fundamentals of rock mechanics', 2nd ed. Chapman and Hall, London, 1976.

- [32] - Priest, S. D. & Brown, E. T., 'Probabilistic stability analysis of variable rock slopes'. Trans. Instn. Min. Metall. 92, A1-A12, 1983.
- [33] - Hoek, E., Technical Note. 'Estimating Mohr-Coulomb Friction and Cohesion Values from the Hoek-Brown Failure Criterion'. Int. J. Rock Mech. Min. Sci. & Geomech. Vol. 27, N°. 3, pp. 227-229, Great Britain, 1990.
- [34] - Hoek, E., 23<sup>a</sup>. 'Rankine lecture, strength of jointed rock masses'. Géotechnique 33, pp. 187-223, 1983.
- [35] - Hoek, E. & Brown, E. T., 'The Hoek-Brown failure criterion' a 1988 update. Proc. 15th Can. Rock Mech. Symp, University of Toronto, pp. 31-38, 1988.
- [36] - Hoek, E. & Bray, J. W. 'Rock Slope Engineering', 3rd edition, The Institution of Mining and Metallurgy, London, 1981.
- [37] - Hoek, E., 'Analysis of slope stability in very heavily jointed or weathered rock masses', in: Browner C. O. (Ed.). Proc. 3rd Int. Conf. on Stability in Surface Mining. SME-AIME, New York, 1982.
- [38] - Owen, D. R. J. & Hinton, E., 'Finite Elements in Plasticity'. Pineridge Press, Swansea, 1980.
- [39] - Mises, Huber-von, 'Mechanik der plastischen Formanderung der Kristallen'. Z. Angew. Math. Mech., Vol. 8, pp. 161-85, 1928.
- [40] - Nayak, G. C. & Zienkiewicz, O. C., 'Elasto-plastic stress analysis. Generalization for various constitutive relations including strain softening'. Int. J. Num. Meth. Eng., Vol. 5, pp. 113-35, 1972.
- [41] - Lima, A. A. 'An Advanced Implementation of the Boundary Element Method for Plane-Strain Elastoplasticity'. University of Missouri-Rolla, 1988.
- [42] - Zienkiewicz, O. C., - 'The Finite element method', 3th edition, McGraw-Hill Book Co. (U.K) Limited, Maidenhead, Berkshire, England, 1977.
- [43] - Fung, Y.C., 'Fundations of Solid Mechanics'. Prentice Hall, Englewood Cliffs, 1965.
- [44] - Drucker, D. C., 'A more fundamental approach to plastic stress-strain solutions'. Proc. 1st. U. S. Natn. Cong. Appl. Mech., pp. 478-91, 1951.

- [45] - Nayak, G. C. & Zienkiewicz, O. C., 'Convenient form of stress invariants for plasticity'. J. of Struct. Div. Proc. of ASCE, pp. 949-953, 1972.
- [46] - Koiter, W. T., 'Stress-strain relations. uniqueness and variational problems for elastics plastic materials with a singular yield surface'. Q. J. Appl. Math., Vol. 11, pp. 350-354, 1953.
- [47] - Frederick, D. & Chang, T. S., 'Continuum mechanics'. Allyn and Bacon, 1965.
- [48] - Peng, S. S. & Su, W. H., 'The Cause of Cyclic Excessive Convergence at the Longwall Tailentry'. Int. J. Mining Eng. Vol. 1, pp. 27-41, 1983.
- [49] - Jeremic, M. L. & Lutley, H. J., 'Stress Analysis in Underground Extraction of Steeply Dipping Thick coal Seams'. Proc. 1st U. S. Symp. on Rock Mechanics, Missouri-Rolla, 1980.
- [50] - Reyes, S. F. & Deeres, D. U., 'Elastic-plastic Analysis of Underground Openings by the Finite Element Method'. Proc. 1st Int. Congr. Rock Mechanics', Lisbon, pp. 477-483, 1966.
- [51] - Lima, A. A., Gopinath, T. R. & Alcântara, M. E., 'Comparison of Pillar Strengths Calculated Using Empirical Equations and Finite Elements'. 16th. Conference on Ground Control in Mining, University of West Virginia, USA, pp. 274-281, 1997.
- [52] - Pereira, A. S. C. & Carvalho, J. A. R., 'Rock mass classification to tunnel purpose, correlations between the systems proposed by Wickham et al., Bieniawski and Rocha'. 7th. Int. Congress on Rock Mechanics. Aachen, Germany, ISRM, Vol. 2, pp. 841-844, 1991.
- [53] - Rabcewicz, L. V., 'Princípios e modos de aplicação do novo método austriaco de abertura de túneis, com atenção particular às condições geotécnicas e topográficas brasileiras'. ABGE, tradução nº. 8 por Horst Eckschmidt, 1979.
- [54] - Goodman, R. E., 'Introduction to Rock Mechanics', John Wiley & Sons. New York, 2nd ed., 562 p., 1989.

## **ANEXO I**

### **PLOTAGEM DAS SUPERFÍCIES DE ESCOAMENTO DOS CRITÉRIOS DE RUPTURA DE MOHR-COULOMB E HOEK-BROWN, NO ESPAÇO DE TENSÕES PRINCIPAIS.**

A superfície de escoamento para determinado material, referente a um critério de ruptura ou escoamento é obtida utilizando as três combinações de tensões principais.

Para plotagem de uma superfície de escoamento, através do programa Matlab, deve-se conhecer a origem e uma seção normal genérica da mesma, a partir de então gera-se a superfície utilizando-se todas as combinações de tensões principais possíveis.

Começa-se determinando uma seção genérica normal ao eixo definido por  $\sigma_1 = \sigma_2 = \sigma_3$  através dos pontos 1,2,...,6 da Figura A1.1. Observe que no ponto 1  $\sigma_1 = \sigma_3$ , no ponto 2  $\sigma_2 = \sigma_3$ , no ponto 3  $\sigma_1 = \sigma_2$ , no ponto 4  $\sigma_1 = \sigma_3$ , no ponto 5  $\sigma_2 = \sigma_3$  e no ponto 6  $\sigma_1 = \sigma_2$ . Utilizaremos também, o invariante de tensões  $J_1$  definido como segue:

$$J_1 = \sigma_1 + \sigma_2 + \sigma_3$$

A seguir tem-se um modelo para gerar as superfícies de escoamento dos critérios de Mohr-Coulomb e Hoek-Brown.

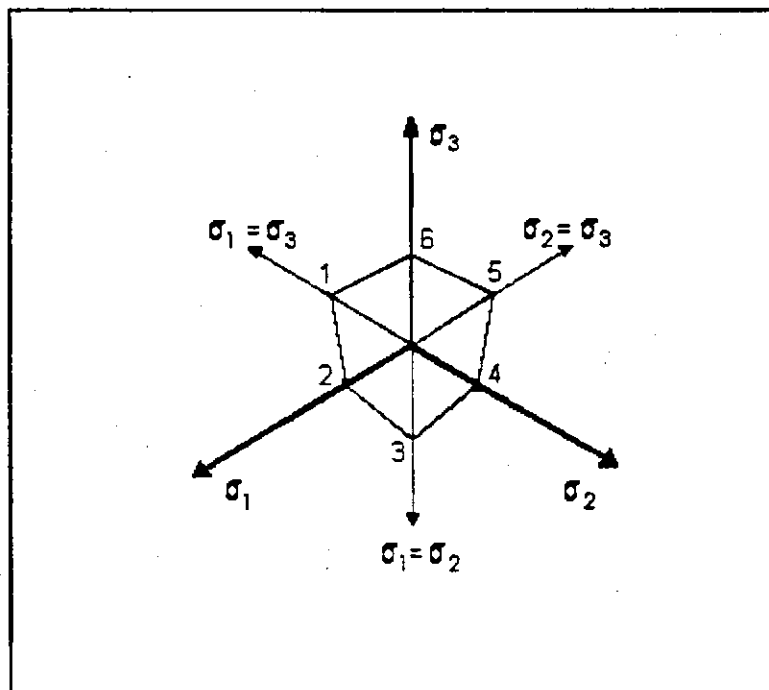


Figura A1.1. Esquema genérico de uma seção transversal às superfícies de escoamento dos critérios de ruptura de Hoek-Brown e Mohr-Coulomb.

### 1.1 Critério de Mohr-Coulomb no espaço $\sigma_1, \sigma_2, \sigma_3$ .

O critério de Mohr-Coulomb é definido neste espaço pela seguinte equação:

$$\sigma_{\max} = \sigma_c + \sigma_{\min} \tan \beta$$

Sendo  $\sigma_1$  a tensão principal máxima e  $\sigma_2$  a tensão principal mínima, o critério de Mohr-Coulomb assume a seguinte forma:

$$\sigma_1 = \sigma_c + \sigma_2 \tan \beta.$$

Sendo  $\sigma_1 = \sigma_3$  e  $J_1 = \sigma_1 + \sigma_2 + \sigma_3$ , tem-se:  $\sigma_2 = J_1 - 2\sigma_1$ , logo:

$$\sigma_1 = \sigma_c + (J_1 - 2\sigma_1) \tan \beta,$$

portanto:

$$\sigma_1 = \frac{\sigma_c + J_1 \tan \beta}{1 + 2 \tan \beta} = \sigma_3 = a_1$$

e

$$\sigma_2 = J_1 - 2 \left( \frac{\sigma_c + J_1 \tan \beta}{1 + 2 \tan \beta} \right) \text{ ou } \sigma_2 = \frac{J_1 - 2\sigma_c}{1 + 2 \tan \beta} = a_2$$

Agora, sendo  $\sigma_2 = \sigma_3$ , tem-se:  $\sigma_2 = \frac{1}{2} (J_1 - \sigma_1)$ , logo:

$$\sigma_1 = \sigma_c + \frac{1}{2} (J_1 - \sigma_1) \tan \beta,$$

portanto:

$$\sigma_1 = \frac{2\sigma_c + J_1 \tan \beta}{2 + \tan \beta} = b_1$$

e

$$\sigma_2 = \frac{1}{2} \left( J_1 - \frac{2\sigma_c + J_1 \tan \beta}{2 + \tan \beta} \right) \text{ ou } \sigma_2 = \frac{J_1 - \sigma_c}{2 + \tan \beta} = \sigma_3 = b_2$$

A origem da superfície de escoamento do critério de Mohr-Coulomb ( $J_1^0$ ) se encontra no eixo  $\sigma_1 = \sigma_2 = \sigma_3$ , conforme Figura A1.2

Através da equação  $\sigma_1 = \sigma_c + \sigma_3 \tan \beta$ , conclui-se que:

$$\sigma_1^0 = \frac{\sigma_c}{1 - \tan \beta}$$

logo:

$$J_1^0 = \frac{3\sigma_c}{1 - \tan \beta}$$

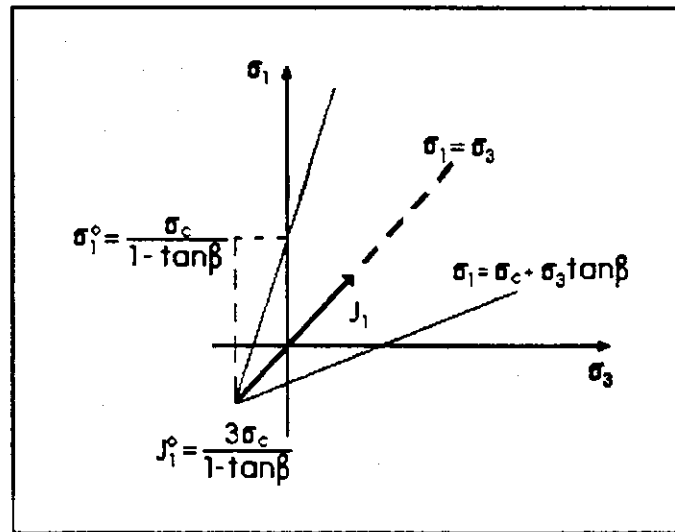


Figura Al. 2. Representação geométrica do vértice da superfície de escoamento do critério de Mohr-Coulomb.

### 1.2. Critério de Hoek-Brown no espaço $\sigma_1, \sigma_2, \sigma_3$ .

O critério de Hoek-Brown neste espaço é definido pela seguinte equação:

$$\sigma_{\text{má x}} = \sigma_{\min} + \sqrt{m\sigma_c\sigma_{\min} + s\sigma_c^2} \quad \text{ou} \quad \sigma_1 = \sigma_2 + \sqrt{m\sigma_c\sigma_2 + s\sigma_c^2}$$

Sendo  $\sigma_1 = \sigma_3$  e  $J_1 = \sigma_1 + \sigma_2 + \sigma_3$ , obtém-se  $\sigma_2 = J_1 - 2\sigma_1$ , logo:

$$\sigma_1 = J_1 - 2\sigma_1 + \sqrt{m\sigma_c J_1 - 2m\sigma_c\sigma_1 + s\sigma_c^2}$$

então:

$$(3\sigma_1 - J_1)^2 = m\sigma_c J_1 - 2m\sigma_c\sigma_1 + s\sigma_c^2$$

ou

$$9\sigma_1^2 + 2(m\sigma_c - 3J_1)\sigma_1 + (J_1^2 - m\sigma_c J_1 - s\sigma_c^2) = 0$$

portanto:

$$\sigma_1 = \frac{3J_1 - m\sigma_c \pm \sqrt{(m\sigma_c - 3J_1)^2 - 9(J_1 - m\sigma_c J_1 - s\sigma_c^2)}}{9} = \sigma_3 = a_1$$

e

$$\sigma_2 = J_1 - 2\sigma_1 = a_2$$

Agora, sendo  $\sigma_2 = \sigma_3$ , obtém-se:

$$\sigma_2 = \frac{1}{2}(J_1 - \sigma_1),$$

logo:

$$\sigma_1 = \frac{1}{2}(J_1 - \sigma_1) + \sqrt{\frac{m\sigma_c}{2}(J_1 - \sigma_1) + s\sigma_c^2}$$

então:

$$\left(\frac{3\sigma_1 - J_1}{2}\right)^2 = \frac{m\sigma_c}{2}(J_1 - \sigma_1) + s\sigma_c^2$$

ou

$$9\sigma_1^2 + (2m\sigma_c - 6J_1)\sigma_1 + (J_1^2 - 2m\sigma_c J_1 - 4s\sigma_c^2) = 0$$

portanto:

$$\sigma_1 = \frac{3J_1 - m\sigma_c \pm \sqrt{(m\sigma_c - 3J_1)^2 - 9(J_1^2 - 2m\sigma_c J_1 - 4s\sigma_c^2)}}{9} = b_1$$

e

$$\sigma_2 = \frac{1}{2}(J_1 - b_1) = \sigma_3 = b_2$$

A origem da superfície de escoamento no critério de Hoek-Brown se encontra no eixo  $\sigma_1 = \sigma_2 = \sigma_3$ .

Através da equação  $\sigma_1 = \sigma_3 + \sqrt{m\sigma_c\sigma_3 + s\sigma_c^2}$  obtém-se  $\sqrt{m\sigma_c\sigma_3 + s\sigma_c^2} = 0$ , de onde consegue-se que:

$$\sigma_3^0 = -\frac{s\sigma_c^2}{m\sigma_c}$$

Como

$$J_1 = 3\sigma_3$$

tem-se:

$$J_1^0 = -3\frac{s\sigma_c^2}{m\sigma_c}$$

#### **1.4. Programa Matlab para Desenhar as Superfícies de Escoamento dos Critérios de Mohr-Coulomb e Hoek-Brown no Espaço $\sigma_1$ , $\sigma_2$ , $\sigma_3$**

```
%*****
% Programa Matlab para Plotar a Superfície de Escoamento Utilizando o
% Criterio de ruptura de Hoek-Brown em três dimensões
% Decodificado por Prof. Aarão de Andrade Lima
% Modificado em Parte por Prof. Natanael Victor de Oliveira 21/09/97
% Modificado por Marconi Edson de Alcântara em 30/09/97
% Nome do Arquivo darao4.m
% *****
tic
clear all
N=input('Pts que deseja representar a Superfície de Escoamento N>=5,N=')
M=input('Loop para geração e evolução da Superfície, M=')
%
% A=input('Para Critério Hoek-Brown, A=m*Tensão de Compressão, A=')
% B=input('Para Critério de Hoek-Brown, B=s*Tensão de Compressão^2, B=')
% t_beta=input('Para critério de Mohr-Coulomb, t_beta=')
% sc=input('Para Critério de Mohr-Coulomb, sc=')
%
t_beta=2.77;
sc=6.41;
A=22.7;
```

```

B=41.1;
origem1=-3*B/A;
sbarr(1)=origem1;
for k=1:M;
for i=2:N+k;
%
%      sbarr(i)=sbarr(i-1)-origem1/4
%
%      sbarr(i)=sbarr(i-1)-origem1/(N+k-1);
%
end;
%
for i=6:5*N+k;
%
for i=(N+k+1):5*N+k;
%
sbarr(i)=sbarr(i-1)+0.5+(i-5)*0.2;
end;
for i=1:5*N+k;
delta=sqrt((A-3*sbarr(i))^2-9*(sbarr(i)^2-A*sbarr(i)-B));
A1=(3*sbarr(i)-A+delta)/9;
A2=sbarr(i)-2*A1;
delta=sqrt((A-3*sbarr(i))^2-9*(sbarr(i)^2-2*A*sbarr(i)-4*B));
B1=(3*sbarr(i)-A+delta)/9;
B2=sbarr(i)/2-B1/2;
S1(i,1)=A1;
S2(i,1)=A2;
S3(i,1)=A1;
S1(i,2)=B1;
S2(i,2)=B2;
S3(i,2)=B2;
S1(i,3)=A1;
S2(i,3)=A1;
S3(i,3)=A2;
S1(i,4)=B2;
S2(i,4)=B1;
S3(i,4)=B2;
S1(i,5)=A2;
S2(i,5)=A1;
S3(i,5)=A1;
S1(i,6)=B2;
S2(i,6)=B2;
S3(i,6)=B1;
S1(i,7)=A1;
S2(i,7)=A2;
S3(i,7)=A1;
for j=1:7;

```

```

color1(i,j)=sbarr(i);
end;
end;
for kk=1:M;
figure(1)
surf(S1,S2,S3,color1)
% axis([-10 30 -10 30 -10 20])
%view(-45,75)
grid on
title('Superfície de Escoamento do Critério de Hoek-Brown no Espaço das Tensões Principais')
xlabel('Sigma1 (MPa)')
ylabel('Sigma2 (MPa)')
zlabel('Sigma3 (MPa)')
figure(2)
plot3(S1,S2,S3)
%axis([-10 30 -10 30 -10 20])
grid on
title('Envoltória do Critério de Hoek-Brown no Espaço das Tensões Principais')
xlabel('Sigma1 (MPa)')
ylabel('Sigma2 (MPa)')
zlabel('Sigma3 (MPa)')
figure(3)
surf(S1,S2,S3,color1)
% axis([-10 30 -10 30 -10 30])
grid on
view([20,20,20])
title('Superfície de Escoamento do critério de Hoek-Brown no Espaço das Tensões Principais')
xlabel('Sigma1 (MPa)')
ylabel('Sigma2 (MPa)')
zlabel('Sigma3 (MPa)')
end;
end;
end;
end;
%
% pause
%
%*****
% Programa Matlab para Desenhar a Superficie de Escoamento
% Utilizando o Criterio de Mohr-Coulomb em três dimensões.
%*****
%
origem=3*sc/(1-t_beta);
sbar(1)=origem;
for k=1:M;

```

```

for i=2:N+k;
%
%    sbar(i)=sbar(i-1)-origem/4;
%
%    sbar(i)=sbar(i-1)-origem/(N+k-1)
%
end;

%
%    for i=6:5*N+k;
%
for i=(N+k+1):5*N+k
    sbar(i)=sbar(i-1)+0.5+(i-5)*0.2;
    end;
for i=1:5*N+k;
a1=(sc+sbar(i)*t_beta)/(1+2*t_beta);
a2=(sbar(i)-2*sc)/(1+2*t_beta);
b1=(2*sc+sbar(i)*t_beta)/(2+t_beta);
b2=(sbar(i)-sc)/(2+t_beta);
s1(i,1)=a1;
s2(i,1)=a2;
s3(i,1)=a1;
s1(i,2)=b1;
s2(i,2)=b2;
s3(i,2)=b2;
s1(i,3)=a1;
s2(i,3)=a1;
s3(i,3)=a2;
s1(i,4)=b2;
s2(i,4)=b1;
s3(i,4)=b2;
s1(i,5)=a2;
s2(i,5)=a1;
s3(i,5)=a1;
s1(i,6)=b2;
s2(i,6)=b2;
s3(i,6)=b1;
s1(i,7)=a1;
s2(i,7)=a2;
s3(i,7)=a1;
    for j=1:7;
color(i,j)=sbar(i);
    end;
    end;
for kk=1:M;
figure(4)
surf(s1,s2,s3,color)
%axis([-10 30 -10 30 -10 30])

```

```

grid on
title('Superfície de Escoamento do Critério de Mohr-Coulomb no Espaço das Tensões Principais')
xlabel('Sigma1 (MPa)')
ylabel('Sigma2 (MPa)')
zlabel('Sigma3 (MPa)')
figure(5)
plot3(s1,s2,s3)
%axis([-10 30 -10 30 -10 30])
grid on
title('Envoltória do Critério de Mohr-Coulomb no Espaço das Tensões Principais')
xlabel('Sigma1 (MPa)')
ylabel('Sigma2 (MPa)')
zlabel('Sigma3 (MPa)')
figure(6)
surf(s1,s2,s3,color1)
grid on
view([25,25,25])
%axis([-10 35 -10 35 -10 25])
title('Superfície de Escoamento do critério de Mohr-Coulomb no Espaço das Tensões Principais')
xlabel('Sigma1 (MPa)')
ylabel('Sigma2 (MPa)')
zlabel('Sigma3 (MPa)')
end;
    end;
    end;
    end;
    end;
toc

```

## ANEXO II

### INSTRUÇÕES PARA PREPARAÇÃO DOS DADOS DE ENTRADA DO PROGRAMA DE ELEMENTOS FINITOS.

Neste anexo são apresentadas as instruções para preparação dos dados de entrada para análise elastoplástica em duas dimensões de problemas em planos e sólidos com eixo de simetria, programa desenvolvido por Owen & Hinton, (pp. 511 a 516, Ref. 38).

Conjunto de dados 01 - 01 linha, formato (12A6).

Colunas 1 a 72 título do problema com 72 caracteres alfanumérico.

Conjunto de dados 02 - 01 linha, formato (11I5).

Colunas 01 a 05 (NPOIN) - Número total de pontos nodais.

Colunas 06 a 10 (NELEM) - Número total de elementos.

Colunas 11 a 15 (NVFIX) - Número total de pontos restringidos da fronteira, onde um ou mais graus de liberdade estão restritos.

Colunas 16 a 20 (NTYPE) - Tipo do material.

Colunas 21 a 25 (NNODE) - Número de nós por elemento:

4 - Elemento linear quadrilateral;

8 - Elemento quadrático serependity e

9 - Elemento quadrático Lagrangeano.

Colunas 26 a 30 (NMATS) - Número total de materiais diferentes.

Colunas 31 a 35 (NGAUS) - Ordem da fórmula de integração para integração numérica:

2 - Regra da quadratura de Gauss para dois pontos e

3 - Regra da quadratura de Gauss para três pontos.

Colunas 36 a 40 (NALGO) - Parâmetro para solução não linear:

0) Solução elástica;

1) Método da rigidez inicial. A rigidez do elemento é calculada no início do processo de solução e permanece inalterada até o final;

2) Método da rigidez tangencial. A rigidez do elemento é recalculada para cada interação de cada incremento de carga;

- 3) Algoritmo combinado (versão i). A rigidez do elemento é recalculada apenas para cada primeira interação de cada incremento de carga e
- 4) Algoritmo combinado (versão ii). A rigidez do elemento é recalculada apenas para a segunda interação de cada incremento de carga.

Colunas 41 a 45 (NCRIT) - Parâmetro critério de escoamento:

- 1 - Tresca;
- 2 - Huber-von Mises;
- 3 - Mohr-Coulomb;
- 4 - Drucker-Prager;
- 5 - Hoek-Brown tangente e
- 6 - Hoek-Brown rigoroso.

Colunas 46 a 50 (NINCS) - Número de incrementos que o carregamento total é para ser aplicado.

Colunas 51 a 55 (NSTRE) - Número de componentes de tensão em um ponto:

- 3 - Tensão ou deformação no plano
- 4 - Simetria axial.

Conjunto de dados 03 - Dados dos elementos, formato (11I5), 01 linha para cada elemento.

Colunas 01 a 05 (NUMEL) - Número do elemento.

Colunas 06 a 10 - MATNO(NUMEL, 1). Número da propriedade do material.

Colunas 11 a 15 - LNODS(NUMEL, 2). Número da primeira conexão nodal.

Colunas 51 a 55 - LNODS(NUMEL, 9). Número da nona conexão nodal.

- Notas: 1) As colunas 31 a 55 ficam em branco para elementos com 4 nós.  
 2) As colunas 51 a 55 ficam em branco para elementos com 8 nós e  
 3) O número de conexões nodais deve ser listado em uma seqüência anti-horária, começando de qualquer nó de canto.

Conjunto de dados 04 - Dados dos nós, formato (I5, 2F10.5), 01 linha para cada nó cujas coordenadas são dados de entrada.

Colunas 01 a 05 (IPOIN) - Número do ponto nodal.

Colunas 06 a 15 COORD(IPOIN,1)-Coordenada x (ou r) do nó.

Colunas 16 a 25 COORD(IPOIN,2)-Coordenada y (ou z) do nó.

- Notas: 1) O número total de linhas neste conjunto geralmente difere do NPOIN (conjunto de dados 2) pois para elementos quadráticos cujos lados são lineares, só é necessário especificar os dados dos nós dos cantos, as coordenadas dos nós intermediários são interpoladas automaticamente se estiverem sobre linha reta;
- 2) Para elementos Lagrangeanos as coordenadas do nono nó (nó central) não são fornecidas e
- 3) As coordenadas do nó de maior número devem ser fornecidas apesar de ser ou não um nó central.

Conjunto de dados 05 - Dados dos nós restringidos, formato (1X, I4, 5X, 2F10.5), 01 linha para cada nó restringido. Total de linhas NVFIX (ver conjunto de dados 2).

Colunas 02 a 05 - NOFIX(IVFIX), número do nó restringido.

Colunas 11 a 15 - IFPRE, Código da restrição

10 Deslocamento nodal restringido na direção x (ou r).

01 Deslocamento nodal restringido na direção y (ou z).

11 Deslocamento nodal restringido em ambas direções.

Colunas 21 a 30 - PRESC(IVFIX, 1), valor prescrito da componente x (ou r) do deslocamento nodal.

Colunas 31 a 40 - PRESC(IVFIX, 2), valor prescrito da componente y (ou z) do deslocamento nodal.

Conjunto de dados 06 - Dados do material.

6(a) Dados de controle, formato (I5), uma linha.

Colunas 01 a 05 - NUMAT número de identificação do material.

6(b) Dados das propriedades, formato (7F10.5), uma linha para cada material diferente.

Colunas 01 a 10 - PROPS(NUMAT,1) módulo de elasticidade E.

Colunas 11 a 20 - PROPS(NUMAT,2) coeficiente de Poisson v.

Colunas 21 a 30 - PROPS(NUMAT,3) espessura do material, t (fica em branco para problemas de plano de deformação e com eixo de simetria).

Colunas 31 a 40 - PROPS(NUMAT,4) densidade do material p.

Colunas 41 a 50 - PROPS(NUMAT,5) tensão de escoamento uniaxial ( $\sigma_y$ ), ou coesão (c) para os critérios de Mohr-Coulomb e Drucker-Prager, ou o parâmetro ( $s\sigma_e^2$ ) para o critério de Hoek-Brown.

Colunas 51 a 60 - PROPS(NUMAT,6) parâmetro Strain Hardening ( $H'$ ).

Colunas 61 a 70 - PROPS(NUMAT,7) ângulo de fricção ( $\phi$ ) em graus para os critérios de Mohr-Coulomb e Drucker-Prager e parâmetro ( $m\sigma_c$ ) do critério de Hoek-Brown.

Nota: Este conjunto de dados é repetido para cada material diferente.

Conjunto de dados 07 - Título do tipo de carregamento, 01 linha, formato (12A6).

Colunas 01 a 72 - título. Título do tipo de carregamento limitado a 72 caracteres alfanumérico.

Conjunto de dados 08 - Dados de controle de carga, formato(3I5), 01 linha.

Colunas 01 a 05 - IPLOD. Parâmetro de controle de carga aplicada ao ponto:

- 0 - Nenhuma carga aplicada ao nó é considerada
- 1 - Considera-se carga aplicada ao nó.

Colunas 06 a 10 - IGRAV. Parâmetro de controle de carga gravitacional.

- 0 - Nenhuma carga gravitacional é considerada e
- 1 - Considera-se carga gravitacional.

Colunas 11 a 15 - IEDGE. Parâmetro de controle de carga distribuída na lateral do elemento:

- 0 - Nenhuma carga distribuída é considerada e
- 1 - Considera-se a carga distribuída na lateral do elemento.

Conjunto de dados 09 - Dados de carga aplicada, formato (I5,2F10.3), uma linha para cada ponto nodal carregado.

Colunas 01 a 05 - LODPT. Número do nó.

Colunas 06 a 15 - POINT(1). Componente de carga na direção x (ou r).

Colunas 16 a 25 - POINT(2). Componente de carga na direção y (ou z).

- Notas: 1) A última linha deve ser referente ao nó de maior número quer seja carregado ou não.
- 2) Para problemas com eixo de simetria os dados de entrada de carga devem ser a carga total sobre o anel circular passando no ponto nodal considerado.
- 3) Se IPLOD = 0 no conjunto 8, omite-se o conjunto 9.

Conjunto de dados 10 - Dados de carregamento gravitacional, formato(2F10.3), 01 linha.

Colunas 01 a 10 - THETA. Ângulo do eixo de gravidade medido a partir do eixo y positivo (Fig. 6.7 na Ref. 38).

Colunas 11 a 20 - GRAVY. Constante de gravidade, é um múltiplo da aceleração da gravidade, g.

Nota: Se IGRAV = 0 no conjunto 8, omite-se o conjunto 10.

Conjunto de dados 11 - Dados das cargas distribuídas na lateral do elemento.

11(a) Dados de controle, formato(I5), 01 linha.

Colunas 01 a 05 - NEDGE. Número de laterais do elemento sobre as quais as cargas são aplicadas.

11(b) Dados da topologia da face do elemento, formato(4I5).

Colunas 01 a 05 - NEASS. Número do elemento com o qual a lateral do elemento está associado.

Colunas 06 a 10 NOPRS(1), 11 a 15 NOPRS(2) e 16 a 20 NOPRS(3). Lista de pontos nodais dos nós que compõem a face do elemento no qual a carga distribuída atua, em seqüência anti-horária.

Nota: Eltº linear com 4 nós, colunas 16 a 20 ficam em branco.

11(c) Dados da carga distribuída, formato(6F10.3).

Colunas 01 a 10 - PRESS(1,1). Valor da componente normal da carga distribuída no nó NOPRS(1).

Colunas 11 a 20 - PRESS(1,2). Valor da componente tangencial da carga distribuída no nó NOPRS(1).

Colunas 21 a 30 - PRESS(2,1). Valor da componente normal da carga distribuída no nó NOPRS(2).

Colunas 31 a 40 - PRESS(2,2). Valor da componente tangencial da carga distribuída no nó NOPRS(2).

Colunas 41 a 50 - PRESS(3,1). Valor da componente normal da carga distribuída no nó NOPRS(3).

Colunas 51 a 60 - PRESS(3,2). Valor da componente tangencial da carga distribuída no nó NOPRS(3).

Notas: 1) Para elementos lineares com 04 nós, as colunas 41 a 60 ficam em branco.

2) Os subconjuntos 11(b) e 11(c) devem ser repetidos em ciclo para todas laterais do elemento sobre as quais a carga distribuída atua. As laterais do elemento deve ser considerada em toda ordem.

Conjunto de dados 12 - Dados de controle dos incrementos de carga, formato(2F10.5,3I5), 01 linha para cada incremento de carga. Número total de linhas NINCS, ver conjunto 2.

Colunas 01 a 10 - FACTO. Fator de carga aplicada para este incremento, especificado como fator de entrada de carregamento nos conjuntos de dados 08 a 11.

Colunas 11 a 20 - TOLER. Fator tolerância da convergência.

Colunas 21 a 25 - MITER. Número máximo de interações permitidas para o incremento de carga.

Colunas 26 a 30 - NOUTP(1). Parâmetros que controlam as saídas dos resultados após a primeira interação:

0 - nenhuma saída;

1 - saída dos deslocamentos e

3 - saída dos deslocamentos, reações e tensões.

Colunas 31 a 35 - NOUTP(2). Parâmetros que controlam as saídas dos resultados que convergiram:

0 - nenhuma saída;

1 - saída dos deslocamentos;

2 - saída dos deslocamentos e reações e

3 - saída dos deslocamentos, reações e tensões.

Nota: Os fatores de carga aplicada são acumulativos. Se FACTO é definido como 0.6, 0.3, 0.2 para os três primeiros incrementos de carga, então a carga no terceiro incremento é 1.1, conforme especificada nos conjuntos de dados 08 a 11.

### **ANEXO III**

#### **CODIFICAÇÃO DO PROGRAMA DE OWEN & HINTON EM LINGUAGEM FORTRAN COM AS RESPECTIVAS ALTERAÇÕES REFERENTES A IMPLEMENTAÇÃO DO CRITÉRIO DE HOEK-BROWN EM REGIME ELASTOPLÁSTICO.**

Neste anexo apresenta-se a codificação original do programa de Owen & Hinton com as modificações introduzidas em pesquisa anterior [3], bem como aquelas introduzidas nesta pesquisa.

Relativamente a esta pesquisa, nas instruções de preparação dos dados de entrada do programa apresentam-se as seguintes modificações:

Conjunto de dados 2

Colunas 41 a 45 NCrit 6 - Critério de Hoek-Brown rigoroso.

As demais modificações introduzidas são comentadas seguidas do sinal ' ' repetido quatro vezes ou tendo no seu topo linhas de comentários seguidas do mesmo sinal até a coluna 72.

```

$DEBUG
C++++ MASTER PLAST
C++++ NEXT CARD WAS ADDED TO CONVERT REAL VALUES TO DOUBLE PRECISION
IMPLICIT REAL*8(A-B,0-2) MAS00010
C***** ****MAS00020
C***** ****MAS00030
C*** PROGRAM FOR THE ELASTO-PLASTIC ANALYSIS OF PLANE STRESS,
C PLANE STRAIN AND AXISYMETRIC SOLIDS MAS00040
C++++ VERSION 2 SAFETY FACTOR ADDED **** MAY 16TH, 1985 **** MAS00050
C++++ VERSION 3 EXTENSIVE MODIFICATIONS IN ORDER TO INCLUDE : MAS00060
C SCALE EFFECT IN STRENGTH OF ROCK MASS, MAS00070
C ELASTIC SOLUTIONS SKIPPING ELASTO-PLASTIC SECTIONS OF CODE, MAS00080
C AND HOEK-BROWN FAILURE CRITERION **** OCT. 30, 1992 **** MAS00090
C++++ VERSION 4 HOEK-BROWN ELASTOPLASTIC CRITERION **** NOV. 1992 **** MAS00100
C++++ ADDITION FEATURES ARE INDICATED BY COMMENT CARDS AS C+**** MAS00110
C.... Micro computer implementation started Nov. 1st, 1996 MAS00120
C.... Hoek-Brown true elastoplasticity implementation MAS00130
C.... Marconi Edson de Alcantara M Sc thesis version
C***** ****MAS00140
C..... DIMENSION ASDIS(1000),COORD(500,2),ELLOAD(250,18),ESTIF(18,18), MAS00090
C..... EQRHS(40),EQUAT(110,40),FIXED(1000),GLOAD(110), MAS00100
C..... GSTIF(6105), MAS00110
C..... IFFIX(1000),LNODS(250,9),LOCEL(18),MATNO(250), MAS00120
C..... NACVA(110),NAMEV(40),NDEST(18),NDFRO(250),NOFIX(100), MAS00130
C..... NOUTP(2),NPIVO(40), MAS00140
C..... POSGP(4),PRESC(100,2),PROPS(5,7),RLOAD(250,18), MAS00150
C..... STFOR(1000),TREAC(100,2),VECRV(110),WEIGP(4), MAS00160
C..... STRSG(4,1350),TDISP(1000),TLOAD(250,18), MAS00170
C..... TOFOR(1000),EPSTN(1350),EFFST(1350), MAS00180
C..... ELSIZ(300),SIZEF(300),SCALF(5,15),SCALS(5,15) MAS00250
C..... ****MAS00260
C..... CHARACTER*12 INPDAT, OUTDAT
C..... WRITE(*,6000)
6000 FORMAT(/////////, ' DIGITE O NOME DO ARQUIVO DE DADOS --->', \)
READ(*,6100) INPDAT
6100 FORMAT(12A)
WRITE(*,6200)
6200 FORMAT(/, ' DIGITE O NOME DO ARQUIVO PARA OS RESULTADOS--->', \)
READ(*,6100) OUTDAT
OPEN(5, FILE=INPDAT,STATUS='OLD')
OPEN(6, FILE=OUTDAT,STATUS='UNKNOWN')
OPEN(9, FILE='POSTSOL.OUT',STATUS='UNKNOWN')
OPEN(1,FILE ='TEMP1',FORM='UNFORMATTED', STATUS='UNKNOWN',
BLOCKSIZE=20400)
OPEN(2,FILE ='TEMP2',FORM='UNFORMATTED', STATUS='UNKNOWN',
BLOCKSIZE=20400)
OPEN(3,FILE ='TEMP3',FORM='UNFORMATTED', STATUS='UNKNOWN',
BLOCKSIZE=20400)
OPEN(4,FILE ='TEMP4',FORM='UNFORMATTED', STATUS='UNKNOWN',
BLOCKSIZE=20400)
OPEN(8,FILE ='TEMP8',FORM='UNFORMATTED', STATUS='UNKNOWN',
BLOCKSIZE=20400)
REWIND 5
REWIND 6
REWIND 9
C..... ****MAS00270
C..... ****MAS00280
C*** PRESET VARIABLES ASSOCIATED WITH DYNAMIC DIMENSIONING MAS00290
C..... ****MAS00300
C..... CALL DIMEN(MBUFA,MELEM,MEVAB,MFRON,MMATS,MPOIN,MSTIF,MTOTG,MTOTV,
MVFIX,NDOFN,NPROP,NSTRE) MAS00310
C..... ****MAS00320
C*** CALL THE SUBROUTINE WHICH READS MOST OF THE PROBLEM DATA MAS00330
C..... ****MAS00340
C..... CALL INPUT(COORD,IFFIX,LNODS,MATNO,MELEM,MEVAB,MFRON,MMATS,
MPOIN,MTOTV,MVFIX,NALGO,
NCRIT,NDFRO,NDOFN,NELEM,NEVAB,NGAUS,NGAU2,
NINCS,NNMATS,NNODE,NOFIX,NPOIN,NPROP,NSTRE,
NSTRI,NTOTG,NTOTV,
NTYPE,NVFIX,POSGP,PRESC,PROPS,WEIGP,
SCALS,SCALF,NSIZE,NSCAL) MAS00350
C..... ****MAS00360
C*** INITIALIZE CERTAIN ARRAYS MAS00370
C..... ****MAS00380
C..... CALL ZERO(ELOAD,MELEM,MEVAB,MPOIN,MTOTG,MTOTV,NDOFN,NELEM,
NEVAB,NGAUS,NSTRI,NTOTG,EPSTN,EFFST,
NTOTV,NVFIX,STRSG,TDISP,TFACT,
TLOAD,TREAC,MVFIX,SIZEF) MAS00390
C..... ****MAS00400
C..... ****MAS00410
C..... ****MAS00420
C..... ****MAS00430
C..... ****MAS00440
C..... ****MAS00450
C..... ****MAS00460
C..... ****MAS00470
C..... ****MAS00480

```

```

C++++ CALCULATE SCALE EFFECT UPON ROCK MASS STRENGTH           MAS00490
C                                                               MAS00500
C IF (NSIZE.NE.0)                                              MAS00510
.CALL SCALEF(COORD,LNODS,MATNO,SCALS,SCALF,SIZEF,ELSI,NELEM,
     .NPOIN,NNODE,MMATS,NSIZE,NSCAL,MPOIN,MELEM,MMATS)          MAS00520
C                                                               MAS00530
C*** CALL THE SUBROUTINE WHICH COMPUTES THE CONSISTENT LOAD VECTORS   MAS00540
C FOR EACH ELEMENT AFTER READING THE RELEVANT INPUT DATA          MAS00550
C                                                               MAS00560
C                                                               MAS00570
C CALL LOADPS(COORD,LNODS,MATNO,MELEM,MMATS,MPOIN,NELEM,
     .NEVAB,NGAUS,NNODE,NPOIN,NSTRE,NTYPE,POSGP,
     .PROPS,RLOAD,WEIGP,NDOFN,STRSG,MTOTG)                      MAS00580
C                                                               MAS00590
C                                                               MAS00600
C                                                               MAS00610
C*** LOOP OVER EACH INCREMENT                                     MAS00620
C                                                               MAS00630
C DO 100 IINCS = 1,NINCS                                         MAS00640
C                                                               MAS00650
C*** READ DATA FOR CURRENT INCREMENT                           MAS00660
C                                                               MAS00670
C CALL INCREM(ELOAD,FIXED,IINCS,MELEM,MEVAB,MITER,MTOTV,
     .MVFIX,NDOFN,NELEM,NEVAB,NOUTP,NOFIX,NTOTV,
     .NVFIX,PRESC,RLOAD,TFACT,TLOAD,TOLER)                      MAS00680
C                                                               MAS00690
C                                                               MAS00700
C                                                               MAS00710
C*** LOOP OVER EACH ITERATION                                    MAS00720
C                                                               MAS00730
C DO 50 IIITER=1,MITER                                         MAS00740
C write(*,1111) iincs, iiiter
1111 format(' ... main ... increment =',i2,' iteration=',i2)      MAS00750
C                                                               MAS00760
C*** CALL ROUTINE WHICH SELECTS SOLUTION ALGORITHM VARIABLE KRESL   MAS00770
C                                                               MAS00780
C CALL ALGOR(FIXED,IINCS,IIITER,KRESL,MTOTV,NALGO,
     .NTOTV)                                                 MAS00790
C                                                               MAS00800
C*** CHECK WHETHER A NEW EVALUATION OF THE STIFFNESS MATRIX IS REQUIRED MAS00810
C                                                               MAS00820
C IF(KRESL.EQ.1) CALL STIFFP(COORD,EPSTN,IINCS,LNODS,MATNO,
     .MEVAB,MMATS,MPOIN,MTOTV,NELEM,NEVAB,NGAUS,NNODE,
     .NSTRE,NSTRI,POSGP,PROPS,WEIGP,MELEM,MTOTG,
     .STRSG,NTYPE,NCRIT)                                       MAS00830
C                                                               MAS00840
C                                                               MAS00850
C                                                               MAS00860
C                                                               MAS00870
C                                                               MAS00880
C*** SOLVE EQUATIONS                                         MAS00890
C                                                               MAS00900
C CALL FRONT(ASDIS,ELOAD,EQRHS,EQUAT,ESTIF,FIXED,IIFIX,IINCS,IIITER,
     .GLOAD,GSTIF,LOCFL,LNODS,KRESL,MEUFA,MELEM,MEVAB,MFRON,
     .MSTIF,MTOTV,MVFIX,NACVA,NAMEV,NEDEST,NDOFN,NELEM,NEVAB,
     .NNODE,NOFIX,NPTVO,NPOIN,NTOTV,TDISP,TLOAD,TREAC,
     .VECRV)                                                 MAS00910
C                                                               MAS00920
C                                                               MAS00930
C                                                               MAS00940
C                                                               MAS00950
C                                                               MAS00960
C*** CALCULATE RESIDUAL FORCES                                MAS00970
C                                                               MAS00980
C CALL RESIDU(ASDIS,COORD,EFFST,ELOAD,FACTO,IIITER,LNODS,
     .LPROP,MATNO,MELEM,MMATS,MPOIN,MTOTG,MTOTV,NDOFN,
     .NELEM,NEVAB,NGAUS,NNODE,NSTRI,NTYPE,POSGP,PROPS,
     .NSTRE,NCRIT,STRSG,WEIGP,TDISP,EPSTN,SIZEF,NALGO)        MAS00990
C                                                               MAS01000
C                                                               MAS01010
C                                                               MAS01020
C                                                               MAS01030
C*** CHECK FOR CONVERGENCE                                    MAS01040
C                                                               MAS01050
C CALL CONVER(ELOAD,IIITER,LNODS,MELEM,MEVAB,MTOTV,NCHEK,NDOFN,
     .NELEM,NEVAB,NNODE,NTOTV,PVALU,STFOR,TLOAD,TOFOR,TOLER)    MAS01060
C                                                               MAS01070
C                                                               MAS01080
C*** OUTPUT RESULTS IF REQUIRED                            MAS01090
C                                                               MAS01100
C IF(IIITER.EQ.1.AND.NOUTP(1).GT.0)                         MAS01110
.CALL OUTPUT(IIITER,MTOTG,MTOTV,MVFIX,NELEM,NGAUS,NOFIX,NOUTP,
     .NPOIN,NVFIX,STRSG,TDISP,TREAC,EPSTN,NTYPE,NCHEK,
     .PROPS,MMATS,NCRIT,MATNO,MELEM,SIZEF)                     MAS01120
C++++ PREVIOUS CARD WAS ADDED +++++ FACTOR OF SAFETY COMPUTATION   MAS01130
C                                                               MAS01140
C*** IF SOLUTION HAS CONVERGED STOP ITERATING AND OUTPUT RESULTS   MAS01150
C                                                               MAS01160
C IF(NCHEK.EQ.0) GO TO 75                                     MAS01170
50 CONTINUE                                                 MAS01180
C                                                               MAS01190
C                                                               MAS01200
C                                                               MAS01210
C                                                               MAS01220
C                                                               MAS01230
C IF(NALGO.EQ.2) GO TO 75                                     MAS01240

```

```

STOP                               MAS01250
75 CALL OUTPUT(IITER,MTOTG,MTOTV,MVFIX,NELEM,NGAUS,NOFIX,NOUTP,
      NPOIN,NVFIX,STRSG,TDISP,TREAC,EPSTN,NTYPE,NCHEK,
      PROPS,MMATS,NCRIT,MATNO,MELEM,SIZEF)          MAS01260
      MAS01270
      MAS01280
C++++ PREVIOUS CARD WAS ADDED +++ Factor of Safety Computation   MAS01290
100 CONTINUE                         MAS01300
      REWIND 9                           MAS01310
      STOP                                MAS01320
      END                                  MAS01330
      SUBROUTINE DIMEN(MBUFA,MELEM,MEVAB,MFRON,MMATS,MPOIN,MSTIF,MTOTG,
      MTOTV,MVFIX,NDOFN,NPROP,NSTRE)             DIM00010
      DIM00020
C***** THIS SUBROUTINE PRESSETS VARIABLES ASSOCIATED WITH DYNAMIC    DIM00030
C      DIMENSIONING                         DIM00040
C                                         DIM00050
C                                         DIM00060
C                                         DIM00070
C*****                                         DIM00080
      MBUFA =40                            DIM00090
      MELEM =250                           DIM00100
      MFRON =110                           DIM00110
      MMATS =5                            DIM00120
      MPOIN =500                           DIM00130
      MSTIF =(MFRON*MFRON-MFRON)/2.0+MFRON        DIM00140
      MTOTG =MELEM*9                        DIM00150
      NDOFN =2                            DIM00160
      MTOTV =MPOIN*NDOFN                  DIM00170
      MVFIX =100                           DIM00180
      NPROP =7                            DIM00190
      MEVAB =NDOFN*9                      DIM00200
      RETURN                               DIM00210
      END                                  DIM00220
      SUBROUTINE INPUT(COORD,IFFIX,LNODS,MATNO,MELEM,MEVAB,MFRON,MMATS,
      MPOIN,MTOTV,MVFIX,NALGO,
      NCRIT,NDFRO,NDOFN,NELEM,
      NEVAB,NGAUS,NGAU2,
      NINCS,NMATS,NNODE,NOFIX,NPOIN,NPROP,NSTRE,NSTR1,
      NTOTG,NTOTV,NTYPE,NVFIX,POSGP,PRESC,PROPS,WEIGP,
      SCALS,SCALF,NSIZE,NSCAL)           INP00010
      INP00020
      INP00030
      INP00040
      INP00050
      INP00060
      INP00070
C++++ NEXT CARD WAS ADDED                               INP00080
      IMPLICIT REAL*8(A-H,O-Z)            INP00090
C*****                                         INP00100
C                                         INP00110
C***** THIS SUBROUTINE ACCEPTS MOST OF THE INPUT DATA       INP00120
C                                         INP00130
C*****                                         INP00140
C++++ NEXT CARD HAS BEEN ADDED                         INP00150
      REAL*8 TITLE(12)                      INP00160
      DIMENSION COORD(MPOIN,2),IFFIX(MTOTV),LNODS(MELEM,9),
      MATNO(MELEM),NDFRO(MELEM),
      NOFIX(MVFIX),POSGP(4),PRESC(MVFIX,NDOFN),
      PROPS(MMATS,NPROP),WEIGP(4),SCALS(MMATS,15),
      SCALF(MMATS,15)                     INP00170
      INP00180
      INP00190
      INP00200
      INP00210
      REWIND 1                           INP00220
      REWIND 2                           INP00230
      REWIND 3                           INP00240
      REWIND 4                           INP00250
      REWIND 8                           INP00260
      REWIND 9                           INP00270
C++++ NEXT TWO CARDS WERE ADDED +++ TO INITIALIZE IFFIX      INP00280
      DO 5000 I=1,MTOTV                 INP00290
      5000 IFFIX(I)=0                  INP00300
      READ(5,920) TITLE                INP00310
      WRITE(6,920) TITLE               INP00320
      920 FORMAT(12A6)                 INP00330
C*** READ THE FIRST DATA CARD, AND ECHO IT IMMEDIATELY      INP00340
C                                         INP00350
C                                         INP00360
      READ(5,900) NPOIN,NELEM,NVFIX,NTYPE,NNODE,NMATS,NGAUS,
      .NALGO,NCRIT,NINCS,NSTRE,NSIZE          INP00370
      INP00380
      900 FORMAT(12I5)                 INP00390
      NEVAB=NDOFN*NNODE                INP00400
      NSTR1=NSTRE+1                   INP00410
      IF(NTYPE.EQ.3) NSTR1=NSTRE        INP00420
      NTOTV=NPOIN*NDOFN              INP00430
      NGAU2=NGAUS*NGAUS              INP00440
      NTOTG=NELEM*NGAU2              INP00450
      WRITE(6,901) NPOIN,NELEM,NVFIX,NTYPE,NNODE,NMATS,NGAUS,NEVAB,
      .NALGO,NCRIT,NINCS,NSTRE,NSIZE          INP00460
      INP00470

```

```

901 FORMAT(//8H NPOIN =,I4,4X,8H NELEM =,I4,4X,8H NVFIX =,I4,4X,
     . 8H NTYPE =,I4,4X,8H NNODE =,I4,/,/
     . 8H NMATS =,I4,4X,8H NGAUS =,I4,
     . 4X,8H NEVAB =,I4,4X,8H NALGO =,I4//,
     . 8H NCRT =,I4,4X,8H NINCS =,I4,4X,8H NSTRE =,I4,
     . 4X,8H NSIZE =,I4)
CALL      CHECK1(NDOFN,NELEM,NGAUS,NMATS,NNODE,NPOIN,
                 NSTRE,NTYPE,NVFIX,NCRT,NALGO,NINCS)          INP00480
C
C*** READ THE ELEMENT NODAL CONNECTIONS AND THE PROPERTY NUMBERS.    INP00490
C
C
WRITE(6,902)                                         INP00500
902 FORMAT(//8H ELEMENT,3X,8HPROPERTY,6X,12HNODE NUMBERS)        INP00510
DO 2 IELEM=1,NELEM                                     INP00520
READ(5,900) NUMEL,MATNO(NUMEL), (LNODS(NUMEL,INODE),INODE=1,NNODE) INP00530
C+++ SAVE PRINTOUT                                     INP00540
2 CONTINUE                                            INP00550
C 2 WRITE(6,903) NUMEL,MATNO(NUMEL), (LNODS(NUMEL,INODE),INODE=1,NNODE) INP00560
C 903 FORMAT(1X,15,19,6X,8I5)                           INP00570
C
C*** ZERO ALL NODAL COORDINATES, PRIOR TO READING SOME OF THEM.   INP00580
C
DO 4 IPOIN=1,NPOIN                                     INP00590
DO 4 IDIME=1,2                                         INP00600
4 COORD(IPOIN, IDIME)=0.0                            INP00610
C
C*** READ SOME NODAL COORDINATES, FINISHING WITH THE LAST NODE OF ALL. INP00620
C
WRITE(6,904)                                         INP00630
904 FORMAT(//5H NODE,10X,1HX,10X,1HY)                  INP00640
6 READ(5,905) IPOIN,(COORD(IPOIN, IDIME), IDIME=1,2)      INP00650
905 FORMAT(15,6F10.5)                                 INP00660
IF(IPOIN.NE.NPOIN) GO TO 6                           INP00670
C
C*** INTERPOLATE COORDINATES OF MID-SIDE NODES       INP00680
C
CALL      NODEXY(COORD,LNODS,MELEM,MPOIN,NELEM,NNODE)    INP00690
C  DO 10 IPOIN=1,NPOIN                                INP00700
C+++ SAVE PRINTOUT                                     INP00710
10 IF(IPOIN.LT.50) WRITE(6,906) IPOIN,(COORD(IPOIN, IDIME), IDIME=1,2) INP00720
     WRITE(6,906) IPOIN,(COORD(IPOIN, IDIME), IDIME=1,2)      INP00730
906 FORMAT(1X,15,3F10.3)                             INP00740
C
C*** READ FIXED VALUES.                            INP00750
C
WRITE(6,907)                                         INP00760
907 FORMAT(//5H NODE,6X,4HCODE,6X,12HFIXED VALUES)      INP00770
DO 8 IVFIX=1,NVFIX                                     INP00780
READ(5,908) NOFIX(IVFIX), IFPRE, (PRESC(IVFIX, IDOFN), IDOFN=1,NDOFN) INP00790
WRITE(6,908) NOFIX(IVFIX), IFPRE, (PRESC(IVFIX, IDOFN), IDOFN=1,NDOFN) INP00800
NLOCA=(NOFIX(IVFIX)-1)*NDOFN                         INP00810
IDDOF=10***(NDOFN-1)                                  INP00820
DO 8 IDOFN=1,NDOFN                                    INP00830
NGASE=NLOCA+IDOFN                                    INP00840
IF(IFPRE.LT.IDDOF) GO TO 8                          INP00850
IFFIX(NGASE)=1                                       INP00860
IFFPRE=IFFPRE-IDDOF                                  INP00870
8 IDDOF=IDDOF/10                                     INP00880
908 FORMAT(1X,I4,5X,I5,5X,5F10.6)                   INP00890
C
C*** READ AVAILABLE SELECTION OF ELEMENT PROPERTIES   INP00900
C
16 WRITE(6,910)                                         INP00910
910 FORMAT(//8H NUMBER,6X,18HELEMENT PROPERTIES)      INP00920
DO 18 IMATS=1,NMATS                                    INP00930
READ(5,900) NUMAT                                     INP00940
READ(5,930) (PROPS(NUMAT,IPROP),IPROP=1,NPROP)      INP00950
930 FORMAT(8F10.5)                                   INP00960
18 WRITE(6,911) NUMAT,(PROPS(NUMAT,IPROP),IPROP=1,NPROP) INP00970
911 FORMAT(1X,I4,3X,8E14.6)                          INP00980
C
C+++ READ AND PRINT SCALE FACTORS FOR ROCK MASS STRENGTH, IF   INP00990
C REQUIRED. VERSION 3.                                     INP01000
C
IF(NSIZE.EQ.0) GO TO 22                               INP01010
WRITE(6,2000)                                         INP01020
2000 FORMAT(//,42H SIZE VERSUS STRENGTH FACTORS OF ROCK MASS) INP01030
READ(5,1000) NSCAL                                     INP01040
1000 FORMAT(I5)                                       INP01050

```

```

      WRITE(6,2020) NSCAL
2020 FORMAT(49H NUMBER OF POINTS DEFINING STRENGTH VERSUS SIZE =,I3)
      DO 20 IMAT=1,NMATS
      READ(5,1000) NUMAT
      READ(5,1020) (SCALS(NUMAT,ISCAL),ISCAL=1,NSCAL)
      READ(5,1020) (SCALF(NUMAT,ISCAL),ISCAL=1,NSCAL)
1020 FORMAT(15F5.2)
      WRITE(6,2040) IMAT
2040 FORMAT(17H MATERIAL NUMBER=,I3)
      WRITE(6,2060) (SCALS(NUMAT,ISCAL),ISCAL=1,NSCAL)
2060 FORMAT(18H SIZES      =,15F7.3)
      WRITE(6,2080) (SCALF(NUMAT,ISCAL),ISCAL=1,NSCAL)
2080 FORMAT(18H STRENGTH FACTORS=,15F7.3)
      20 CONTINUE
      22 CONTINUE

C
C*** SET UP GAUSSIAN INTEGRATION CONSTANTS
C
      CALL      GAUSSQ(NGAUS,POSGP,WEIGP)           INPO1440
      CALL      CHECK2(COORD,IFFIX,LNODS,MATNO,MELEM,MFRON,MPOIN,MTOTV,    INPO1450
                      MVFIX,NDFRO,NDOFN,NELEM,NMATS,NNODE,NOFIX,NPOIN,    INPO1460
                      NVFIX)                                         INPO1470
C
C+++++ CALCULATE AND PRINT GAUSS POINT COORDINATES
C
      CALL GPCOOR(COORD,LNODS,MPOIN,NELEM,NGAUS,NNODE,POSGP,    INPO1480
                  WEIGP,MELEM)                               INPO1490
      RETURN
      END
      SUBROUTINE CHECK1(NDOFN,NELEM,NGAUS,NMATS,NNODE,NPOIN,    CHE00010
                         NSTRE,NTYPE,NVFIX,NCRIT,NALGO,NINCS)
C+++++ NEXT CARD WAS ADDED
      IMPLICIT REAL*8 (A-H,O-Z)                     CHE00030
C*****
C***** THIS SUBROUTINE CHECKS THE MAIN CONTROL DATA          CHE00050
C***** ADDITIONAL CHECK FOR ELASTIC SOLUTION AND HOEK-BROWN CRITERION   CHE00070
C*****
      DIMENSION NEROR(24)                           CHE00100
      DO 10 IEROR=1,13                            CHE00110
      10 NEROR(IEROR)=0                            CHE00120
C
C*** CREATE THE DIAGNOSTIC MESSAGES
C
      IF(NPOIN.LE.0) NEROR(1)=1                   CHE00130
      IF(NELEM*NNODE.LT.NPOIN) NEROR(2)=1       CHE00140
      IF(NINCS.LT.1) NEROR(4)=1                  CHE00150
      IF(NTYPE.LT.1.OR.NTYPE.GT.3) NEROR(5)=1   CHE00160
      IF(NNODE.LT.4.OR.NNODE.GT.9) NEROR(6)=1   CHE00170
      IF(NDOFN.LT.2.OR.NDOFN.GT.5) NEROR(7)=1   CHE00180
      IF(NMATS.LT.1.OR.NMATS.GT.NELEM) NEROR(8)=1 CHE00190
C+++++ IF(NCRIT.LT.1.OR.NCRIT.GT.4) NEROR(9)=1 +++++ VERSION 3 +++++ CHE00200
C      IF(NCRIT.LT.1.OR.NCRIT.GT.5) NEROR(9)=1   CHE00210
C
C.... HOEK-BROWN VERSION 5...CRITERION 6...      (NEXT LINE)
C
      IF(NCRIT.LT.1.OR.NCRIT.GT.6) NEROR(9)=1   CHE00220
      IF(NGAUS.LT.2.OR.NGAUS.GT.3) NEROR(10)=1  CHE00230
C+++++ IF(NALGO.LT.1.OR.NALGO.GT.4) NEROR(11)=1 +++++ VERSION 3 +++++ CHE00240
      IF(NALGO.LT.0.OR.NALGO.GT.4) NEROR(11)=1   CHE00250
      IF(NSTRE.LT.3.OR.NSTRE.GT.5) NEROR(12)=1   CHE00260
C+++++ ELASTIC SOLUTION ONLY WITH HOEK-BROWN CRITERION. VERSION 3   CHE00270
C+++++ IF(NALGO.NE.0.AND.NCRIT.EQ.5) NEROR(13)=1 +++ VERSION 4 +++ CHE00280
C
C*** EITHER RETURN, OR ELSE PRINT THE ERRORS DIAGNOSED
C
      KEROR=0                                     CHE00290
      DO 20 IEROR=1,13                           CHE00300
      IF(NEROR(IEROR).EQ.0) GO TO 20             CHE00310
      KEROR=1                                     CHE00320
      WRITE(6,900) IEROR
900 FORMAT(//31H *** DIAGNOSIS BY CHECK1, ERROR,I3)
      20 CONTINUE
      IF(KEROR.EQ.0) RETURN

C
C*** OTHERWISE ECHO ALL THE REMAINING DATA WITHOUT FURTHER COMMENT
C

```

```

CALL ECHO                                CHE00460
RETURN                                 CHE00470
END                                     CHE00480
SUBROUTINE NODEXY(COORD,LNODS,MELEM,MPOIN,NELEM,NNODE)    NOD00010
C+*** NEXT CARD WAS ADDED                NOD00020
IMPLICIT REAL*8(A-H,O-Z)                  NOD00030
C***** THIS SUBROUTINE INTERPOLATES THE MID SIDE NODES OF STRAIGHT      NOD00040
C SIDES OF ELEMENTS AND THE CENTRAL NODE OF 9 NODDED ELEMENTS          NOD00050
C
C***** THIS SUBROUTINE INTERPOLATES THE MID SIDE NODES OF STRAIGHT      NOD00060
C SIDES OF ELEMENTS AND THE CENTRAL NODE OF 9 NODDED ELEMENTS          NOD00070
C
C***** THIS SUBROUTINE INTERPOLATES THE MID SIDE NODES OF STRAIGHT      NOD00080
C SIDES OF ELEMENTS AND THE CENTRAL NODE OF 9 NODDED ELEMENTS          NOD00090
C+*** NEXT CARD WAS ADDED                NOD00100
DIMENSION COORD(MPOIN,2),LNODS(MELEM,9)        NOD00110
ABS(REAL8)=DABS(REAL8)                      NOD00120
IF(NNODE.EQ.4) RETURN                      NOD00130
C
C**** LOOP OVER EACH ELEMENT             NOD00140
C
DO 30 IELEM=1,NELEM                      NOD00150
C
C*** LOOP OVER EACH ELEMENT EDGE        NOD00160
C
DO 20 INODE=1,NNOD1,2                    NOD00170
IF(INODE.EQ.9) GO TO 50
C
C**** COMPUTE THE NODE NUMBER OF THE FIRST NODE   NOD00180
C
NODST=LNODS(IELEM,INODE)                 NOD00190
IGASH=INODE+2                           NOD00200
IF(IGASH.GT.8) IGASH=1
C
C**** COMPUTE THE NODE NUMBER OF THE LAST NODE    NOD00210
C
NODFN=LNODS(IELEM,IGASH)                 NOD00220
MIDPT=INODE+1                           NOD00230
IF(MIDPT.EQ.9) MIDPT=1
C
C**** COMPUTE THE NODE NUMBER OF THE INTERMEDIATE NODE   NOD00240
C
NODMD=LNODS(IELEM,MIDPT)                 NOD00250
TOTAL=ABS(COORD(NODMD,1))+ABS(COORD(NODMD,2))
C
C*** IF THE COORDINATES OF THE INTERMEDIATE NODE ARE BOTH ZERO   NOD00260
C
INTERPOLATE BY STRAIGHT LINE           NOD00270
C
IF(TOTAL.GT.0.0) GO TO 20
KOUNT=1
10 COORD(NODMD,KOUNT)=(COORD(NODST,KOUNT)+COORD(NODFN,KOUNT))/2.0  NOD00280
KOUNT=KOUNT+1
IF(KOUNT.EQ.2) GO TO 10
20 CONTINUE
GO TO 30
50 LNODE=LNODS(IELEM,INODE)
TOTAL=ABS(COORD(LNODE,1))+ABS(COORD(LNODE,2))
IF(TOTAL.GT.0.0) GO TO 30
LNOD1=LNODS(IELEM,1)
LNOD3=LNODS(IELEM,3)
LNOD5=LNODS(IELEM,5)
LNOD7=LNODS(IELEM,7)
KOUNT=1
40 COORD(LNODE,KOUNT)=(COORD(LNOD1,KOUNT)+COORD(LNOD3,KOUNT)      NOD00290
+COORD(LNOD5,KOUNT)+COORD(LNOD7,KOUNT))/4.0
KOUNT=KOUNT+1
IF(KOUNT.EQ.2) GO TO 40
30 CONTINUE
RETURN
END
SUBROUTINE GAUSSQ(NGAUS,POSGP,WEIGP)      GAU00010
C+*** NEXT CARD WAS ADDED                GAU00020
IMPLICIT REAL*8(A-H,O-Z)                  GAU00030
C*** THIS SUBROUTINE SETS UP THE GAUSS-LEGENDRE INTEGRATION CONSTANTS  GAU00040
C
DIMENSION POSGP(4),WEIGP(4)               GAU00050
GAU00060
GAU00070
GAU00080
GAU00090

```

```

IF(NGAUS.GT.2) GO TO 4
2 POSGP(1)=-0.577350269189626
WEIGP(1)=1.0
GO TO 6
4 POSGP(1)=-0.774596669241483
POSGP(2)=0.0
WEIGP(1)=0.5555555555555556
WEIGP(2)=0.8888888888888889
6 KGAUS=NGAUS/2
DO 8 IGASH=1,KGAUS
JGASH=NGAUS+1-IGASH
POSGP(JGASH)=-POSGP(IGASH)
WEIGP(JGASH)=WEIGP(IGASH)
8 CONTINUE
RETURN
END
SUBROUTINE GPCOOR(COORD,LNODS,MPOIN,NELEM,NGAUS,NNODE,POSGP,
WEIGP,MELEM)
IMPLICIT REAL*8(A-H,O-Z)
C+++++ THIS SUBROUTINE CALCULATES GLOBAL COORDINATES OF GAUSS POINTS
C VERSION 3
C+++++
DIMENSION COORD(MPOIN,2),DERIV(2,9),ELCOD(2,9),LNODS(MELEM,9),
POSGP(4),SHAPE(9),WEIGP(4),GPCOD(2,9)
WRITE(6,2000)
2000 FORMAT(//,8H ELEMENT,4X,24H GAUSS POINT COORDINATES)
C+++ LOOP OVER EACH ELEMENT
C---- SAVE PRINTOUT
DO 60 IELEM=1,NELEM
C---- DO 60 IELEM=1,30
C---- SAVE PRINTOUT
C+++ EVALUATE THE COORDINATES OF THE ELEMENT NODAL POINTS
DO 10 INODE=1,NNODE
LNODE=LABS(LNODS(IELEM,INODE))
DO 10 IDIME=1,2
10 ELCOD(IDIME,INODE)=COORD(LNODE, IDIME)
C++ 4-NODE ELEMENTS. COORDINATES AT CENTER OF MASS
C IF(NNODE.NE.4) GO TO 6
C SUMX=0.0
C SUMY=0.0
C DO 2 INODE=1,N
C SUMX=SUMX+ELCOD(1, INODE)
C 2 SUMY=SUMY+ELCOD(2, INODE)
C SUMX=SUMX*0.25
C SUMY=SUMY*0.25
C WRITE(6,2010) IELEM,SUMX,SUMY
C GO TO 60
C++ 6 CONTINUE
KGASP=0
DO 40 IGAUS=1,NGAUS
EXISP=POSGP(IGAUS)
DO 40 JGAUS=1,NGAUS
ETASP=POSGP(JGAUS)
KGASP=KGASP+1
C++ EVALUATE THE SHAPE FUNCTIONS
CALL SFR2(DERIV,ETASP,EXISP,NNODE,SHAPE)
C++ CALCULATE COORDINATES OF SAMPLING POINT
DO 20 IDIME=1,2
GPCOD(IDIME,KGASP)=0.0
DO 20 INODE=1,NNODE
GPCOD(IDIME,KGASP)=GPCOD(IDIME,KGASP)+ELCOD(IDIME,INODE)
*SHAPE(INODE)
20 CONTINUE
40 CONTINUE
C+++ PRINT AND SAVE RESULTS
WRITE(6,2010) IELEM,
((GPCOD(IDIME,IGAUS),IDIME=1,2),IGAUS=1,KGASP)
2010 FORMAT(16,6X,12F10.3)
WRITE(9,2020) ((GPCOD(IDIME,IGAUS),IDIME=1,2),IGAUS=1,KGASP)
2020 FORMAT(12F10.3)
60 CONTINUE
RETURN
END
SUBROUTINE CHECK2(COORD,IFFIX,LNODS,MATNO,MELEM,MFRON,MPOIN,MTOTV,CHE00010
MFFIX,NDFR0,NDOFN,NELEM,NMATS,NNODE,NOFIX,NPOIN,CHE00020
NVFIX) CHE00030

```



```

900 FORMAT(/15H CHECK WHY NODE, I4,14H NEVER APPEARS) CHE00820
    NEROR(18)=NEROR(18)+1 CHE00830
    SIGMA=0.0 CHE00840
    DO 120 IDIME=1,2 CHE00850
120  SIGMA=SIGMA+ABS(COORD(IP0IN, IDIME)) CHE00860
    IF(SIGMA.NE.0.0) NEROR(19)=NEROR(19)+1 CHE00870
C
C*** CHECK THAT AN UNUSED NODE NUMBER IS NOT A RESTRAINED NODE CHE00880
C
DO 130 IVFIX=1,NVFIX CHE00890
130  IF(NOFIX(IVFIX).EQ.IP0IN) NEROR(20)=NEROR(20)+1 CHE00900
140  CONTINUE CHE00910
C
C*** CALCULATE THE LARGEST FRONTWIDTH CHE00920
C
NFRON=0 CHE00930
KFRON=0 CHE00940
DO 150 IELEM=1,NELEM CHE00950
    NFRON=NFRON+NDFRO(IELEM) CHE00960
150  IF(NFRON.GT.KFRON) KFRON=NFRON CHE01000
    WRITE(6,905) KFRON CHE01010
905  FORMAT(//33H MAXIMUM FRONTWIDTH ENCOUNTERED =,I5) CHE01020
    IF(KFRON.GT.MFRON) NEROR(21)=1 CHE01030
C
C*** CONTINUE CHECKING THE DATA FOR THE FIXED VALUES CHE01040
C
DO 170 IVFIX=1,NVFIX CHE01050
    IF(NOFIX(IVFIX).LE.0.OR.NOFIX(IVFIX).GT.NP0IN) NEROR(22)=NEROR(22) CHE01060
    . +1
    KOUNT=0 CHE01070
    NLOCA=(NOFIX(IVFIX)-1)*NDOFN CHE01080
    DO 160 ID0PN=1,NDOFN CHE01090
        NLOCA=NLOCA+1
160  IF(IFFLX(NLOCA).GT.0) KOUNT=1 CHE01100
    IF(KOUNT.EQ.0) NEROR(23)=NEROR(23)+1 CHE01110
    KVFIX=IVFIX-1 CHE01120
    IF(KVFIX.EQ.0) KVFIX=1 CHE01130
    DO 170 JVFIX=1,KVFIX CHE01140
170  IF(IVFIX.NE.1.AND.NOFIX(IVFIX).EQ.NOFIX(JVFIX)) NEROR(24)=NEROR(24) CHE01150
    . )+1
    KEROR=0 CHE01160
    DO 180 IEROR=13,24 CHE01170
        IF(NEROR(IEROR).EQ.0) GO TO 180
        KEROR=1 CHE01180
        WRITE(6,910) IEROR,NEROR(IEROR) CHE01190
910  FORMAT(//31H *** DIAGNOSIS BY CHECK2, ERROR,I3,6X,18H ASSOCIATED NCHE01200
    . UNBER,I5)
180  CONTINUE CHE01210
    IF(KEROR.NE.0) GO TO 200
C
C*** RETURN ALL NODAL CONNECTION NUMBERS TO POSITIVE VALUES CHE01220
C
DO 190 IELEM=1,NELEM CHE01230
    DO 190 INODE=1,NNODE CHE01240
190  LNODS(IELEM,INODE)=IABS(LNODS(IELEM,INODE)) CHE01250
    RETURN CHE01260
200  CALL ECHO CHE01270
    RETURN CHE01280
    END CHE01290
    SUBROUTINE ECHO CHE01300
C
C***** IF DATA ERRORS HAVE BEEN DETECTED BY SUBROUTINES CHECK1 OR ECH00020
C      CHECK2, THIS SUBROUTINE READS AND WRITES THE REMAINING DATA CARDS ECH00030
C
C***** DIMENSION NTITL(80) ECH00040
    WRITE(6,900) ECH00050
900  FORMAT(/50H NOW FOLLOWS A LISTING OF POST-DISASTER DATA CARDS/) ECH00060
    10 READ(5,905) NTITL ECH00070
905  FORMAT(80A1) ECH00080
    WRITE(6,910) NTITL ECH00090
910  FORMAT(20X,80A1) ECH00100
    GO TO 10 ECH00110
    END ECH00120
    SUBROUTINE ZERO(ELOAD,MELEM,MEVAB,MPOIN,MTOTG,MTOTV,NDOFN,NELEM, ECH00130
    . NEVAB,NGAUS,NSTR1,NTOTG,EPSTN,EFFST, ECH00140
    . NTOTV,NVFIX,STRSG,TDISP,TEACT) ECH00150
    . ZER00010
    . ZER00020
    . ZER00030

```

```

      TLOAD ,TREAC,MVFIX,SIZEF)          ZER00040
C+++++ NEXT CARD WAS ADDED           ZER00050
      IMPLICIT REAL*8 (A-H,O-Z)         ZER00060
C***** THIS SUBROUTINE INITIALISES VARIOUS ARRAYS TO ZERO   *****ZER00070
C                                         ZER00080
C                                         ZER00090
C                                         ZER00100
C                                         ZER00110
      DIMENSION ELOAD (MELEM,MEVAB) ,STRSG(4,MTOTG),TDISP(MTOTG),    ZER00120
              TLOAD (MELEM,MEVAB) ,TREAC (MVFIX,2) ,EPSTN(MTOTG),    ZER00130
              EFFST (MTOTG) ,SIZEF (MELEM)                         ZER00140
      TFACT=0.0                           ZER00150
      DO 30 IELEM=1,NELEM                ZER00160
      DO 30 IEVAB=1,NEVAB                ZER00170
      ELOAD (IELEM,IEVAB)=0.0             ZER00180
 30  TLOAD (IELEM,IEVAB)=0.0            ZER00190
      DO 40 ITOTV=1,NTOTV                ZER00200
 40  TDISP (ITOTV)=0.0                 ZER00210
      DO 50 IVFIX=1,NVFIX                ZER00220
      DO 50 IDOFN=1,NDOFN                ZER00230
 50  TREAC (IVFIX, IDOFN)=0.0          ZER00240
      DO 60 ITOTG=1,NTOTG                ZER00250
      EPSTN (ITOTG)=0.0                  ZER00260
      EFFST (ITOTG)=0.0                  ZER00270
      DO 60 ISTRI=1,NSTRI                ZER00280
 60  STRSG (ISTRI,ITOTG)=0.0          ZER00290
C+++ VERSION 3                      ZER00300
      DO 70 IELEM=1,NELEM                ZER00310
 70  SIZEF (IELEM)=1.0                 ZER00320
      RETURN                               ZER00330
      END                                  ZER00340
      SUBROUTINE SCALEF(COORD,LNODS,MATNO,SCALS,SCALF,SIZEF,ELSZI,    SCA00010
                          NELEM,NPOIN,NNODE,NMATS,NSIZE,NSCAL,    SCA00020
                          MPOIN,MELEM,MMATS)                      SCA00030
C***** THIS SUBROUTINE CALCULATES SCALE EFFECT FOR ROCK MASS    *****SCA00040
C COHESIVE PROPERTY AT ALL ELEMENTS. IT IS ACTIVE ONLY IF NSIZE    SCA00050
C IS DIFFERENT FROM ZERO. CODDED OCT. 16, 1992                   SCA00060
C                                         SCA00070
C                                         SCA00080
C                                         SCA00090
C                                         SCA00100
      IMPLICIT REAL*8 (A-H,O-Z)          SCA00110
      DIMENSION COORD(MPOIN,2) ,LNODS (MELEM, 9) ,MATNO (MELEM) ,    SCA00120
              SCALF (MMATS,15) ,SCALS (MMATS,15) ,SIZEF (MELEM) ,    SCA00130
              ELSIZ (MELEM) ,XE1 (2,9) ,XE2 (2,9)                 SCA00140
      SQRT (X)=DSQRT (X)                  SCA00150
      ABS (X)=DABS (X)                   SCA00160
      C                                     SCA00170
      C+++ LOOP OVER ELEMENTS AND CALCULATE THEIR MEAN SIZES     SCA00180
      C                                         SCA00190
      DO 40 IELEM=1,NELEM                SCA00200
      DO 10 INODE=1,NNODE                SCA00210
      LNOD=LABS (LNODS (IELEM,INODE))    SCA00220
      DO 10 IDIME=1,2                   SCA00230
      XE1 (IDIME,INODE)=COORD (LNOD, IDIME)    SCA00240
 10  CONTINUE                            SCA00250
      IF (NNODE.EQ.8) GO TO 20          SCA00260
      ELSIZ (IELEM)=SQRT ((XE1 (1,1)-XE1 (1,2))**2+(XE1 (2,1)-XE1 (2,2))**2) SCA00270
      +SQRT ((XE1 (1,2)-XE1 (1,3))**2+(XE1 (2,2)-XE1 (2,3))**2) SCA00280
      +SQRT ((XE1 (1,3)-XE1 (1,4))**2+(XE1 (2,3)-XE1 (2,4))**2) SCA00290
      +SQRT ((XE1 (1,4)-XE1 (1,1))**2+(XE1 (2,4)-XE1 (2,1))**2) SCA00300
      GO TO 30                            SCA00310
 20  ELSIZ (IELEM)=SQRT ((XE1 (1,1)-XE1 (1,3))**2+(XE1 (2,1)-XE1 (2,3))**2) SCA00320
      +SQRT ((XE1 (1,3)-XE1 (1,5))**2+(XE1 (2,3)-XE1 (2,5))**2) SCA00330
      +SQRT ((XE1 (1,5)-XE1 (1,7))**2+(XE1 (2,5)-XE1 (2,7))**2) SCA00340
      +SQRT ((XE1 (1,7)-XE1 (1,1))**2+(XE1 (2,7)-XE1 (2,1))**2) SCA00350
 30  ELSIZ (IELEM)=ELSZ (IELEM)*0.25    SCA00360
 40  CONTINUE                            SCA00370
      C                                     SCA00380
      C+++ ADD SIZES OF NEIGHBOUR ELEMENTS IF THIS OPTION IS IN EFFECT SCA00390
      C                                         SCA00400
      IF (NSIZE.EQ.1) GO TO 180          SCA00410
      DO 140 IELEM=1,NELEM               SCA00420
      SUMSZ=0.0                           SCA00430
      DO 60 INODE=1,NNODE                SCA00440
      LNOD=LABS (LNODS (IELEM,INODE))    SCA00450
      DO 60 IDIME=1,2                   SCA00460
 60  XE1 (IDIME,INODE)=COORD (LNOD, IDIME)    SCA00470

```

```

DO 120 JELEM=1,NELEM
IF(JELEM.EQ.IELEM) GO TO 120
DO 70 INODE=1,NNODE
LNOD=LABS(LNODS(JELEM,INODE))
DO 70 IDIME=1,2
70 XE2(IDIME,INODE)=COORD(LNOD, IDIME)
IF(NNOD.EQ.8) GO TO 80
C+*** FOUR NODE ELEMENT
IF( (ABS(XE1(1,1)-XE2(1,4)) + ABS(XE1(2,1)-XE2(2,4)))
. * (ABS(XE1(1,2)-XE2(1,1)) + ABS(XE1(2,2)-XE2(2,1)))
. * (ABS(XE1(1,3)-XE2(1,2)) + ABS(XE1(2,3)-XE2(2,2)))
. * (ABS(XE1(1,4)-XE2(1,3)) + ABS(XE1(2,4)-XE2(2,3))). NE.0.0 ) GO TO 120
SUMSZ=SUMSZ+ELSIZE(JELEM)
GO TO 120
C+*** EIGHT NODE ELEMENT
80 CONTINUE
IF( (ABS(XE1(1,2)-XE2(1,6)) + ABS(XE1(2,2)-XE2(2,6)))
. * (ABS(XE1(1,4)-XE2(1,8)) + ABS(XE1(2,4)-XE2(2,8)))
. * (ABS(XE1(1,6)-XE2(1,2)) + ABS(XE1(2,6)-XE2(2,2)))
. * (ABS(XE1(1,8)-XE2(1,4)) + ABS(XE1(2,8)-XE2(2,4))). NE.0.0 ) GO TO 120
SUMSZ=SUMSZ+ELSIZE(JELEM)
120 CONTINUE
C+*** SAVE SIZE OF ELEMENT CLUSTER INTEMPORARY ARRAY
SIZEF(IELEM)=0.5*SUMSZ+ELSIZE(IELEM)
140 CONTINUE
DO 160 IELEM=1,NELEM
160 ELSIZ(IELEM)=SIZEF(IELEM)
C
C+*** NOW CALCULATE THE SCALE FACTORS
C
180 CONTINUE
DO 210 IELEM=1,NELEM
IMAT=MATNO(IELEM)
SIZE=ELSIZE(IELEM)
IF(SIZE.LE.SCALS(IMAT,1).OR.SIZE.GE.SCALS(IMAT,NSCAL)) GO TO 200
DO 190 ISIZ=1,NSCAL
SIZ1=SCALS(IMAT,ISIZ)
FAC1=SCALF(IMAT,ISIZ)
IF(SIZE.GE.SIZ1) GO TO 190
SIZ2=SCALS(IMAT,ISIZ+1)
FAC2=SCALF(IMAT,ISIZ+1)
SIZEF(IELEM)=FAC1-((SIZE-SIZ1)/(SIZ2-SIZ1))*(FAC1-FAC2)
190 CONTINUE
GO TO 220
200 CONTINUE
IF(SIZE.LE.SCALS(IMAT,1)) SIZEF(IELEM)=SCALF(IMAT,1)
IF(SIZE.GE.SCALS(IMAT,NSCAL)) SIZEF(IELEM)=SCALF(IMAT,NSCAL)
C+*** DEBUG
220 WRITE(6,2000) IELEM, ELSIZ(IELEM),SIZEF(IELEM)
2000 FORMAT(' ELEMENT=',I5,' SIZE=',F10.2,' SCALE FACTOR=',F8.3)
C+*** DEBUG
210 CONTINUE
RETURN
END
SUBROUTINE LOADPS(COORD,LNODS,MATNO,MELEM,MMATS,MPOIN,NELEM,
. NEVAB,NGAUS,NNODE,NPOIN,NSTRE,NTYPE,POSGP,
. PROPS,RLOAD,WEIGP,NDOFN,STRSG,MTOTG)
C+*** NEXT CARD WAS ADDED
IMPLICIT REAL*8(A-H,O-Z)
C*****
***** THIS SUBROUTINE EVALUATES THE CONSISTENT NODAL FORCES FOR EACH
C ELEMENT
C
C+*** NEXT CARD HAS BEEN ADDED
REAL*8 TITLE(12)
DIMENSION CARTD(2,9), COORD(MPOIN,2), DERIV(2,9),DGASH(2),
. DMATX(4,4),ELCOD(2,9),LNODS(MELEM,9),MATNO(MELEM),
. NOPRS(4),PGASH(2),POINT(2),POSGP(4),PRESS(4,2),
. PROPS(MMATS,7),RLOAD(MELEM,18),SHAPE(9),STRAN(4),
. STRES(4),
. WEIGP(4),GPCOD(2,9),STRSG(4,MTOTG),BMATX(4,18)
C+*** NEXT 2 CARDS WERE ADDED
SIN(REAL8)=DSIN(REAL8)
COS(REAL8)=DCOS(REAL8)

```

```

TWOPI=6.283185308 LOA00230
DO 10 IELEM=1,NELEM LOA00240
DO 10 IEVAB=1,NEVAB LOA00250
10 RLOAD(IELEM,IEVAB)=0.0 LOA00260
READ(5,901) TITLE LOA00270
901 FORMAT(12A6) LOA00280
WRITE(6,903) TITLE LOA00290
903 FORMAT( //, 12A6) LOA00300
C LOA00310
C*** READ DATA CONTROLLING LOADING TYPES TO BE INPUTTED LOA00320
C LOA00330
READ(5,919) IPLOD,IGRAV,IEDGE LOA00340
WRITE(6,919) IPLOD,IGRAV,IEDGE LOA00350
919 FORMAT(3I5) LOA00360
C LOA00370
C*** READ NODAL POINT LOADS LOA00380
C LOA00390
IF(IPLOD.EQ.0) GO TO 500 LOA00400
20 READ(5,931) LODPT,(POINT(IDOFN),IDOFN=1,2) LOA00410
WRITE(6,931) LODPT,(POINT(IDOFN),IDOFN=1,2) LOA00420
931 FORMAT(15,2F10.3) LOA00430
C LOA00440
C*** ASSOCIATE THE NODAL POINT LOADS WITH AN ELEMENT LOA00450
C LOA00460
DO 30 IELEM=1,NELEM LOA00470
DO 30 INODE=1,NNODE LOA00480
NLOCA=LABS(LNODS(IELEM,INODE)) LOA00490
IF(LODPT.EQ.NLOCA) GO TO 40 LOA00500
C++++ NEXT CARD WAS ADDED +++++ REMOVE EXTENSION LOA00510
30 CONTINUE LOA00520
40 DO 50 IDOFN=1,2 LOA00530
NGASH=(INODE-1)*2+IDOFN LOA00540
50 RLOAD(IELEM,NGASH)=POINT(IDOFN) LOA00550
+RLOAD(IELEM,NGASH) LOA00560
C++++ PREVIOUS CARD ADDED +++++ VERSION 2 LOA00570
IF(LODPT.LT.NPOIN) GO TO 20 LOA00580
500 CONTINUE LOA00590
IF(IGRAV.EQ.0) GO TO 600 LOA00600
C LOA00610
C*** GRAVITY LOADING SECTION LOA00620
C LOA00630
C LOA00640
C** READ GRAVITY ANGLE AND GRAVITATIONAL CONSTANT LOA00650
C LOA00660
READ(5,906) THETA,GRAVY LOA00670
906 FORMAT(2F10.3) LOA00680
WRITE(6,911) THETA,GRAVY LOA00690
911 FORMAT( //,16H GRAVITY ANGLE =,F10.3,19H GRAVITY CONSTANT =,F10.3) LOA00700
THETA=THETA/57.295779514 LOA00710
C LOA00720
C*** LOOP OVER EACH ELEMENT LOA00730
C LOA00740
DO 90 IELEM=1,NELEM LOA00750
C LOA00760
C*** SET UP PRELIMINARY CONSTANTS LOA00770
C LOA00780
LPROP=MATNO(IELEM) LOA00790
THICK=PROPS(LPROP,3) LOA00800
DENSE=PROPS(LPROP,4) LOA00810
IF(DENSE.EQ.0.0) GO TO 90 LOA00820
GXCOM=DENSE*GRAVY*SIN(THETA) LOA00830
GYCOM=-DENSE*GRAVY*COS(THETA) LOA00840
C LOA00850
C*** COMPUTE COORDINATES OF THE ELEMENT NODAL POINTS LOA00860
C LOA00870
DO 60 INODE=1,NNODE LOA00880
LNODE=LABS(LNODS(IELEM,INODE)) LOA00890
DO 60 IDIME=1,2 LOA00900
60 ELCOD(IDIME,INODE)=COORD(LNODE, IDIME) LOA00910
C LOA00920
C*** ENTER LOOPS FOR AREA NUMERICAL INTEGRATION LOA00930
C LOA00940
KGASP=0 LOA00950
DO 80 IGAUS=1,NGAUS LOA00960
DO 80 JGAUS=1,NGAUS LOA00970
EXISTP=POSGP(IGAUS) LOA00980
ETASP=POSGP(JGAUS) LOA00990
C LOA01000

```

```

C*** COMPUTE THE SHAPE FUNCTION AT THE SAMPLING POINTS AND ELEMENTAL
C VOLUME
C
C     CALL      SFR2(DERIV,ETASP,EXISP,NNODE,SHAPE)
KGASP=KGASP+1
CALL      JACOB2(CARTD,DERIV,DJACB,ELCOD,GPCOD,IELEM,KGASP,
                 NNODE,SHAPE)
DVOLU=DJACB*WEIGP(IGAUS)*WEIGP(JGAUS)
IF(THICK.NE.0.0) DVOLU=DVOLU*THICK
IF(NTYPE.EQ.3) DVOLU=DVOLU*TWOPI*GPCOD(1,KGASP)

C*** CALCULATE LOADS AND ASSOCIATE WITH ELEMENT NODAL POINTS
C
DO 70 INODE=1,NNODE
NGASH=(INODE-1)*2+1
MGASH=(INODE-1)*2+2
RLOAD(IELEM,NGASH)=RLOAD(IELEM,NGASH)+GXCOM*SHAPE(INODE)*DVOLU
70 RLOAD(IELEM,MGASH)=RLOAD(IELEM,MGASH)+GYCOM*SHAPE(INODE)*DVOLU
80 CONTINUE
90 CONTINUE
600 CONTINUE
IF(IEDGE.EQ.0) GO TO 713

C*** DISTRIBUTED EDGE LOAD SECTION
C
READ(5,932) NEDGE
932 FORMAT(I5)
WRITE(6,912) NEDGE
912 FORMAT( //,5X,21HNO. OF LOADED EDGES =,I5)
WRITE(6,915)
915 FORMAT( //,5X,38HLIST OF LOADED EDGES AND APPLIED LOADS)
NODEG=3
NCODE=NNODE
IF(NNODE.EQ.4) NODEG=2
IF(NNODE.EQ.9) NCODE=8

C*** LOOP OVER EACH LOADED EDGE
C
DO 160 IEDGE=1,NEDGE
C*** READ DATA LOCATING THE LOADED EDGE AND APPLIED LOAD
C
READ(5,902) NEASS,(NOPRS(IODEG),IODEG=1,NODEG)
902 FORMAT(4I5)
WRITE(6,913) NEASS,(NOPRS(IODEG),IODEG=1,NODEG)
913 FORMAT(I10,5X,3I5)
READ(5,914) ((PRESS(IODEG,IDOFL),IDOFL=1,2),IODEG=1,NODEG)
WRITE(6,914) ((PRESS(IODEG,IDOFL),IDOFL=1,2),IODEG=1,NODEG)
914 FORMAT(1X,6F10.3)
ETASP=-1.0

C*** CALCULATE THE COORDINATES OF THE NODES OF THE ELEMENT EDGE
C
DO 100 IODEG=1,NODEG
LNODE=NOPRS(IODEG)
DO 100 IDIME=1,2
100 ELCOD(IDIME,IODEG)=COORD(LNODE, IDIME)

C*** ENTER LOOP FOR LINEAR NUMERICAL INTEGRATION
DO 150 IGAUS=1,NGAUS
EXISP=POSGP(IGAUS)

C*** EVALUATE THE SHAPE FUNCTION AT THE SAMPLING POINTS
C
CALL      SFR2(DERIV,ETASP,EXISP,NNODE,SHAPE)

C*** CALCULATE COMPONENTS OF THE EQUIVALENT NODAL LOADS
C
DO 110 IDOFL=1,2
PGASH(IDOFL)=0.0
DGASH(IDOFL)=0.0
DO 110 IODEG=1,NODEG
PGASH(IDOFL)=PGASH(IDOFL)+PRESS(IODEG,IDOFL)*SHAPE(IODEG)
110 DGASH(IDOFL)=DGASH(IDOFL)+ELCOD(IDOFL,IODEG)*DERIV(1,IODEG)
DVOLU=WEIGP(IGAUS)
PXCOM=DGASH(1)*PGASH(2)-DGASH(2)*PGASH(1)
PYCOM=DGASH(1)*PGASH(1)+DGASH(2)*PGASH(2)
IF(NTYPE.NE.3) GO TO 115

```

```

RADUS=0.0 LOA01790
DO 125 IODEG=1,NODEG LOA01800
125 RADUS=RADUS+SHAPE(IODEG)*ELCOD(1,IODEG)
DVOLU=DVOLU*TWOPI*RADUS LOA01810
115 CONTINUE LOA01820
C LOA01830
C*** ASSOCIATE THE EQUIVALENT NODAL EDGE LOADS WITH AN ELEMENT LOA01840
C LOA01850
C DO 120 INODE=1,NNODE LOA01860
NLOCA=IABS(LNODS(NEASS,INODE)) LOA01870
IF(NLOCA.EQ.NOPRS(1)) GO TO 130 LOA01880
C++++ NEXT CARD WAS ADDED +++++ REMOVE EXTENSION LOA01890
120 CONTINUE LOA01900
130 JNODE=INODE+NODEG-1 LOA01910
KOUNT=0 LOA01920
DO 140 KNODE=INODE,JNODE LOA01930
KOUNT=KOUNT+1 LOA01940
NGASH=(KNODE-1)*NDOFN+1 LOA01950
MGASH=(KNODE-1)*NDOFN+2 LOA01960
IF(KNODE.GT.NCODE) NGASH=1 LOA01970
IF(KNODE.GT.NCODE) MGASH=2 LOA01980
RLOAD(NEASS,NGASH)=RLOAD(NEASS,NGASH)+SHAPE(KOUNT)*PXCOM*D VOLU LOA01990
140 RLOAD(NEASS,MGASH)=RLOAD(NEASS,MGASH)+SHAPE(KOUNT)*PYCOM*D VOLU LOA02000
150 CONTINUE LOA02010
160 CONTINUE LOA02020
713 CONTINUE LOA02030
C---- WRITE(6,907) LOA02040
C 907 FORMAT( //,5X,36H TOTAL NODAL FORCES FOR EACH ELEMENT) LOA02050
C DO 290 IELEM=1,NELEM LOA02060
C 290 WRITE(6,905) IELEM,(RLOAD(IELEM,IEVAB),IEVAB=1,NEVAB) LOA02070
C=905 FORMAT(1X,I4,5X,8E12.4/(10X,8E12.4))
RETURN LOA02100
END LOA02110
SUBROUTINE SFR2(DERIV,ETASP,EXISP,NNODE,SHAPE) SFR00010
C++++ NEXT CARD WAS ADDED SFR00020
IMPLICIT REAL*8(A-H,O-Z) SFR00030
C***** THIS SUBROUTINE EVALUATES SHAPE FUNCTIONS AND THEIR DERIVATIVES SFR00040
C FOR LINEAR,QUADRATIC LAGRANGIAN AND SERENDIPITY SFR00050
C ISOPARAMETRIC 2-D ELEMENTS SFR00060
C SFR00070
C SFR00080
C SFR00090
C***** SFR00100
DIMENSION DERIV(2,9), SHAPE(9) SFR00110
S=EXISP SFR00120
T=ETASP SFR00130
IF(NNODE.GT.4) GO TO 10 SFR00140
ST=S*T SFR00150
C SFR00160
C*** SHAPE FUNCTIONS FOR 4 NODDED ELEMENT SFR00170
C SFR00180
SHAPE(1)=(1-T-S+ST)*0.25 SFR00190
SHAPE(2)=(1-T+S-ST)*0.25 SFR00200
SHAPE(3)=(1+T+S+ST)*0.25 SFR00210
SHAPE(4)=(1+T-S-ST)*0.25 SFR00220
C SFR00230
C*** SHAPE FUNCTION DERIVATIVES SFR00240
C SFR00250
DERIV(1,1)=(-1+T)*0.25 SFR00260
DERIV(1,2)=(+1-T)*0.25 SFR00270
DERIV(1,3)=(+1+T)*0.25 SFR00280
DERIV(1,4)=(-1-T)*0.25 SFR00290
DERIV(2,1)=(-1+S)*0.25 SFR00300
DERIV(2,2)=(-1-S)*0.25 SFR00310
DERIV(2,3)=(+1+S)*0.25 SFR00320
DERIV(2,4)=(+1-S)*0.25 SFR00330
RETURN SFR00340
10 IF(NNODE.GT.8) GO TO 30 SFR00350
S2=S*T*2.0 SFR00360
T2=T*T*2.0 SFR00370
SS=S*S SFR00380
TT=T*T SFR00390
ST=S*T SFR00400
SST=S*S*T SFR00410
STT=S*T*T SFR00420
ST2=S*T*T*2.0 SFR00430
C SFR00440
C*** SHAPE FUNCTIONS FOR 8 NODDED ELEMENT SFR00450

```

```

C
      SHAPE(1)=(-1.0+ST+SS+TT-SST-STT)/4.0          SFR00460
      SHAPE(3)=(-1.0-ST+SS+TT-SST+STT)/4.0          SFR00470
      SHAPE(5)=(-1.0+ST+SS+TT+SST+STT)/4.0          SFR00480
      SHAPE(7)=(-1.0-ST+SS+TT+SST-STT)/4.0          SFR00490
      SHAPE(2)=(1.0-T-SS+SST)/2.0                     SFR00500
      SHAPE(4)=(1.0+S-TT-STT)/2.0                     SFR00510
      SHAPE(6)=(1.0+T-SS-SST)/2.0                     SFR00520
      SHAPE(8)=(1.0-S-TT+STT)/2.0                     SFR00530
C
C***  SHAPE FUNCTION DERIVATIVES
C
      DERIV(1,1)=(T+S2-ST2-TT)/4.0                  SFR00540
      DERIV(1,2)=-S+ST                            SFR00550
      DERIV(1,3)=(-T+S2-ST2+TT)/4.0                  SFR00560
      DERIV(1,4)=(1.0-TT)/2.0                      SFR00570
      DERIV(1,5)=(T+S2+ST2+TT)/4.0                  SFR00580
      DERIV(1,6)=-S-ST                            SFR00590
      DERIV(1,7)=(-T+S2+ST2-TT)/4.0                  SFR00600
      DERIV(1,8)=(-1.0+TT)/2.0                     SFR00610
      DERIV(2,1)=(S+T2-SS-ST2)/4.0                  SFR00620
      DERIV(2,2)=(-1.0+SS)/2.0                     SFR00630
      DERIV(2,3)=(-S+T2-SS+ST2)/4.0                  SFR00640
      DERIV(2,4)=-T-ST                            SFR00650
      DERIV(2,5)=(S+T2+SS+ST2)/4.0                  SFR00660
      DERIV(2,6)=(1.0-SS)/2.0                      SFR00670
      DERIV(2,7)=(-S+T2+SS-ST2)/4.0                  SFR00680
      DERIV(2,8)=-T+ST                            SFR00690
      RETURN
30  CONTINUE
      SS=S*S
      ST=S*T
      TT=T*T
      S1=S+1.0
      T1=T+1.0
      S2=S*2.0
      T2=T*2.0
      S9=S-1.0
      T9=T-1.0
C
C***  SHAPE FUNCTIONS FOR 9 NODDED ELEMENT
C
      SHAPE(1)=0.25*S9*ST*T9
      SHAPE(2)=0.5*(1.0-SS)*T*T9
      SHAPE(3)=0.25*S1*ST*T9
      SHAPE(4)=0.5*S*S1*(1.0-TT)
      SHAPE(5)=0.25*S1*ST*T1
      SHAPE(6)=0.5*(1.0-SS)*T*T1
      SHAPE(7)=0.25*S9*ST*T1
      SHAPE(8)=0.5*S*S9*(1.0-TT)
      SHAPE(9)=(1.0-SS)*(1.0-TT)
C
C***  SHAPE FUNCTION DERIVATIVES
C
      DERIV(1,1)=0.25*T*T9*(-1.0+S2)
      DERIV(1,2)=-ST*T9
      DERIV(1,3)=0.25*(1.0+S2)*T*T9
      DERIV(1,4)=0.5*(1.0+S2)*(1.0-TT)
      DERIV(1,5)=0.25*(1.0+S2)*T*T1
      DERIV(1,6)=-ST*T1
      DERIV(1,7)=0.25*(-1.0+S2)*T*T1
      DERIV(1,8)=0.5*(-1.0+S2)*(1.0-TT)
      DERIV(1,9)=-S2*(1.0-TT)
      DERIV(2,1)=0.25*(-1.0+T2)*S*S9
      DERIV(2,2)=0.5*(1.0-SS)*(-1.0+T2)
      DERIV(2,3)=0.25*S*S1*(-1.0+T2)
      DERIV(2,4)=-ST*S1
      DERIV(2,5)=0.25*S*S1*(1.0+T2)
      DERIV(2,6)=0.5*(1.0-SS)*(1.0+T2)
      DERIV(2,7)=0.25*S*S9*(1.0+T2)
      DERIV(2,8)=-ST*S9
      DERIV(2,9)=-T2*(1.0-SS)
20  CONTINUE
      RETURN
      END
      SUBROUTINE JACOB2(CARTD,DERIV,DJACB,ELCOD,GPcod,IELEM,KGASP,
                         NNODE,SHAPE)
C++++ NEXT CARD WAS ADDED

```

```

IMPLICIT REAL*8(A-H,O-Z) JAC00040
C***** JAC00050
C JAC00060
C THIS SUBROUTINE EVALUATES THE JACOBIAN MATRIX AND THE CARTESIAN JAC00070
C SHAPE FUNCTION DERIVATIVES JAC00080
C JAC00090
C***** JAC00100
DIMENSION CARTD(2,9),DERIV(2,9),ELCOD(2,9),GPCOD(2,9),SHAPE(9), JAC00110
XJACI(2,2),XJACM(2,2) JAC00120
C JAC00130
C*** CALCULATE COORDINATES OF SAMPLING POINT JAC00140
C JAC00150
DO 2 IDIME=1,2 JAC00160
GPCOD(IDIME,KGASP)=0.0 JAC00170
DO 2 INODE=1,NNODE JAC00180
GPCOD(IDIME,KGASP)=GPCOD(IDIME,KGASP)+ELCOD(IDIME,INODE) JAC00190
*SHAPE(INODE) JAC00200
2 CONTINUE JAC00210
C JAC00220
C*** CREATE JACOBIAN MATRIX XJACM JAC00230
C JAC00240
DO 4 IDIME=1,2 JAC00250
DO 4 JDIME=1,2 JAC00260
XJACM(IDIME,JDIME)=0.0 JAC00270
DO 4 INODE=1,NNODE JAC00280
XJACM(IDIME,JDIME)=XJACM(IDIME,JDIME)+DERIV(IDIME,INODE)* JAC00290
ELCOD(JDIME,INODE) JAC00300
4 CONTINUE JAC00310
C JAC00320
C*** CALCULATE DETERMINANT AND INVERSE OF JACOBIAN MATRIX JAC00330
C JAC00340
DJACB=XJACM(1,1)*XJACM(2,2)-XJACM(1,2)*XJACM(2,1) JAC00350
IF(DJACB) 6,6,8 JAC00360
6 WRITE(6,600) IELEM JAC00370
STOP JAC00380
8 CONTINUE JAC00390
XJACI(1,1)= XJACM(2,2)/DJACB JAC00400
XJACI(2,2)= XJACM(1,1)/DJACB JAC00410
XJACI(1,2)=-XJACM(1,2)/DJACB JAC00420
XJACI(2,1)=-XJACM(2,1)/DJACB JAC00430
C JAC00440
C*** CALCULATE CARTESIAN DERIVATIVES JAC00450
C JAC00460
DO 10 IDIME=1,2 JAC00470
DO 10 INODE=1,NNODE JAC00480
CARTD(IDIME,INODE)=0.0 JAC00490
DO 10 JDIME=1,2 JAC00500
CARTD(IDIME,INODE)=CARTD(IDIME,INODE)+XJACI(IDIME,JDIME)* JAC00510
DERIV(JDIME,INODE) JAC00520
10 CONTINUE JAC00530
600 FORMAT(//,36H PROGRAM HALTED IN SUBROUTINE JACOB2,/ 11X,
.22H ZERO OR NEGATIVE AREA,/,10X,16H ELEMENT NUMBER ,15) JAC00540
RETURN JAC00550
END JAC00560
SUBROUTINE INCREM(ELOAD, FIXED, IINCS, MELEM, MEVAB, MITER,
MTOTV, MVFIX, NDOFN, NELEM, NEVAB, NOUTP,
NOFIX, NTOTV, NVFIX, PRESC, RLOAD, TFACT,
TLOAD, TOLER) JAC00570
INC00010
INC00020
INC00030
INC00040
INC00050
INC00060
INC00070
INC00080
INC00090
INC00100
INC00110
INC00120
INC00130
INC00140
INC00150
INC00160
INC00170
INC00180
INC00190
INC00200
INC00210
INC00220
INC00230
INC00240
C++++ NEXT CARD WAS ADDED
IMPLICIT REAL*8(A-H,O-Z) INC00050
C***** INC00060
C INC00070
C**** THIS SUBROUTINE INCREMENTS THE APPLIED LOADING INC00080
C INC00090
C***** INC00100
C***** INC00110
DIMENSION ELOAD(MELEM,MEVAB), FIXED(MTOTV), INC00120
C++WRONG IFFIX(MTOTV), INC00130
NOUTP(2), NOFIX(MVFIX), INC00140
PRESC(MVFIX, NDOFN), RLOAD(MELEM, MEVAB), TLOAD(MELEM, MEVAB) INC00150
WRITE(6,900) IINCS INC00160
900 FORMAT(1H0,5X,17HINCREMENT NUMBER ,15) INC00170
READ(5,950) FACTO, TOLER, MITER, NOUTP(1), NOUTP(2) INC00180
950 FORMAT(2F10.5,3I5) INC00190
TFACT=TFACT+FACTO INC00200
WRITE(6,960) TFACT, TOLER, MITER, NOUTP(1), NOUTP(2) INC00210
960 FORMAT(1H0,5X,13HLOAD FACTOR =,F10.5,5X, INC00220
.24H CONVERGENCE TOLERANCE =,F10.5,5X,24HMAX. NO. OF ITERATIONS =, INC00230
.15, //27H INITIAL OUTPUT PARAMETER =,I5,5X,24HFINAL OUTPUT PARAMETINC00240

```

.ER =,J5) INC00250

```

DO 80 IELM=1,NEVAB           INC00260
DO 80 IEVAB=1,NEVAB          INC00270
ELOAD(IELEM,IEVAB)=ELOAD(IELEM,IEVAB)+RLOAD(IELEM,IEVAB)*FACTO
80 TLOAD(IELEM,IEVAB)=TLOAD(IELEM,IEVAB)+RLLOAD(IELEM,IEVAB)*FACTO
C                                           INC00280
C***   INTERPRET FIXITY DATA IN VECTOR FORM           INC00290
C                                           INC00300
C                                           INC00310
C                                           INC00320
DO 100 ITOTV=1,NTOTV          INC00330
100 FIXED(ITOTV)=0.0          INC00340
DO 110 IVFIX=1,NVFIX          INC00350
NLOCA=(NOFIX(IVFIX)-1)*NDOFN  INC00360
DO 110 IDOFN=1,NDOFN          INC00370
NGASH=NLOCA+IDOFN            INC00380
FIXED(NGASH)=PRESC(IVFIX,IDOFN)*FACTO  INC00390
110 CONTINUE                  INC00400
RETURN                      INC00410
END                         INC00420
SUBROUTINE ALGOR(FIXED,IINCS,IITER,KRESL,
                  MTOTV,NALGO,NTOTV)  ALG00010
ALG00020
C++++ NEXT CARD WAS ADDED      ALG00030
IMPLICIT REAL*8(A-H,O-Z)      ALG00040
C***** THIS SUBROUTINE SETS EQUATION RESOLUTION INDEX,KRESL  ALG00050
C                                           ALG00060
C***** THIS SUBROUTINE SETS EQUATION RESOLUTION INDEX,KRESL  ALG00070
C                                           ALG00080
C***** THIS SUBROUTINE SETS EQUATION RESOLUTION INDEX,KRESL  ALG00090
DIMENSION FIXED(MTOTV)          ALG00100
KRESL=2                        ALG00110
C++++ ELASTIC SOLUTION. VERSION 3  ALG00120
IF(NALGO.EQ.0) KRESL=1          ALG00130
IF(NALGO.EQ.1.AND.IINCS.EQ.1.AND.IITER.EQ.1) KRESL=1  ALG00140
IF(NALGO.EQ.2) KRESL=1          ALG00150
IF(NALGO.EQ.3.AND.IITER.EQ.1) KRESL=1  ALG00160
IF(NALGO.EQ.4.AND.IINCS.EQ.1.AND.IITER.EQ.1) KRESL=1  ALG00170
IF(NALGO.EQ.4.AND.IITER.EQ.2) KRESL=1  ALG00180
IF(IITER.EQ.1) RETURN          ALG00190
DO 100 ITOTV=1,NTOTV            ALG00200
FIXED(ITOTV)=0.0                ALG00210
100 CONTINUE                    ALG00220
RETURN                      ALG00230
END                         ALG00240
SUBROUTINE STIFFPP(COORD,EPSTN,IINCS,LNODS,MATNO,MEVAB,MMATS,
                     MPCIN,MTOTV,NELEM,NEVAB,NGAUS,NNODE,NSTRE,
                     NSTR1,POSGP,PROPS,WEIGP,MELEM,MTOTG,
                     STRSG,NTYPE,NCRIT)  STI00010
STI00020
STI00030
STI00040
C++++ NEXT CARD WAS ADDED      STI00050
IMPLICIT REAL*8(A-H,O-Z)      STI00060
C***** THIS SUBROUTINE EVALUATES THE STIFFNESS MATRIX FOR EACH ELEMENT  STI00070
C                                           STI00080
C   IN TURN                      STI00090
C                                           STI00100
C                                           STI00110
C***** THIS SUBROUTINE EVALUATES THE STIFFNESS MATRIX FOR EACH ELEMENT  STI00120
DIMENSION BMATX(4,18),CARTD(2,9),COORD(MPOIN,2),DEMAT(4,18),
         DERIV(2,9),DEVIA(4),DMATX(4,4),          STI00130
         ELCOD(2,9),EPSTN(MTOTG),ESTIF(18,18),LNODS(MELEM,9),  STI00140
         MATNO(MELEM),POSGP(4),PROPS(MMATS,7),SHAPE(9),        STI00150
         WEIGP(4),STRES(4),STRSG(4,MTOTG),             STI00160
         DVECT(4),AVECT(4),GPCOD(2,9)                 STI00170
         TWOPI=6.283185308                           STI00180
REWIND 1                        STI00190
KGAUS=0                         STI00200
C                                           STI00210
C***   LOOP OVER EACH ELEMENT          STI00220
C                                           STI00230
C                                           STI00240
DO 70 IELEM=1,NELEM              STI00250
LPROP=MATNO(IELEM)               STI00260
C                                           STI00270
C***   EVALUATE THE COORDINATES OF THE ELEMENT NODAL POINTS  STI00280
C                                           STI00290
DO 10 INODE=1,NNODE              STI00300
LNODE=IABS(LNODS(IELEM,INODE))  STI00310
IPOSN=(LNODE-1)*2                STI00320
DO 10 IDIME=1,2                  STI00330
IPOSN=IPOSN+1                   STI00340
10 ELCOD(IDIME,INODE)=COORD(LNODE, IDIME)  STI00350
THICK=PROPS(LPROP,3)             STI00360

```

```

C STI00370
C*** INITIALIZE THE ELEMENT STIFFNESS MATRIX STI00380
C STI00390
C DO 20 IEVAB=1,NEVAB STI00400
DO 20 JEVAB=1,NEVAB STI00410
20 ESTIF(IEVAB,JEVAB)=0.0 STI00420
KGASP=0 STI00430
C STI00440
C*** ENTER LOOPS FOR AREA NUMERICAL INTEGRATION STI00450
C STI00460
C DO 50 IGAUS=1,NGAUS STI00470
EXISP=POSGP(IGAUS) STI00480
DO 50 JGAUS=1,NGAUS STI00490
ETASP=POSGP(JGAUS) STI00500
KGASP=KGASP+1 STI00510
KGAUS=KGAUS+1 STI00520
C STI00530
C*** EVALUATE THE D-MATRIX STI00540
C STI00550
CALL MODPS(DMATX,LPROP,MMATS,NTYPE,PROPS) STI00560
C STI00570
C*** EVALUATE THE SHAPE FUNCTIONS, ELEMENTAL VOLUMES, ETC. STI00580
C STI00590
CALL SFR2(DERIV,ETASP,EXISP,NNODE,SHAPE) STI00600
CALL JACOB2(CARTD,DERIV,DJACB,ELCOD,PCOD,IELEM,KGASP, NNODE,SHAPE) STI00610
DVOLU=DJACB*WEIGP(IGAUS)*WEIGP(JGAUS) STI00620
IF(NTYPE.EQ.3) DVOLU=DVOLU*TWOPI*PCOD(1,KGASP) STI00630
IF(THICK.NE.0.0) DVOLU=DVOLU*THICK STI00640
STI00650
C STI00660
C*** EVALUATE THE B AND DB MATRICES STI00670
C STI00680
CALL BMATPS(BMATX,CARTD,NNODE,SHAPE,PCOD,NTYPE,KGASP) STI00690
IF(IINCS.EQ.1) GO TO 80 STI00700
IF(EPSTN(KGAUS).EQ.0.0) GO TO 80 STI00710
C+++ ELASTIC SOLUTION. VERSION 3 STI00720
IF(NALGO.EQ.0) GO TO 80 STI00730
DO 90 ISTRI=1,NSTR1 STI00740
90 STRES(ISTRI)=STRSG(ISTRI,KGAUS) STI00750
CALL INVAR(DEVIA,LPROP,MMATS,NCRIT,PROPS,SINT3,STEFF,STRES, THETA,VARJ2,YIELD) STI00760
CALL YIELDF(AVECT,DEVIA,LPROP,MMATS,NCRIT,NSTR1, PROPS,SINT3,STEFF,THETA,VARJ2,SGTOT) STI00770
C+++ CALL FLOWPL(AVECT,ABETA,DVECT,NTYPE,PROPS,LPROP,NSTR1,MMATS) STI00780
C+++ VERSION 4 +++ Hooke-Brown CRITERION +++++ STI00790
CALL FLOWPL(AVECT,ABETA,DVECT,NTYPE,PROPS,LPROP,NSTR1,MMATS) STI00800
C+++ STRES) STI00810
DO 100 ISTRE=1,NSTRE STI00820
DO 100 JSTRE=1,NSTRE STI00830
100 DMATX(ISTRE,JSTRE)=DMATX(ISTRE,JSTRE)-ABETA*DVECT(ISTRE)* DVECT(JSTRE) STI00840
80 CONTINUE STI00850
CALL DBE(BMATX,DBMAT,DMATX,MEVAB,NEVAB,NSTRE,NSTR1) STI00860
C STI00870
C*** CALCULATE THE ELEMENT STIFFNESSES STI00880
C STI00890
DO 30 IEVAB=1,NEVAB STI00900
DO 30 JEVAB=IEVAB,NEVAB STI00910
DO 30 ISTRE=1,NSTRE STI00920
30 ESTIF(IEVAB,JEVAB)=ESTIF(IEVAB,JEVAB)+BMATX(ISTRE,IEVAB)* DBMAT(ISTRE,JEVAB)*DVOLU STI00930
50 CONTINUE STI00940
C STI00950
C*** CONSTRUCT THE LOWER TRIANGLE OF THE STIFFNESS MATRIX STI00960
C STI00970
DO 60 IEVAB=1,NEVAB STI00980
DO 60 JEVAB=1,NEVAB STI00990
60 ESTIF(JEVAB,IEVAB)=ESTIF(IEVAB,JEVAB) STI01000
C STI01010
C*** STORE THE STIFFNESS MATRIX,STRESS MATRIX AND SAMPLING POINT STI01020
C COORDINATES FOR EACH ELEMENT ON DISC FILE STI01030
C STI01040
WRITE(1) ESTIF STI01050
70 CONTINUE STI01060
RETURN STI01070
END STI01080
SUBROUTINE MODPS(DMATX,LPROP,MMATS,NTYPE,PROPS) STI01090
C+++ NEXT CARD WAS ADDED MOD00010
MOD00020

```

```

IMPLICIT REAL*8 (A-H,O-Z)                               MOD00030
C***** **** THIS SUBROUTINE EVALUATES THE D-MATRIX      MOD00040
C                                                               MOD00050
C                                                               MOD00060
C                                                               MOD00070
C***** **** DIMENSION DMATX(4,4), PROPS(MMATS,7)        MOD00080
C                                                               MOD00090
C                                                               MOD00100
C                                                               MOD00110
C                                                               MOD00120
C                                                               MOD00130
C                                                               MOD00140
C                                                               MOD00150
C                                                               MOD00160
C                                                               MOD00170
C                                                               MOD00180
C                                                               MOD00190
C                                                               MOD00200
C                                                               MOD00210
C                                                               MOD00220
C                                                               MOD00230
C                                                               MOD00240
C                                                               MOD00250
C                                                               MOD00260
C                                                               MOD00270
C                                                               MOD00280
C                                                               MOD00290
C                                                               MOD00300
C                                                               MOD00310
C                                                               MOD00320
C                                                               MOD00330
C                                                               MOD00340
C                                                               MOD00350
C                                                               MOD00360
C                                                               MOD00370
C                                                               MOD00380
C                                                               MOD00390
C                                                               MOD00400
C                                                               MOD00410
C                                                               MOD00420
C                                                               MOD00430
C                                                               MOD00440
C                                                               MOD00450
C                                                               MOD00460
C                                                               MOD00470
C                                                               MOD00480
C                                                               MOD00490
C                                                               MOD00500
C                                                               MOD00510
C                                                               MOD00520
C                                                               MOD00530
C                                                               MOD00540
C                                                               MOD00550
C                                                               EMA00010
C                                                               EMA00020
C                                                               EMA00030
C***** **** SUBROUTINE BMATPS (BMATX, CARTD, NNODE, SHAPE, GPCOD, NTYPE, KGASP) EMA00040
C***** NEXT CARD WAS ADDED
C***** IMPLICIT REAL*8 (A-H,O-Z)                                EMA00050
C                                                               EMA00060
C                                                               EMA00070
C***** **** DIMENSION BMATX(4,18), CARTD(2,9), SHAPE(9), GPCOD(2,9)    EMA00080
C                                                               EMA00090
C                                                               EMA00100
C                                                               EMA00110
C                                                               EMA00120
C                                                               EMA00130
C                                                               EMA00140
C                                                               EMA00150
C                                                               EMA00160
C                                                               EMA00170
C                                                               EMA00180
C                                                               EMA00190
C                                                               EMA00200
C                                                               EMA00210
C                                                               EMA00220
C                                                               EMA00230
C                                                               EMA00240
C                                                               EMA00250

```

```

SUBROUTINE DBE(DMATX,DMATB,DMATC,MEVAB,NEVAB,NSTRE,NSTR1)      DBE00010
C++++ NEXT CARD WAS ADDED
C***** IMPLICIT REAL*8(A-H,O-Z)                                     DBE00020
C***** DRE00040
C***** DRE00050
C***** THIS SUBROUTINE MULTIPLIES THE D-MATRIX BY THE B-MATRIX   DBE00060
C***** DRE00070
C***** DIMENSION BMATX(NSTR1,MEVAB),DMATB(NSTR1,MEVAB),          DRE00080
C***** DMATC(NSTR1,NSTR1)                                           DRE00090
C***** DMATX(ISTRE,JSTRE)=DMATB(ISTRE,IEVAB)+                  DRE00100
C***** DMATC(ISTRE,JSTRE)*BMATX(JSTRE,IEVAB)                   DRE00110
C***** DO 2 ISTRE=1,NSTRE                                         DRE00120
C***** DO 2 JSTRE=1,NSTRE                                         DRE00130
C***** DMATB(ISTRE,IEVAB)=DMATB(ISTRE,IEVAB)+                  DRE00140
C***** DMATX(ISTRE,JSTRE)*BMATX(JSTRE,IEVAB)                   DRE00150
C***** 2 CONTINUE
C***** RETURN
C***** END

SUBROUTINE FRONT(ASDIS,ELOAD,EORHS,EQUAT,ESTIF,FIXED,IFFIX,INCS,    DBE00160
C***** IITER,GLORD,GSIF,LOCM,INODS,KRESL,MRESA,MRESB,               DBE00170
C***** MEVAB,MERON,MSTIF,MTRY,VECRV(MFRON),LOCN,INODE,NOFIX,NEVAB,     DBE00180
C***** NDOFN,NELEM,NEVAB,NNODE,NOFLX,NTOTV,TDISP,TLOAD,TRECAC,VECRV)  DBE00190
C***** C+++++ NEXT CARD WAS ADDED
C***** IMPLICIT REAL*8(A-H,O-Z)                                     FRO00010
C***** FRO00020
C***** C*** THIS SUBROUTINE UNDERTAKES EQUATION SOLUTION BY THE FRONTAL FRO00030
C***** METHOD
C***** C***+
C***** DIMENSION ASDIS(MTOTV),ELOAD(NELEM,MEVAB),EORHS(MRESA),        FRO00040
C***** EQUAT(MFRON,MBUFA),ESTIF(MEVAB,MEVAB),FIXED(MTOTV)             FRO00050
C***** IFFIX(MTOTV),NTOTV(MBUFA),VECRV(MFRON),GLORD(MFRON),           FRO00060
C***** GSIF(MSTIF),INODS(NELEM,9),LOCN(MEVAB),NACVA(MERON),            FRO00070
C***** NAMEV(MEWA),NDEST(MEVAB),NOFLX(MWFLX),NODCTP(2),              FRO00080
C***** TDISP(MTOTV),TLOAD(NELEM,MEVAB),TREC(MWFLX,NDOFN)              FRO00090
C***** NTONG(I,J)=(J+J-J)/2+1
C***** C*** CHANGE THE SIGN OF THE LAST APPEARANCE OF EACH NODE
C***** C
C***** IF(I,INCS.GT.1.OR.IITER.GT.1) GO TO 455
C***** DO 140 IPOIN=1,NNODE
C***** KLAST=0
C***** DO 130 IELM=1,NELEM
C***** DO 120 INODE=1,NNODE
C***** IF(INODS(IELM,INODE).NE.IPOIN) GO TO 120
C***** KLAST=IELM
C***** NLAST=INODE
C***** 120 CONTINUE
C***** 130 CONTINUE
C***** IF(KLAST.NE.0) INODS(KLAST,NLAST)=-IPOIN
C***** 140 CONTINUE
C***** 455 CONTINUE
C***** C*** START BY INITIALIZING EVERYTHING THAT MATTERS TO ZERO
C***** C
C***** DO 450 IREFA=1,MEUFA
C***** EQRHS(IRBUFA)=0.0
C***** DO 150 ISTIF=1,MSTIF
C***** GSIF(ISTIF)=0.0
C***** DO 160 IFRON=1,MFRON
C***** GLOAD(IFRON)=0.0
C***** VECRV(IFRON)=0.0
C***** NACVA(IFRON)=0
C***** DO 160 IBUFA=1,MEUFA
C***** EQUIT(IFRON,IBUFA)=0.0
C***** C*** AND PREPARE FOR DISK READING AND WRITING OPERATIONS
C***** C
C***** NBUFPA=0
C***** IF(KRESL.GT.1) NEUFA=MEUFA
C***** REWIND 1
C***** REWIND 2
C***** REWIND 3
C***** REWIND 4
C***** REWIND 8

```

```

C
C*** ENTER MAIN ELEMENT ASSEMBLY-REDUCTION LOOP
C
NFRON=0 FRO00600
KELVA=0 FRO00610
DO 320 IELEM=1,NELEM FRO00620
IF(KRESL.GT.1) GO TO 400 FRO00630
KEVAB=0 FRO00640
READ(1) ESTIF FRO00650
DO 170 INODE=1,NNODE FRO00660
DO 170 IDOFN=1,NDOFN FRO00670
NPOSI=(INODE-1)*NDOFN+IDOFN FRO00680
LOCNO=LNODES(IELEM,INODE) FRO00690
IF(LOCNO.GT.0) LOCEL(NPOSI)=(LOCNO-1)*NDOFN+IDOFN FRO00700
IF(LOCNO.LT.0) LOCEL(NPOSI)=(LOCNO+1)*NDOFN-IDOFN FRO00710
170 CONTINUE FRO00720
FRO00730
FRO00740
FRO00750
C
C*** START BY LOOKING FOR EXISTING DESTINASTIONS
C
DO 210 IEVAB=1,NEVAB FRO00760
NIKNO=IABS(LOCEL(IEVAB)) FRO00770
KEXIS=0 FRO00780
C**** NEXT CARD HAS BEEN ADDED +*** REMOVE INCOMPATIBILITY +*** FRO00790
IF(NFRON.EQ.0) GO TO 181 FRO00800
DO 180 IFRON=1,NFRON FRO00810
IF(NIKNO.NE.NACVA(IFRON)) GO TO 180 FRO00820
KEVAB=KEVAB+1 FRO00830
KEXIS=1 FRO00840
NDEST(KEVAB)=IFRON FRO00850
180 CONTINUE FRO00860
FRO00870
FRO00880
FRO00890
C**** NEXT CARD HAS BEEN ADDED +*** REMOVE INCOMPATIBILITY +*** FRO00900
181 CONTINUE FRO00910
IF(KEXIS.NE.0) GO TO 210 FRO00920
C
C*** WE NOW SEEK NEW EMPTY PLACES FOR DESTINATION VECTOR
C
DO 190 IFRON=1,MFRON FRO00930
IF(NACVA(IFRON).NE.0) GO TO 190 FRO00940
NACVA(IFRON)=NIKNO FRO00950
KEVAB=KEVAB+1 FRO00960
NDEST(KEVAB)=IFRON FRO00970
GO TO 200 FRO00980
190 CONTINUE FRO00990
FRO01000
FRO01010
FRO01020
FRO01030
C
C*** THE NEW PLACES MAY DEMAND INCRREASE IN CURRENT FRONTWIDTH
C
200 IF(NDEST(KEVAB).GT.NFRON) NFRON=NDEST(KEVAB) FRO01040
210 CONTINUE FRO01050
WRITE(8) LOCEL,NDEST,NACVA,NFRON FRO01060
400 IF(KRESL.GT.1) READ(8) LOCEL,NDEST,NACVA,NFRON FRO01070
FRO01080
FRO01090
C
C*** ASSEMBLE ELEMENTS LOADS
C
DO 220 IEVAB=1,NEVAB FRO01100
IDEST=NDEST(IEVAB) FRO01110
GLOAD(IDEST)=GLOAD(IDEST)+ELOAD(IELEM,IEVAB) FRO01120
FRO01130
FRO01140
FRO01150
FRO01160
FRO01170
FRO01180
FRO01190
FRO01200
FRO01210
FRO01220
FRO01230
FRO01240
FRO01250
FRO01260
FRO01270
FRO01280
FRO01290
C
C*** ASSEMBLE THE ELEMENT STIFFNESS-BUT NOT IN RESOLUTION
C
IF(KRESL.GT.1) GO TO 402 FRO01300
DO 222 JEVAB=1,IEVAB FRO01310
JDEST=NDEST(JEVAB)
NGASH=NFUNC(IDEST,JDEST)
NGISH=NFUNC(JDEST,IDEEST)
IF(JDEST.GE.IDEST) GSTIF(NGASH)=GSTIF(NGASH)+ESTIF(IEVAB,JEVAB)
IF(JDEST.LT.IDEST) GSTIF(NGISH)=GSTIF(NGISH)+ESTIF(IEVAB,JEVAB)
222 CONTINUE FRO01320
402 CONTINUE FRO01330
220 CONTINUE FRO01340
FRO01350
FRO01360
FRO01370
C
C*** RE-EXAMINE EACH ELEMENT NODE, TO ENQUIRE WHICH CAN BE ELEIMINATED
C
DO 310 IEVAB=1,NEVAB
NIKNO=-LOCEL(IEVAB)
IF(NIKNO.LE.0) GO TO 310
C
C*** FIND POSITION OF VARIABLES READY FOR ELIMINATION

```

```

DO 300 IFRON=1,NFRON          FRO01380
IF(NACVA(IFRON).NE.NIKNO) GO TO 300      FRO01390
NBUFA=NBUFA+1                      FRO01400
C                                     FRO01410
C*** WRITE EQUATIONS TO DISC OR TO TAPE   FRO01420
C                                     FRO01430
IF(NBUFA.LE.MBUFA) GO TO 406          FRO01440
NBUFA=1                            FRO01450
IF(KRESL.GT.1) GO TO 408          FRO01460
WRITE(2) EQUAT,EQRHS,NPIVO,NAMEV    FRO01470
GO TO 406                          FRO01480
408 WRITE(4) EQRHS                FRO01490
READ(2) EQUAT,EQRHS,NPIVO,NAMEV    FRO01500
406 CONTINUE                      FRO01510
C                                     FRO01520
C*** EXTRACT THE COEFFICIENTS OF THE NEW EQUATION FOR ELIMINATION FRO01530
C                                     FRO01540
IF(KRESL.GT.1) GO TO 404          FRO01550
DO 230 JFRON=1,MFRON            FRO01560
IF(IFRON.LT.JFRON) NLOCA=NFUNC(IFRON,JFRON) FRO01570
IF(IFRON.GE.JFRON) NLOCA=NFUNC(JFRON,IFRON) FRO01580
EQUAT(JFRON,NBUFA)=GSTIF(NLOCA)        FRO01590
230 GSTIF(NLOCA)=0.0             FRO01600
404 CONTINUE                      FRO01610
C                                     FRO01620
C*** AND EXTRACT THE CORRESPONDING RIGHT HAND SIDES FRO01630
C                                     FRO01640
EQRHS(NBUFA)=GLOAD(IFRON)          FRO01650
GLOAD(IFRON)=0.0                  FRO01660
KELVA=KELVA+1                    FRO01670
NAMEV(NBUFA)=NIKNO               FRO01680
NPIVO(NBUFA)=IFRON              FRO01690
C                                     FRO01700
C*** DEAL WITH PIVOT             FRO01710
C                                     FRO01720
PIVOT=EQUAT(IFRON,NBUFA)          FRO01730
IF(PIVOT.GT.0.0) GO TO 235        FRO01740
WRITE(6,900) NIKNO,PIVOT         FRO01750
900 FORMAT(1B0,3X,52HNEGATIVE OR ZERO PIVOT ENCOUNTERED FOR VARIABLE NFRON) FRO01760
.0.,I4, 10H OF VALUE ,E17.6)      FRO01770
STOP                                FRO01780
235 CONTINUE                      FRO01790
EQUAT(IFRON,NBUFA)=0.0           FRO01800
C                                     FRO01810
C*** ENQUIRE WHETHER PRESENT VARIABLE IS FREE OR PRESCRIBED FRO01820
C                                     FRO01830
IF(IFFIX(NIKNO).EQ.0) GO TO 250  FRO01840
C                                     FRO01850
C*** DEAL WITH A PRESCRIBED DEFLECTION FRO01860
C                                     FRO01870
DO 240 JFRON=1,NFRON            FRO01880
240 GLOAD(JFRON)=GLOAD(JFRON)-FIXED(NIKNO)*EQUAT(JFRON,NBUFA) FRO01890
GO TO 280                          FRO01900
C                                     FRO01910
C*** ELIMINATE A FREE VARIABLE - DEAL WITH THE RIGHT HAND SIDE FIRST FRO01920
C                                     FRO01930
250 DO 270 JFRON=1,NFRON          FRO01940
GLOAD(JFRON)=GLOAD(JFRON)-EQUAT(JFRON,NBUFA)*EQRHS(NBUFA)/PIVOT FRO01950
C                                     FRO01960
C*** NOW DEAL WITH THE COEFFICIENTS IN CORE FRO01970
C                                     FRO01980
IF(KRESL.GT.1) GO TO 418          FRO01990
IF(EQUAT(JFRON,NBUFA).EQ.0.0) GO TO 270      FRO02000
NLOCA=NFUNC(0,JFRON)             FRO02010
CUREQ=EQUAT(JFRON,NBUFA)        FRO02020
DO 260 LFRON=1,JFRON            FRO02030
NGASH=LFRON+NLOCA              FRO02040
260 GSTIF(NGASH)=GSTIF(NGASH)-CUREQ*EQUAT(LFRON,NBUFA)      FRO02050
/PIVOT                           FRO02060
418 CONTINUE                      FRO02070
270 CONTINUE                      FRO02080
280 EQUAT(IFRON,NBUFA)=PIVOT    FRO02090
C                                     FRO02100
C*** RECORD THE NEW VACANT SPACE, AND REDUCE FRONTWIDTH IF POSSIBLE FRO02110
C                                     FRO02120
NACVA(IFRON)=0                   FRO02130
GO TO 290                         FRO02140
C                                     FRO02150

```

```

C*** COMPLETE ELEMENT LOOP IN THE FORWARD ELIMINATION FRO02160
C FRO02170
300 CONTINUE FRO02180
290 IF(NACVA(NFRON).NE.0) GO TO 310 FRO02190
NFRON=NFRON-1 FRO02200
IF(NFRON.GT.0) GO TO 290 FRO02210
310 CONTINUE FRO02220
320 CONTINUE FRO02230
IF(KRESL.EQ.1) WRITE(2) EQUAT,EQRHS,NPIVO,NAMEV FRO02240
BACKSPACE 2 FRO02250
C FRO02260
C*** ENTER BACK-SUBSTITUTION PHASE. LOOP BACKWARDS THROUGH VARIABLES FRO02270
C FRO02280
DO 340 IELVA=1,KELVA FRO02290
C FRO02300
C*** READ A NEW BLOCK OF EQUATIONS - IF NEEDED FRO02310
C FRO02320
IF(NBUFA.NE.0) GO TO 412 FRO02330
BACKSPACE 2 FRO02340
READ(2) EQUAT,EQRHS,NPIVO,NAMEV FRO02350
BACKSPACE 2 FRO02360
NBUFA=MBUFA FRO02370
IF(KRESL.EQ.1) GO TO 412 FRO02380
BACKSPACE 4 FRO02390
READ(4) EQRHS FRO02400
BACKSPACE 4 FRO02410
412 CONTINUE FRO02420
C FRO02430
C*** PREPARE TO BACK-SUBSTITUTE FROM THE CURRENT EQUATION FRO02440
C FRO02450
IFRON=NPIVO(NBUFA) FRO02460
NIKNO=NAMEV(NBUFA) FRO02470
PIVOT=EQUAT(IFRON,NBUFA) FRO02480
IF(IFFIX(NIKNO).NE.0) VECRV(IFRON)=FIXED(NIKNO) FRO02490
IF(IFFIX(NIKNO).EQ.0) EQUAT(IFRON,NBUFA)=0.0 FRO02500
C FRO02510
C*** BACK-SUBSTITUTE IN THE CURRENT EQUATION FRO02520
C FRO02530
DO 330 JFRON=1,MFRON FRO02540
330 EQRHS(NBUFA)=EQRHS(NBUFA)-VECRV(JFRON)*EQUAT(JFRON,NBUFA) FRO02550
C FRO02560
C*** PUT THE FINAL VALUES WHERE THEY BELONG FRO02570
C FRO02580
IF(IFFIX(NIKNO).EQ.0) VECRV(IFRON)=EQRHS(NBUFA)/PIVOT FRO02590
IF(IFFIX(NIKNO).NE.0) FIXED(NIKNO)=--EQRHS(NBUFA) FRO02600
NBUFA=MBUFA-1 FRO02610
ASDIS(NIKNO)=VECRV(IFRON) FRO02620
340 CONTINUE FRO02630
C FRO02640
C*** ADD DISPLACEMENTS TO PREVIOUS TOTAL VLUES FRO02650
C FRO02660
DO 345 ITOTV=1,NTOTV FRO02670
345 TDISP(ITOTV)=TDISP(ITOTV)+ASDIS(ITOTV) FRO02680
C FRO02690
C*** STORE REACTIONS FOR PRINTING LATER FRO02700
C FRO02710
KBOUN=1 FRO02720
DO 370 IPOIN=1,NPOIN FRO02730
NLOCA=(IPOIN-1)*NDOFN FRO02740
DO 350 IDOFN=1,NDOFN FRO02750
NGUSH=NLOCA+IDOFN FRO02760
IF(IFFIX(NGUSH).GT.0) GO TO 360 FRO02770
350 CONTINUE FRO02780
GO TO 370 FRO02790
360 DO 510 IDOFN=1,NDOFN FRO02800
NGASH=NLOCA+IDOFN FRO02810
510 TREAC(KBOUN, IDOFN)=TREAC(KBOUN, IDOFN)+FIXED(NGASH) FRO02820
KBOUN=KBOUN+1 FRO02830
370 CONTINUE FRO02840
C FRO02850
C*** ADD REACTIONS INTO THE TOTAL LOAD ARRAY FRO02860
C FRO02870
DO 700 IPOIN=1,NPOIN FRO02880
DO 710 IELEM=1,NELEM FRO02890
DO 710 INODE=1,NNODE FRO02900
NLOCA=LABS(LNODS(IELEM, INODE)) FRO02910
IF(IPOIN.EQ.NLOCA) GO TO 720 FRO02920
C++++ NEXT CARD WAS ADDED FRO02930

```

```

710 CONTINUE FRO02940
720 DO 730 IDOFN=1,NDOFN FRO02950
    NGASH=(INODE-1)*NDOFN+IDOFN FRO02960
    MGASH=(IPOIN-1)*NDOFN+IDOFN FRO02970
730 TLOAD(IELEM,NGASH)=TLOAD(IELEM,NGASH)+FIXED(MGASH) FRO02980
700 CONTINUE FRO02990
    RETURN FRO03000
    END FRO03010
    SUBROUTINE RESIDU(ASDIS,COORD,EFFST,ELOAD,FACTO,IITER,LNQDS,
    LPROP,MATNO,MELEM,MMATS,MPOIN,MTOTG,MTOTV,NDOFN,RES00020
    NELEM,NEVAB,NGAUS,NNODE,NSTR1,NTYPE,POSGP,PROPS,RES00030
    NSTRE,NCRIT,STRSG,WEIGP,TDISP,EPSTN,SIZEF,NALGO)RES00040
C++++ NEXT CARD WAS ADDED RES00050
    IMPLICIT REAL*8(A-B,O-Z) RES00060
C***** THIS SUBROUTINE REDUCES THE STRESSES TO THE YIELD SURFACE AND RES00070
C EVALUATES THE EQUIVALENT NODAL FORCES RES00080
C
C***** DIMENSION ASDIS(MTOTV),AVECT(4),CARTD(2,9),COORD(MPOIN,2), RES00090
    DEVIC(4),DVECT(4),EFFST(MTOTG),ELCOD(2,9),ELDIS(2,9), RES00100
    ELOAD(MELEM,18),LNQDS(MELEM,9),POSGP(4),PROPS(MMATS,7), RES00110
    STRAN(4),STRS(4),STRSG(4,MTOTG), RES00120
    WEIGP(4),DLCOD(2,9),DESIG(4),SIGMA(4),SGTOT(4), RES00130
    DMATX(4,4),DERIV(2,9),SHAPE(9),GPCOD(2,9), RES00140
    EPSTN(MTOTG),TDISP(MTOTV),MATNO(MELEM),BMATX(4,18), RES00150
    SIZEF(MELEM),STEMP(4), RES00160
C++++ NEXT 4 CARDS WERE ADDED +++++ DOUBLE PRECISION +++++ RES00170
    COS(REAL8)=DCOS(REAL8) RES00180
    SIN(REAL8)=DSIN(REAL8) RES00190
    TAN(X)=DTAN(X) RES00200
    SQRT(X)=DSQRT(X) RES00210
    ROOT3=1.73205080757 RES00220
    TWOPI=6.283185308 RES00230
    DO 10 IELEM=1,NELEM RES00240
    DO 10 IEVAB=1,NEVAB RES00250
10 ELOAD(IELEM,IEVAB)=0.0 RES00260
    KGAUS=0 RES00270
    DO 20 IELEM=1,NELEM RES00280
C++++ SCALE EFFECT UPON ROCK MASS STRENGTH. VERSION 3 RES00290
    SIZE=SIZEF(IELEM) RES00300
    LPROP=MATNO(IELEM) RES00310
    UNIAX=PROPS(LPROP,5) * SIZE RES00320
    HARDS=PROPS(LPROP,6) RES00330
    FRICT=PROPS(LPROP,7) RES00340
C++++ NEXT CARD WAS ADDED +++++ DOUBLE PRECISION +++++ RES00350
    TEMPO=FRICT*0.017453292 RES00360
    IF(NCRIT.EQ.3) UNIAX=PROPS(LPROP,5)*COS(TEMPO) * SIZE RES00370
C++++ IF(NCRIT.EQ.4) UNIAX=6.0*PROPS(LPROP,5)*COS(TEMPO)/ RES00380
C++++ (ROOT3*(3.0-SIN(TEMPO))) RES00390
    TNPHI=TAN(TEMPO) RES00400
    IF(NCRIT.EQ.4) UNIAX=(3.0*UNIAX)/(SQRT(9.0+12.0*(TNPHI)**2))*SIZE RES00410
C
C.... HOEK-BROWN VERSION 5 ...CRITERION 6... (NEXT LINE)
C
    IF(NCRIT.EQ.6) UNIAX=SQRT(PROPS(LPROP,5)) RES00420
C*** COMPUTE COORDINATES AND INCREMENTAL DISPLACEMENTS OF THE RES00430
C ELEMENT NODAL POINTS RES00440
C
    DO 30 INODE=1,NNODE RES00450
    LNODF=LABS(LNQDS(IELEM,INODE)) RES00460
    NPOSN=(LNODF-1)*NDOFN RES00470
    DO 30 IDOFN=1,NDOFN RES00480
    NPOSN=NPOSN+1 RES00490
    ELCOD(IDOFN,INODE)=COORD(LNODF,IDOFN) RES00500
30 ELDIS(IDOFN,INODE)=ASDIS(NPOSN) RES00510
    CALL MODPS(DMATX,LPROP,MMATS,NTYPE,PROPS) RES00520
    THICK=PROPS(LPROP,3) RES00530
    KGASP=0 RES00540
    DO 40 IGAUS=1,NGAUS RES00550
    DO 40 JGAUS=1,NGAUS RES00560
    EXISP=POSGP(IGAUS) RES00570
    ETASP=POSGP(JGAUS) RES00580
    KGAUS=KGAUS+1 RES00590
    KGASP=KGASP+1 RES00600
    CALL SFR2(DERIV,ETASP,EXISP,NNODE,SHAPE) RES00610

```

```

CALL JACOB2(CARTD,DERIV,DJACB,ELCOD,GPCOD,IELEM,KGASP,
NNODE,SHAPE) RES00670
DVOLU=DJACB*WEIGP(IGAUS)*WEIGP(JGAUS) RES00680
IF(NTYPE.EQ.3) DVOLU=DVOLU*TWOPI*GPCOD(1,KGASP) RES00690
IF(THICK.NE.0.0) DVOLU=DVOLU*THICK RES00700
CALL BMATPS(BMATX,CARTD,NNODE,SHAPE,GPCOD,NTYPE,KGASP) RES00710
CALL LINEAR(CARTD,DMATX,ELDIS,LPROP,MMATS,NDOFN,NNODE,NSTRE,
NTYPE,PROPS,STRAN,STRES,KGASP,GPCOD,SHAPE) RES00720
C++++ PREYS=UNIAX+EPSTN(KGAUS)*HARDS +++++ HOEK-BROWN +++++ MOVED DOWN
DO 150 ISTR1=1,NSTR1 RES00730
DESIG(ISTR1)=STRES(ISTR1) RES00740
C++++ HOEK-BROWN CRITERION +++ VERSION 4 +++ NEXT LINE
STEMP(ISTR1)=STRSG(ISTR1,KGAUS) RES00750
150 SIGMA(ISTR1)=STRSG(ISTR1,KGAUS)+STRES(ISTR1) RES00760
C++++ ELASTIC SOLUTION. VERSION 3 RES00770
IF(NALGO.EQ.0) GO TO 60 RES00780
C++++ HOEK-BROWN CRITERION +++ VERSION 4 +++ NEXT 4 LINES
IF(NCRIT.NE.5) GO TO 1000 RES00790
CALL HOEK(PROPS(LPROP,5),PROPS(LPROP,7),STEMP,COHES,FRICT)
UNIAX=COHES*COS(FRICT)*SIZE RES00800
1000 CONTINUE RES00810
PREYS=UNIAX+EPSTN(KGAUS)*HARDS RES00820
CALL INVAR(DEVIA,LPROP,MMATS,NCRIT,PROPS,SINT3,STEFF,SIGMA,
THETA,VARJ2,YIELD) RES00830
ESPRE=EFFST(KGAUS)-PREYS RES00840
IF(ESPRE.GE.0.0) GO TO 50 RES00850
ESCUR=YIELD-PREYS RES00860
IF(ESCUR.LE.0.0) GO TO 60 RES00870
RFACT=ESCUR/(YIELD-EFFST(KGAUS)) RES00880
GO TO 70 RES00890
50 ESCUR=YIELD-EFFST(KGAUS) RES00900
IF(ESCUR.LE.0.0) GO TO 60 RES00910
RFACT=1.0 RES00920
70 MSTEP=ESCUR*8.0/UNIAX+1.0 RES00930
ASTEP=MSTEP RES00940
REDUC=1.0-RFACT RES00950
DO 80 ISTR1=1,NSTR1 RES00960
SGTOT(ISTR1)=STRSG(ISTR1,KGAUS)+REDUC*STRES(ISTR1) RES00970
80 STRES(ISTR1)=RFACT*STRES(ISTR1)/ASTEP RES00980
DO 90 ISTEP=1,MSTEP RES00990
CALL INVAR(DEVIA,LPROP,MMATS,NCRIT,PROPS,SINT3,STEFF,SGTOT,
THETA,VARJ2,YIELD) RES01000
C+++ CALL YIELDF(AVECT,DEVIA,LPROP,MMATS,NCRIT,NSTR1, +--+VERSION 4 ++
PROPS,SINT3,STEFF,THETA,VARJ2) +--+ HOEK-BROWN+ RES01010
C+++ CALL YIELDF(AVECT,DEVIA,LPROP,MMATS,NCRIT,NSTR1,
PROPS,SINT3,STEFF,THETA,VARJ2,SGTOT) RES01020
CALL FLOWPL(AVECT,ABETA,DVECT,NTYPE,PROPS,LPROP,NSTR1,MMATS)
AGASH=0.0 RES01030
DO 100 ISTR1=1,NSTR1 RES01040
100 AGASH=AGASH+AVECT(ISTR1)*STRES(ISTR1) RES01050
DLAMD=AGASH*ABETA RES01060
IF(DLAMD.LT.0.0) DLAMD=0.0 RES01070
BGASH=0.0 RES01080
DO 110 ISTR1=1,NSTR1 RES01090
BGASH=BGASH+AVECT(ISTR1)*SGTOT(ISTR1) RES01100
110 SGTOT(ISTR1)=SGTOT(ISTR1)+STRES(ISTR1)-DLAMD*DVECT(ISTR1) RES01110
EPSTN(KGAUS)=EPSTN(KGAUS)+DLAMD*BGASH/YIELD RES01120
90 CONTINUE RES01130
CALL INVAR(DEVIA,LPROP,MMATS,NCRIT,PROPS,SINT3,STEFF,SGTOT,
THETA,VARJ2,YIELD) RES01140
CURYS=UNIAX+EPSTN(KGAUS)*HARDS RES01150
BRING=1.0 RES01160
IF(YIELD.GT.CURYS) BRING=CURYS/YIELD RES01170
DO 130 ISTR1=1,NSTR1 RES01180
130 STRSG(ISTR1,KGAUS)=BRING*SGTOT(ISTR1) RES01190
EFFST(KGAUS)=BRING*YIELD RES01200
C*** ALTERNATIVE LOCATION OF STRESS REDUCTION LOOP TERMINATION CARD
C 90 CONTINUE RES01210
C*** GO TO 190 RES01220
60 DO 180 ISTR1=1,NSTR1 RES01230
180 STRSG(ISTR1,KGAUS)=STRSG(ISTR1,KGAUS)+DESIG(ISTR1) RES01240
C+++ EFFST(KGAUS)=YIELD +++ ELASTIC SOLUTION +++ VERSION 3 RES01250
IF(NALGO.NE.0) EFFST(KGAUS)=YIELD RES01260
C C*** CALCULATE THE EQUIVALENT NODAL FORCES AND ASSOCIATE WITH THE
ELEMENT NODES RES01270
C C C RES01280
C C C RES01290
C C C RES01300
C C C RES01310
C C C RES01320
C C C RES01330
C C C RES01340
C C C RES01350
C C C RES01360
C C C RES01370
C C C RES01380
C C C RES01390
C C C RES01400
C C C RES01410
C C C RES01420
C C C RES01430
C C C RES01440

```

```

190 MGASH=0 RES01450
DO 140 INODE=1,NNODE RES01460
DO 140 IDOFN=1,NDOFN RES01470
MGASH=MGASH+1 RES01480
DO 140 ISTRE=1,NSTRE RES01490
140 ELOAD (IELEM,MGASH)=ELOAD (IELEM,MGASH)+BMATX (ISTRE,MGASH) *
STRSG (ISTRE,KGAUS)*DVOLU RES01500
40 CONTINUE RES01510
20 CONTINUE RES01520
RETURN RES01530
END RES01540
RES01550
SUBROUTINE LINEAR (CARTD,DMATX,ELDIS,LPROP,MMATS,NDOFN,NNODE,NSTRE,LIN00010
NTYPE,PROPS,STRAN,STRES,KGASP,GPCOD,SHAPE) LIN00020
C++++ NEXT CARD WAS ADDED LIN00030
IMPLICIT REAL*8 (A-H,O-Z) LIN00040
C***** LIN00050
C LIN00060
C**** THIS SUBROUTINE EVALUATES STRESSES AND STRAINS ASSUMING LINEAR LIN00070
C ELASTIC BEHAVIOUR LIN00080
C LIN00090
C***** LIN00100
DIMENSION AGASH(2,2),CARTD(2,9),DMATX(4,4),ELDIS(2,9),
PROPS(MMATS,7),STRAN(4),STRES(4),
GPCOD(2,9),SHAPE(9) LIN00110
POISS=PROPS(LPROP,2) LIN00120
DO 20 IDOFN=1,NDOFN LIN00130
DO 20 JDOFN=1,NDOFN LIN00140
BGASH=0.0 LIN00150
DO 10 INODE=1,NNODE LIN00160
10 BGASH=BGASH+CARTD(JDOFN,INODE)*ELDIS(IDOFN,INODE) LIN00170
20 AGASH(IDOFN,JDOFN)=BGASH LIN00180
C LIN00190
C*** CALCULATE THE STRAINS LIN00200
C LIN00210
C LIN00220
C LIN00230
STRAN(1)=AGASH(1,1) LIN00240
STRAN(2)=AGASH(2,2) LIN00250
STRAN(3)=AGASH(1,2)+AGASH(2,1) LIN00260
STRAN(4)=0.0 LIN00270
DO 30 INODE=1,NNODE LIN00280
30 STRAN(4)=STRAN(4)+ELDIS(1,INODE)*SHAPE(INODE)/GPCOD(1,KGASP) LIN00290
C LIN00300
C*** AND THE CORRESPONDING STRESSES LIN00310
C LIN00320
DO 40 ISTRE=1,NSTRE LIN00330
STRES(ISTRE)=0.0 LIN00340
DO 40 JSTRE=1,NSTRE LIN00350
40 STRES(ISTRE)=STRES(ISTRE)+DMATX(ISTRE,JSTRE)*STRAN(JSTRE) LIN00360
IF (NTYPE.EQ.1) STRES(4)=0.0 LIN00370
IF (NTYPE.EQ.2) STRES(4)=POISS*(STRES(1)+STRES(2)) LIN00380
RETURN LIN00390
END LIN00400
SUBROUTINE INVAR (DEVI, LPROP, MMATS, NCRT, PROPS, SINT3, STEFF, STEMP,
THETA, VARJ2, YIELD) INV00010
INV00020
C++++ THE NEXT CARD WAS ADDED INV00030
IMPLICIT REAL*8 (A-H,O-Z) INV00040
C***** INV00050
C INV00060
C**** THIS SUBROUTINE EVALUATES THE STRESS INVARIANTS AND THE CURRENT INV00070
C VALUE OF THE YIELD FUNCTION INV00080
C INV00090
C***** INV00100
DIMENSION DEVI(4),PROPS(MMATS,7),STEMP(4) INV00110
C++++ NEXT 5 CARDS WERE ADDED INV00120
ARSIN(REAL8)=DASIN(REAL8) INV00130
COS(REAL8)=DCOS(REAL8) INV00140
SIN(REAL8)=DSIN(REAL8) INV00150
SQRT(REAL8)=DSQRT(REAL8) INV00160
TAN(X)=DTAN(X) INV00170
ROOT3=1.73205080757 INV00180
SMEAN=(STEMP(1)+STEMP(2)+STEMP(4))/3.0 INV00190
DEVI(1)=STEMP(1)-SMEAN INV00200
DEVI(2)=STEMP(2)-SMEAN INV00210
DEVI(3)=STEMP(3) INV00220
DEVI(4)=STEMP(4)-SMEAN INV00230
VARJ2=DEVI(3)*DEVI(3)+0.5*(DEVI(1)*DEVI(1)+DEVI(2)*DEVI(2)) INV00240
+DEVI(4)*DEVI(4) INV00250
VARJ3=DEVI(4)*(DEVI(4)*DEVI(4)-VARJ2) INV00260
STEFT=SQRT(VARJ2) INV00270

```

```

IF (STEFT .EQ. 0.0) GO TO 10
SINT3=-3.0*ROOT3*VARJ3/(2.0*VARJ2*STEFT)
IF (SINT3.GT.1.0) SINT3=1.0
GO TO 20
10 SINT3=0.0
20 CONTINUE
IF (SINT3.LT.-1.0) SINT3=-1.0
THETA=RSIN(SINT3)/3.0
C+++
GO TO (1,2,3,4), NCRT +++ VERSION 4 +++
HOEK-BROWN +++
C
C GO TO (1,2,3,4,5), NCRT
C
C.... HOEK-BROWN VERSION 5 ...CRITERION 6... (NEXT LINE)

C GO TO (1,2,3,4,5,6), NCRT
C*** TRESCA
1 YIELD=2.0*COS(THETA)*STEFT
RETURN
C*** VON MISES
2 YIELD=ROOT3*STEFT
RETURN
C*** MOHR-COULOMBE
3 PHRA=PROPS(LPROP,7)*0.017453292
SNPHI=SIN(PHRA)
YIELD=SMEAN*SNPHI+STEFT*(COS(THETA)-SIN(THETA)*SNPHI/ROOT3)
RETURN
C*** DRUCKER-PRAGER
4 PHRA=PROPS(LPROP,7)*0.017453292
C+++ SNPHI=SIN(PHRA)
C+++ YIELD=6.0*SMEAN*SNPHI/(ROOT3*(3.0-SNPHI))+STEFT
TNPHI=TAN(PHRA)
YIELD=(3*SMEAN*TNPHI)/(SQRT(9.0+12.0*(TNPHI)**2))+STEFT
RETURN
C+++ HOEK-BROWN CRITERION +++
VERSION 4 +++
5 CALL HOEK(PROPS(LPROP,5),PROPS(LPROP,7),STEMP,COHES,FRIC)
SNPHI=SIN(FRIC)
YIELD=SMEAN*SNPHI+STEFT*(COS(THETA)-SIN(THETA)*SNPHI/ROOT3)
RETURN
C
C.... HOEK-BROWN VERSION 5...CRITERION 6... (NEXT SIX LINES)
C
C 6 SIGCM=PROPS(LPROP,7)
YIELD=(SIGCM*SMEAN+4.0*(STEFT**2)*COS(THETA))**2
+SIGCM*(COS(THETA))*STEFT SIGCM*(SIN(THETA))*STEFT/ROOT3)
IF(YIELD.LT.0.0) YIELD=-SORT(-YIELD)
IF(YIELD.GT.0.0) YIELD=SORT(YIELD)
RETURN
C
C.....
C
END
SUBROUTINE YIELD(AVECT,DEVAL,LPROP,MOTS,NCRT,NSTR1,
PROPS,SINT3,STEFT,THETA,VARJ2,STEMP)
C+++
NEXT CARD WAS ADDED
IMPLICIT REAL*8(A-H,O-Z)
C*****
C*** THIS SUBROUTINE EVALUATES THE FLOW VECTOR
C*****
C***** DIMENSION AVECT(4),DEVAL(4),PROPS(MOTS,7),
VECA1(4),VECA2(4),VECA3(4),STEMP(4)
C+++
THE NEXT 5 CARDS WERE ADDED
ABS(REAL8)=DABS(REAL8)
COS(REAL8)=DCOS(REAL8)
SIN(REAL8)=DSIN(REAL8)
TAN(REAL8)=DTAN(REAL8)
SORT(X)=DSORT(X)
IF(STEFF.EQ.0.0) RETURN
FRIC=PROPS(LPROP,7)
HOEK-BROWN CRITERION +++
VERSION 4 +++
NEXT TWO LINES +++
IF(NCRT.EQ.5)
CALL HOEK(PROPS(LPROP,5),PROPS(LPROP,7),STEMP,COHES,FRIC)
TANTH=TAN(THETA)
TEMP1=THETA*57.29577951308
ABTHE=ABS(TEMP1)

```

INV00280  
INV00290  
INV00300  
INV00310  
INV00320  
INV00330  
INV00340  
INV00350  
INV00360  
INV00370  
INV00380  
INV00400  
INV00410  
INV00420  
INV00430  
INV00440  
INV00450  
INV00460  
INV00470  
INV00480  
INV00490  
INV00500  
INV00510  
INV00520  
INV00530  
INV00540  
INV00550  
INV00560  
INV00570  
INV00580  
INV00590  
INV00600  
INV00610

```

IF(ABTHE.LT.29.0) TANT3=TAN(3.0*THETA) YIE00270
C+++++ YIE00280
SINTH=SIN(THETA) YIE00290
COSTH=COS(THETA) YIE00300
COST3=COS(3.0*THETA) YIE00310
ROOT3=1.73205080757 YIE00320
C YIE00330
C*** CALCULATE VECTOR A1 YIE00340
C YIE00350
VECA1(1)=1.0 YIE00360
VECA1(2)=1.0 YIE00370
VECA1(3)=0.0 YIE00380
VECA1(4)=1.0 YIE00390
C YIE00400
C*** CALCULATE VECTOR A2 YIE00410
C YIE00420
DO 10 ISTR1=1,NSTR1 YIE00430
10 VECA2(ISTR1)=DEVIA(ISTR1)/(2.0*STEFF) YIE00440
VECA2(3)=DEVIA(3)/STEFF YIE00450
C YIE00460
C*** CALCULATE VECTOR A3 YIE00470
C YIE00480
VECA3(1)=DEVIA(2)*DEVIA(4)+VARJ2/3.0 YIE00490
VECA3(2)=DEVIA(1)*DEVIA(4)+VARJ2/3.0 YIE00500
VECA3(3)=-2.0*DEVIA(3)*DEVIA(4) YIE00510
VECA3(4)=DEVIA(1)*DEVIA(2)-DEVIA(3)*DEVIA(3)+VARJ2/3.0 YIE00520
C+++++ GO TO (1,2,3,4), NCRIT +--+ VERSION 4 +--+ HOEK-BROWN +++
C YIE00530
C GO TO (1,2,3,4,5) YIE00540
C
C.... HOEK-BROWN VERSION 5...CRITERION 6...(NEXT CARD)
C
GO TO (1,2,3,4,5,6), NCRIT YIE00550
C
C*** TRESCA YIE00560
C YIE00570
1 CONS1=0.0 YIE00580
C+++++ NEXT CARD WAS ADDED +--+ TO EASE CONVERSION TO REAL*8 YIE00590
TEMP1=THETA*57.29577951308 YIE00600
ABTHE=ABS(TEMP1) YIE00610
IF(ABTHE.LT.29.0) GO TO 20 YIE00620
CONS2=ROOT3 YIE00630
CONS3=0.0 YIE00640
GO TO 40 YIE00650
20 CONS2=2.0*(COSTH+SINTH*TANT3) YIE00660
CONS3=ROOT3*SINTH/(VARJ2*COST3) YIE00670
GO TO 40 YIE00680
C YIE00690
C*** VON MISES YIE00700
C YIE00710
2 CONS1=0.0 YIE00720
CONS2=ROOT3 YIE00730
CONS3=0.0 YIE00740
GO TO 40 YIE00750
C YIE00760
C*** MOHR-COULOMB YIE00770
C YIE00780
C+++++ NEXT 2 CARD WERE ADDED +--+ TO EASE CONVERSION TO REAL*8 YIE00790
3 TEMP2=FRICT*0.017453292 YIE00800
TEMP3=THETA*57.29577951308 YIE00810
CONS1=SIN(TEMP2)/3.0 YIE00820
ABTHE=ABS(TEMP3) YIE00830
IF(ABTHE.LT.29.0) GO TO 30 YIE00840
CONS3=0.0 YIE00850
PLUMI=1.0 YIE00860
IF(THETA.GT.0.0) PLUMI=-1.0 YIE00870
CONS2=0.5*(ROOT3+PLUMI*CONS1*ROOT3) YIE00880
GO TO 40 YIE00890
30 CONS2=COSTH*((1.0+TANTH*TANT3)+CONS1*(TANT3-TANTH)*ROOT3) YIE00900
CONS3=(ROOT3*SINTH+3.0*CONS1*COSTH)/(2.0*VARJ2*COST3) YIE00910
GO TO 40 YIE00920
C YIE00930
C*** DRUCKER-PRAGER YIE00940
C YIE00950
C+++++ NEXT CARD WAS ADDED +--+ TO EASE CONVERSION TO REAL*8 YIE00960
4 TEMP4=FRICT*0.017453292 YIE00970
SNPHI=SIN(TEMP4) YIE00980
TNPHI=TAN(TEMP4) YIE00990

```

```

C+++ CONS1=2.0*SNPHI/(ROOT3*(3.0-SNPHI)) YIE01000
CONS1=TNPHI/(SQR(9.0+12.0*(TNPHI)**2)) YIE01010
CONS2=1.0 YIE01020
CONS3=0.0 YIE01030
GO TO 40 YIE01040
C YIE01050
C++++ HOEK-BROWN +++++ VERSION 4 +++++ YIE01060
C YIE01070
5 TEMP3=THETA*57.29577951308 YIE01080
CONS1=SIN(FRICT)/3.0 YIE01090
ABTHE=ABS(TEMP3) YIE01100
IF(ABTHE.LT.29.0) GO TO 60 YIE01110
CONS3=0.0 YIE01120
PLUMI=1.0 YIE01130
IF(THETA.GT.0.0) PLUMI=-1.0 YIE01140
CONS2=0.5*(ROOT3+PLUMI*CONS1*ROOT3) YIE01150
GO TO 40 YIE01160
60 CONS2=COSTH*((1.0+TANTH*TANTH)+CONS1*(TANTH-TANTH)*ROOT3) YIE01170
CONS3=(ROOT3*SINTH+3.0*CONS1*COSTH)/(2.0*VARJ2*COST3) YIE01180
GO TO 40

C
C.....
C.... HOEK-BROWN VERSION 5...CRITERION 6... (NEXT 25 LINES)
C
6 TEMP3=THETA*57.29577951308
SIGCM=PROPS(LPROP,7)
SSIGC=PROPS(LPROP,5)
YIELD=(SIGCM*SMEAN+4.0*(STEFF**2)*(COS(THETA))**2
+SIGCM*(COS(THETA))*STEFF-SIGCM*(SIN(THETA))*STEFF/ROOT3)
IF(YIELD.LT.0.0) YIELD=-SQR(-YIELD)
IF(YIELD.GT.0.0) YIELD=SQR(YIELD)
DGDJ1=SIGCM/3.0
DGDJ2=8*(COSTH**2)*SQR(VARJ2)+SIGCM*COSTH-(SIGCM*SINTH)/ROOT3
DGDTH=-8*SINTH*COSTH*VARJ2-SIGCM*SINTH*SQR(VARJ2)
-SIGCM*COSTH*SQR(VARJ2)/ROOT3
DFDJ1=0.5*DGDJ1/YIELD
DFDJ2=0.5*DGDJ2/YIELD
DFDTH=0.5*DGDTH/YIELD
CONS1=DFDJ1
ABTHE=ABS(TEMP3)
IF(ABTHE.LT.29) GO TO 600
CONS3=0.0
PLUMI=1.0
IF(THETA.GT.0.0) PLUMI=-1.0
CONS2=(0.5/YIELD)*(6.0*STEFF+SIGCM*(ROOT3/2+(PLUMI)/(2*ROOT3)))
GO TO 40
600 CONTINUE
CONS2=DFDJ2-(TANTH/STEFF)*DFDTH
CONS3=-(0.5*ROOT3/COST3)*DFDTH/(STEFF**3)

C.....
C
40 CONTINUE YIE01190
DO 50 ISTR1=1,NSTR1 YIE01200
50 AVECT(ISTR1)=CONS1*VECA1(ISTR1)+CONS2*VECA2(ISTR1)+CONS3* YIE01210
. VECA3(ISTR1) YIE01220
RETURN YIE01230
END YIE01240
SUBROUTINE FLOWPL(AVECT,ABETA,DVECT,NTYPE,PROPS,LPROP,NSTR1,MMATS) FLO00010
C+++ NEXT CARD WAS ADDED FLO00020
IMPLICIT REAL*8(A-H,O-Z) FLO00030
***** FLO00040
C FLO00050
C**** THIS SUBROUTINE EVALUATES THE PLASTIC VECTOR FLO00060
C FLO00070
C***** FLO00080
DIMENSION AVECT(4),DVECT(4),PROPS(MMATS,7) FLO00090
YOUNG=PROPS(LPROP,1) FLO0100
POISS=PROPS(LPROP,2) FLO0110
HARDS=PROPS(LPROP,6) FLO0120
FMUL1=YOUNG/(1.0+POISS) FLO0130
IF(NTYPE.EQ.1) GO TO 60 FLO0140
FMUL2=YOUNG*POISS*(AVECT(1)+AVECT(2)+AVECT(4))/((1.0+POISS)* FLO0150
. (1.0-2.0*POISS)) FLO0160
DVECT(1)=FMUL1*AVECT(1)+FMUL2 FLO0170
DVECT(2)=FMUL1*AVECT(2)+FMUL2 FLO0180
DVECT(3)=0.5*AVECT(3)*YOUNG/(1.0+POISS) FLO0190
DVECT(4)=FMUL1*AVECT(4)+FMUL2 FLO0200
GO TO 70 FLO0210

```

```

60 FMUL3=YOUNG*POISS*(AVECT(1)+AVECT(2))/(1.0-POISS*POISS) FLO00220
    DVECT(1)=FMUL1*AVECT(1)+FMUL3 FLO00230
    DVECT(2)=FMUL1*AVECT(2)+FMUL3 FLO00240
    DVECT(3)=0.5*AVECT(3)*YOUNG/(1.0+POISS) FLO00250
    DVECT(4)=FMUL1*AVECT(4)+FMUL3 FLO00260
70 DENOM=HARDS FLO00270
    DO 80 ISTR1=1,NSTR1 FLO00280
80 DENOM=DENOM+AVECT(ISTR1)*DVECT(ISTR1) FLO00290
    ABETA=1.0/DENOM FLO00300
    RETURN FLO00310
    END FLO00320
    SUBROUTINE HOEK(SSIGC,SIGCM,STRES,COHES,FRICT) HOE00010
C***** THIS SUBROUTINE CALCULATES INSTANTANEOUS VALUES OF COHESION HOE00020
C AND ANGLE OF INTERNAL FRICTION (MOHR-COULOMB) FOR A ROCK MASS HOE00030
C OBEYING THE HOEK-BROWN FAILURE CRITERION. CODED NOV. 1992 HOE00040
C***** HOE00050
C***** HOE00060
    IMPLICIT REAL*8 (A-H,O-Z) HOE00070
    DIMENSION STRES(4) HOE00130
    ABS(X)=DABS(X) HOE00080
    SQRT(X)=DSQRT(X) HOE00090
    ATAN(X)=DATAN(X) HOE00100
    SIN(X)=DSIN(X) HOE00110
    COS(X)=DCOS(X) HOE00120
C+++ PRINCIPAL STRESSES HOE00140
    TEMP1=0.5*(STRES(1)+STRES(2)) HOE00150
    TEMP2=(STRES(1)-STRES(2)) HOE00160
    TEMP3=SQRT(0.25*TEMP2*TEMP2+STRES(3)**2) HOE00170
    S1=TEMP1-TEMP3 HOE00180
    S3=TEMP1+TEMP3 HOE00190
C+++ CONSIDER ONLY CASES OF COMPRESSIVE STRESSES. CHANGE SIGN HOE00200
C CONVENTION, THAT IS, COMPRESSION IS NOW POSITIVE HOE00210
    IF(S1.GT.0) S1=0.0 HOE00220
    IF(S3.GT.0) S3=0.0 HOE00230
    S1=-S1 HOE00240
    S3=-S3 HOE00250
C+++ OPTIONAL. FORCE S1 TO BE ON THE FAILURE SURFACE HOE00260
    S1=S3+SQRT(SIGCM*S3+SSIGC) HOE00270
C+++ CALCULATE INSTANTANEOUS VALUES IN THE PLANE OF PRINCIPAL HOE00280
C STRESSES HOE00290
    TEMP1=2.0*(SQRT(SIGCM*S3+SSIGC)) HOE00300
    TBETA=1.0+SIGCM/TEMP1 HOE00310
    CPRIM=S1-S3*TBETA HOE00320
C+++ TRANSFORM INSTANTANEOUS VALUES TO TAU SIGMA PLANE HOE00330
    TEMP1=ATAN(SQRT(TBETA)) HOE00340
    FRICR=2.0*(TEMP1-0.785398163) HOE00350
    COHES=(0.5*CPRIM*(1.0-SIN(FRICT)))/(COS(FRICT)) HOE00360
    RETURN HOE00370
    END HOE00380
    SUBROUTINE CONVER(ELOAD,ITITER,LNODS,MELEM,MEVAB,MTOTV,NCHEK,
                      NDOFN,NELEM,NEVAB,NNODE,NTOTV,PVALU,STFOR,
                      TLOAD,TOFOR,TOLER) CON00010
C+++ NEXT CARD WAS ADDED CON00040
    IMPLICIT REAL*8 (A-H,O-Z) CON00050
C***** THIS SUBROUTINE CHECKS FOR CONVERGENCE OF THE ITERATION PROCESS CON00060
C CON00070
C***** CON00080
C***** CON00090
C***** CON00100
    DIMENSION ELOAD(MELEM,MEVAB),LNODS(MELEM,9),STFOR(MTOTV),
              TOFOR(MTOTV),TLOAD(MELEM,MEVAB) CON00110
CON00120
C+++ THE NEXT 2 CARDS WERE ADDED CON00130
    ABS(REAL8)=DABS(REAL8) CON00140
    SQRT(REAL8)=DSQRT(REAL8) CON00150
    NCHEK=0 CON00160
    RESID=0.0 CON00170
    RETOT=0.0 CON00180
    REMAX=0.0 CON00190
    DO 5 ITOTV=1,NTOTV CON00200
    STFOR(ITOTV)=0.0 CON00210
    TOFOR(ITOTV)=0.0 CON00220
5 CONTINUE CON00230
    DO 40 IELEM=1,NELEM CON00240
    KEVAB=0 CON00250
    DO 40 INODE=1,NNODE CON00260
    LOCNO=IABS(LNODS(IELEM,INODE)) CON00270
    DO 40 IIDOFN=1,NDOFN CON00280
    KEVAB=KEVAB+1 CON00290

```



```

C OUT00570
C++++ IF(KOUTP.LT.3) GO TO 50 OUT00580
    IF(KOUTP.LT.1) GO TO 50 OUT00590
    IF(NTYPE.NE.3) WRITE(6,970) OUT00600
970 FORMAT(1H0,1X,4HG.P.,6X,9HZX-STRESS,5X,9HYY-STRESS,5X,9HXY-STRESS,OUT00610
.5X,9HZZ-STRESS,6X,8HMAX P.S.,6X,8HMIN P.S.,3X,5HANGLE,3X,
.6H.P.S., OUT00620
.6X,12H SAF.FACTOR) OUT00630
C++++ PREVIOUS CARD WAS ADDED +++++ COMPUTATION OF FACTOR OF SAFETY OUT00650
    IF(NTYPE.EQ.3) WRITE(6,975) OUT00660
975 FORMAT(1H0,1X,4HG.P.,6X,9HRR-STRESS,5X,9HZZ-STRESS,5X,9HRZ-STRESS,OUT00670
.5X,9HTT-STRESS,6X,8HMAX P.S.,6X,8HMIN P.S.,3X,5HANGLE,3X,
.6H.P.S.,
.6X,12H SAF.FACTOR) OUT00680
C++++ PREVIOUS CARD WAS ADDED +++++ COMPUTATION OF FACTOR OF SAFETY OUT00700
    KGAUS=0 OUT00710
    DO 60 IELEM=1,NELEM OUT00720
C++++ CALCULO DO FATOR DE SEGURANCA DE PILARES +++ NEXT LINE OUT00730
    PILAR=0.0 OUT00740
c     DO 60 IELEM=1,30 OUT00750
C+++++ DO 60 IELEM=1,30 OUT00760
C+++++ KELGS=0 OUT00770
    WRITE(6,930) IELEM OUT00780
930 FORMAT(1H0,5X,13HELEMENT NO. =,I5) OUT00790
    DO 60 IGAUS=1,KGAUS OUT00800
    DO 60 JGAUS=1,KGAUS OUT00810
    KGAUS=KGAUS+1 OUT00820
    KELGS=KELGS+1 OUT00830
    XGASH=(STRSG(1,KGAUS)+STRSG(2,KGAUS))*0.5 OUT00840
    XGISH=(STRSG(1,KGAUS)-STRSG(2,KGAUS))*0.5 OUT00850
    XGESH=STRSG(3,KGAUS) OUT00860
    XGOSH=SQRT(XGISH*XGISH+XGESH*XGESH) OUT00870
    STRSP(1)=XGASH+XGOSH OUT00880
    STRSP(2)=XGASH-XGOSH OUT00890
    IF(XGISH.EQ.0.0) XGISH=0.1E-20 OUT00900
    STRSP(3)=ATAN(XGESH/XGISH)*28.647889757 OUT00910
C++++ NEXT 2 CARDS WERE ADDED +++++ COMPUTATION OF FACTOR OF SAFETY OUT00920
    STRZZ=STRSG(4,KGAUS) OUT00930
    IMATO=NATNO(IELEM) OUT00940
    SIZE=SIZEF(IELEM) OUT00950
    CALL SFACTO(Props,STRSP,STRZZ,IMATO,NCRIT,MMATS,SFACT,SIZE) OUT00960
    WRITE(6,940) KELGS,(STRSG(ISTRU,KGAUS),ISTRU=1,4),
. (STRSP(ISTRU),ISTRU=1,3),EPSTN(KGAUS),
. SFACT OUT00970
C++++ CALCULO DO FATOR DE SEGURANCA DE PILARES +++ NEXT 4 LINES OUT00980
    IF(JGAUS.NE.1) GO TO 7799 OUT01020
    IF(IELEM.LE.4) PILAR=PILAR+0.041667*SFACT OUT01030
    IF(IELEM.GE.5.AND.IELEM.LE.8) PILAR=PILAR+0.0625*SFACT OUT01040
    IF(IELEM.EQ.9) PILAR=PILAR+0.083333*SFACT OUT01050
7799 CONTINUE OUT01060
C+++++*****+
C++++ SAVE SOLUTION FOR GRAPHICS POST-PROCESSING OUT01070
    60 WRITE(9,940) KELGS,(STRSG(ISTRU,KGAUS),ISTRU=1,4),
. (STRSP(ISTRU),ISTRU=1,3),EPSTN(KGAUS),
. SFACT OUT01080
C++++ PREVIOUS CARD WAS ADDED +++++ COMPUTATION OF FACTOR OF SAFETY OUT01120
    940 FORMAT(15,2X,6E14.6,F8.3,E14.6,
. F10.3) OUT01130
C++++ PREVIOUS CARD WAS ADDED +++++ COMPUTATION OF FACTOR OF SAFETY OUT01150
C++++ IMPRIME FATOR DE SEGURANCA MEDIO DOS PILARES OUT01160
    WRITE(6,1234) PILAR OUT01170
1234 FORMAT(//,' FATOR DE SEGURANCA MEDIO PILAR =',F10.5,//)
    50 CONTINUE OUT01180
    RETURN OUT01190
    END OUT01200
    SUBROUTINE SFACTO(Props,STRSP,STRZZ,IMATO,NCRIT,MMATS,SFACT,SIZE) SFA00010
C++++ FOR SINGLE PRECISION DEACTIVATE NEXT CARD SFA00020
    IMPLICIT REAL*8 (A-H,O-Z) SFA00030
C+++++*****+ SFA00040
C C SFA00050
C++++ THIS ROUTINE WAS ADDED TO OWEN'S FEM CODE TO COMPUTE SAFETY SFA00060
C FACTOR ASSUMING ELASTIC BEHAVIOUR. HOEK-BROWN CRITERION ADDED SFA00070
C OCT. 16, 1992 SFA00080
C SFA00090
C+++++*****+ SFA00100
    DIMENSION Props(MMATS,7),STRSP(3),STEMP(4) SFA00110
C++++ FOR SINGLE PRECISION DEACTIVATE NEXT 5 CARDS SFA00120

```

SIN(R8)=DSIN(R8)	SFA00130
COS(R8)=DCOS(R8)	SFA00140
TAN(R8)=DTAN(R8)	SFA00150
SQRT(R8)=DSQRT(R8)	SFA00160
ABS(R8)=DABS(R8)	SFA00170
C	
ROOT3=SQRT(3.0D00)	SFA00180
S1=STRSP(1)	SFA00190
S2=STRSP(2)	SFA00200
S3=STRZZ	SFA00210
D12=S1-S2	SFA00220
D13=S1-S3	SFA00230
D23=S2-S3	SFA00240
PR=(S1+S2+S3)/3.0	SFA00250
COHES=PROPS(IMATO,5) * SIZE	SFA00260
FRICT=PROPS(IMATO,7)*0.017453292	SFA00270
C	
GO TO (10,20,30,40,50), NCRIT	SFA00280
C	
.... HOEK-BROWN VERSION 5 ...CRITERION 6...(NEXT LINE)	SFA00290
C	
GO TO (10,20,30,40,50,60), NCRIT	SFA00300
C	
+++++ TRESCA	SFA00310
C	
10 COHES=COHES/2.0	SFA00320
SFACT=COHES/ABS(D12)	SFA00330
RETURN	SFA00340
C	
+++++ VON MISES	SFA00350
C	
20 COHES=COHES/ROOT3	SFA00360
SFACT=COHES/SQRT((D12*D12+D13*D13+D23*D23)/6.0)	SFA00370
RETURN	SFA00380
C	
+++++ MOHR-COULOMB	SFA00390
C	
30 SFACT= (COHES-((S1+S2)+D12*SIN(FRICT))*TAN(FRICT)/2.0) / (0.5*D12*COS(FRICT))	SFA00400
RETURN	SFA00410
C	
+++++ DRUCKER-PRAGER	SFA00420
C	
40 CTK=6.0*COHES*COS(FRICT) / (ROOT3*(3.0-SIN(FRICT)))	SFA00430
ALPHA=2.0*SIN(FRICT) / (ROOT3*(3.0-SIN(FRICT)))	SFA00440
SFACT=(CTK-ALPHA*PR) / SQRT((D12*D12+D13*D13+D23*D23)/6.0)	SFA00450
RETURN	SFA00460
C	
+++++ HOEK-BROWN	SFA00470
C	
50 SFACT=(SQRT(ABS(COHES-FRICT*S2)))/(ABS(S1-S2)) +++ NOT CORRECT ++	SFA00480
OPCIONAL +++ USAR VALORES INSTANTANEOS MOHR-COULOMB +++04/12/92	SFA00490
50 CONTINUE	SFA00500
STEMP(1)=S1	SFA00510
STEMP(2)=S2	SFA00520
STEMP(3)=0.0	SFA00530
STEMP(4)=0.0	SFA00540
CALL HOEK(PROPS(IMATO,5),PROPS(IMATO,7),STEMP,COHES,FRICT)	SFA00550
SFACT= (COHES-((S1+S2)+D12*SIN(FRICT))*TAN(FRICT)/2.0) / (0.5*D12*COS(FRICT))	SFA00560
RETURN	SFA00570
C	
.... HOEK-BROWN VERSION 5...CRITERION 6...(NEXT LINE)	SFA00580
C	
60 SFACT=(-S1+SQRT(-PROPS(IMATO,7)*S1+PROPS(IMATO,5)))/(-S2)	SFA00590
RETURN	SFA00600
END	